# 

## БИОЛОГИЧЕСКИЙ ЖУРНАЛ АРМЕНИИ

## Журнал издается с 1946 г., выходит 12 раз в год на армянском и русском языках. Айастани кенсабанакан андее

«Հայաստանի կենսաբանական նանդնոր» նշատասակվում է Հայկական ՍՍՀ Գի<mark>տություննե</mark>շի ակադեմիայի կողմից և տպացշում է նորվածնեւ բուսաբանության, կենդան<mark>աբանության,</mark> դիպիոլոգիայի, կենսաքիմիայի, վենսաֆիզիկայի, մանշէաբանության, գենետիկայ<mark>ի և ընդնանու</mark>շ ու կիշառական կենսաբանության այլ բնագավառների վեշաբեշյուլ

- Բաժունուգյուգինն է 8 ո. 40 կ.։ Բաժունուդադրությունն ըսդունվում է Սոլուգպ<mark>եչատի բոլո</mark>ւ

լ աժանչնունք են բում։

«Биологический журних Армении»—научный журнал, издаваемый Академией наук Армянской ССР, публикуст оригинальные статьи по ботанике, зоологии, физиологии, биохимии, биофизике, микробиологии, генетике и другим отраслям общей и прикладной биологии.

Подписная цеча за год \$ №6 40 кон Подписку на журних мочно произ<mark>водить во</mark> всех взбелениях Союзпечати.

ամբադրական իտոնուոց՝ է, Գ. Աֆրիկյան (նախագահ), Ն. Ն. Ակրաժովոկի, Վ. Շ. Աղարարյան, Հ. Ա. Սվետյան, Լ. Ա. Գաբրիելյան, Ա. Ա. Գալոյան, Ա. Լ. Բախտաջյան, Գ. Ա. հաղթողյան, Ժ. Գ. Հով Երևնիայան, Լ. Լ. Հովտեփիան, Լ. Ա. Վամրարյան, Ա. Ա. Մարևության, Մ. Խ. Ջայլախյան, Ե. Ա. Գողոսյան։

Редакционная коллегия: Э. К. Африкан, (главный редактор), Ц. М. Авакан, В. Е. Аветшян, Ж. И. Аконен Ю. Т. Алексанян, Е. С. Арутювяк (ответственный секретары), Р. М. Аруталин, О. Е. Баклаваджин, И. А. Гандилин, М. А. Давтян, В. О. Казарин, К. Г. Каракезин, С. О. Мовессин (заместитель главного редактара)

Редавинонный совет: Э. К. Африкии (председатель), А. С. Аветян, В. Ш. Агабабян, П. П. Акрам аский, Э. П. Габрт-лян, А. А. Галови, Л. С. Гамбарян, А. А. Матевосян, М. Г. Отанесян, Л. Л. Осн. вв. К. С. Погосян, А. Л. Тах злжин, П. А. Хуршудян, М. Х. Чаплахян,

## Технический редоктор Азиабекан .7. А.

Сдано в набор 1 02 1988 — Подансано к исвети 31,03 1988 г. ВФ 05397.

Бумага № 1, 70 × 108 г., Высокая печать Печ. дист. 5,634 г вкл. Мел. печ. дист. 7,7, Мест - п. т. 6 34. Гераж 930. Зака г 69. П стат. 7937.

Издательство Академии паук Армянской ССР, Ереван, пр. Марлыла Баграмяна, 24-г.

Типография Издательства АН АрмССР, Ереван-19, пр. Маршала Баграмяна, 24.

## **₽ՈՎԱՆԳԱԿՈՒԹՅՈՒՆ**

2	ij	ſ	H	11	u	ħ	į	1	ρ	

Աղայան Գ. Ց., Մոտալ Վ. Վ., Մուչնիկ ի. ի. հ. — որդ ական փորձերի տվյալների Հինրաբիրիկ դիսկրնա ժոգներ	179
փորձարարական ինֆարկտի բուժման ժամանակ .  Թաթյան Մ. Ա. Ղազասյան Կ. Ա. Հակոբյան Ն. Գ. Գապարյան Է. Տ., Ալեքսանյան Յու, Գ. Տարրեր ձևերի իմունողեպրեսիաների ազդեցությունը ուսուցքի աճի վրա ժկների մոտ	191
Իտետիկյան Ա. Ո., Կոսոյան Ս. Պ. Ուղեզիկ՝ կեղևային վայրիջակ պղակենրի հաղորդ- ման կամրջի ծածկի ցանցաձև կորիզի միջևորդավորման էլեկտրա-ֆիզիոլոդիա- կան վերլուծությունը	200
Վաrտանյան Ա. Ա. Սպիտակ առնետների ուղեցի սինապտոսոմների իաղանիային ագի- տակուցների ԱԵՖ ոիբոգիլացումը	208
ժութավին Ի. Ա., Տոլկունով Ք. Ֆ. Առևևտների ուղեղի հննակեղևի ոչ ժենահատուկ կա- ոռոցվածրների դպացողական ոնակցիաների գինաժիկ Տոկողունիլունը Ռաբսեղյան Վ. Գ., Գուոդնով Վ. Լ. ժաժանակի Տաստատունի Տայվարկման ժենքորը բատ	213
Հետաինապաիկ պոտենդիայների Հահախական անալիդի տվյալների Աստվածատորան է։ Դ. հատվի դականային ասոցիատիվ կեղնի հեյրոնների ոնակցիա-	216
յի արասկալողալ իմպույսները Ղաբիբյան Ա. Ա., Խոչայանց Ի. Յու., Խանամիբյան Տ. Վ., Ղամբաբյան Լ. Ս. Պ <i>այմա</i> -	221
նական ուելներսի կազմավորման Հարցի չուրջ Վաողանյան Վ. Ա., Քյուլիկյանց Մ. Ա. Փորր դոզաների նկատմամբ Ռոչնի Հմրթիոնի դիմագրողականության Հարուցումը չերմային շոկի միչոցով	226
Հաբությունյան Տ. Դ Խաչատույան Մ. Հ Արբանամյան Ա. մ. Տե խմբերի նշանակու- Բյունը Հավի սաղմի լլարդի արսինագային ակտիվության գրսնորման մեջ	284
քախչինյան Մ. 9. Թեզիդենա մակրոֆագերի օրգանոպեցիֆիկ առանձնամատկությունները	238
ՀԱՄԱՌՈՏ ՀԱՂՈՐԴՈՒՄՆԵՐ	
Պորոդկով Բ. Դ., Պարչենկո է Ա., հոգինկյան Կ. Լ. Անգիոտենդին-փոխակերպող ֆեր- մենտի ակտիվության փոփոխությունը առնետների թորերի հյուսվածքում ապրես-	
օրհի հրկարատն ազգեցության ժաժահան	241
annanchinifizach	244
Հիվանյան Կ. Ս. Տնային Հավերի ենքնառատվորտային դեղձի վորֆոֆունկցիոնա։ բնուկա գիրը լյարդի ռեզեներացիայի ժամանակ	248
նղիազաշյան է. Մ., Մայիլյան Ռ. Ա. Տարբեր Հկոլոգիական պայմաններում բելուգայի անման առանձնամատվությունները	252
tensur	
Արտաշես Իվանի Քարաժյան (ծննդյան 80-աժյակի առքիվ)	257 260 262

## СОДЕРЖАННЕ

СТАТЬИ	
Агаян Г. И., Моттель В. В., Муччик И. Б. Перархическая дискренная модель ланных физиологических экспериментов	179
ине этпеняла на некоторые стороны метаболнама мнокарда при лечении	191
экспериментального инфаркта	199
Бантикан А, О., Косоян О. П. Электрофизиологический анализ опосредования ретикулярным ядром покрышки моста кортикофугальной импульсации в	
нозжечох	200
белых крыс  Жиривин И. Л., Толкинов Б. Ф. Динамический контроль сенсорных реакций в подкорковых неспецифических структурах мозга крыс	213
Варсегни В. Д., Гороонов В. Л. Методика рясчета постоянной времени по дан- ими частотного виздила постсинантического потенцивда	216
Аствацатрин Э. Г. Транскаллозальные импульеные реакции нейронов теменвой всеоциативной коры кошки	221
су о формировании условного рефлекса	226
мости у эмбриона плиаты к малым дозам облучения Аругюнян Т. Г., Хачатрян М. А., Абрамян А. Ж. Значение SH-групп в про- явления вктипности артипалы печени курпного эмбриона	234
Бахишинян М. З. Органоспецифические особенности резидентных макрофагоа .	238
краткие сообшения	
Городков Б. Г., Пащенко Л. А., Ерапикан к. Л. Пзменение активности антиотензин-превращающего фермента в ткани легких у крыс при длительном	
воздействии впрессина	211
мов идентичных уровней с различными спектральными и временными ха- рантеристиками	241
Дживанян К. А. Морфофункциональная характеристика поджелудочной железы домашних кур при регенерации печени	248
Есиазарян Э. М., Манлян II А. Огобенности роста белуги в различных эколо- гических условиях	252
ХРОНИКА	
English Managana Managana to 00	257
Ервнун Матвеевна Матевосян (к 90-летию со дня рождения) Памяти Д. Н. Бабави (Тегеревниковой)	260 262

## CONTENTS

ARTICLES	ΛĒ	?Т	IC	LE.	S
----------	----	----	----	-----	---

Aghayan G. Ts., Mottl V. V., Muchnik I. B. Hierarchic Discrete Model of Dala of Physiological Experiments	179
Janpotadian E. G., Karageuzian K. G., Samvelian V. M., Hovseptan L. M., Influence of Etpenal on Some Sides of Myocardium Metabolism during the Treatment of Experimental Infarction	191
Tation M. V., Kuzarian K. A., Hakobian N. G., Gasparian E. T., Alexan- lan Yu. T. Influence of Various Forms of Immunodepression on the Growth	100
Of Tumour at Mice	198
Varianian A. A. ADP-ribosylation of Membrane Proteins of Synaptosomes of White Rats Brain	208
Zhouravin I. A., Tolkounov B. F. Dynamic Control of Sensory Reactions in Subcortical Non-specific Structures of Rats Brain	213
by the Postsynaptic Potential's Frequency Analysis Data	216
Asso lative Cortex of Cat	221 225
Vardanian V. A., Kutchikiants M. A. Thermal—Shock Induction of Radiation Resistance in Chicken Embryo to Low—Rate Irradiation	229
Harutenian T. G., Khachatrian M. A., Abramian A. G. Importance of SH-groups for the Expression of Liver Arginase Activity of Hen Embryon	234 238
SHORT COMMUNICATIONS	
Gorodkov B. G., Pashchenko L. A., Yerzinkian K. L. Change of Activity of Angiotenzia Transforming Enzyme in Lungs Tissue of Rats during Long	
Arakelian A. G., Panchulazian K. A. Bloiogical Action of Acoastic Noises of	241
Identical Levels with Various Spectral and Temporary Characteristics	244
ring Liver Regeneration	248 252
CH RONICS	
Ariashes Ivanovich Karamian (to the 83th Birthday Anniversary) Yeranuhi Maiveezha Mitezosian (to the 93th Birthday Anniversary)	25 7 26 <b>0</b> 26 <b>2</b>

Հայկական UU2 գիտությունների ակադեմիա, Հայաստանի կենսաբանական նանդես Академия наук Армянской ССР, Биологический журпал Армения Academy of Sciences of the Armenian SSR, Biological Journal of Armenia

1988, 41, 3

## **ՀՈԴՎԱԾՆԵՐ - СТАТЬИ**

Биолог. ж. Армении, т. 41, № 3, 1988

MAK 612:573.22

## ИЕРАРХИЧЕСКАЯ ДИСКРЕТНАЯ МОДЕЛЬ ДАННЫХ ФИЗИОЛОГИЧЕСКИХ ЭКСПЕРИМЕНТОВ

T. U. AFARIÌ, B. B. MOTTAL, H. E. MYTHIK

**ЦНИИ медико-биологических** проблем сворта, Москва, Тульский политехнический вистигут, Институт проблем управления, Москва

Предлагается дискретная математическая модель данных физиологических экспериментов. Модель основана на концепции системного кваитования поведения и познолнее формализовать происсе анализа и интерпретации данных физиологических экспериментов с применением ЭВМ.

լալների անալիզի և ինտերարհասացիայի արոցեսը էՀՄ-ի կիրառումով։

Առաջարկվում է ֆիզիոլոգիական փորձերի ավյալների գիսկրետ մարենատիկական փորձերի արվ
արձեր անալիզի և ինտերարհասացիայի արոցեսը էՀՄ-ի կիրառումով։

Discrete mathematical model of data of physiological experiments is proposed. The model is based on the conception of system quanting of behaviour and allows to formalize the process of analysis and interpretation of data of physiological experiments with the use of ECM.

Физиологические эксперименты—математическая модель принцип даминанты функциональная система—системное квантование повейския.

Существенным моментом экспериментальных исследований в физиологии является невозможность непосредственного наблюдения за скрытыми процессами, представляющими центральный интерес при изучении механизмов управления жизиедеятельностью как организма в целом, так и его отдельных функциональных систем. Как правило, в ходе физиологического эксперимента регистрируют целый ряд внешних характеристик исследуемого организма, измериемых датчиками соответствующих физических величии. В частности, в эксперименте могут наблюдаться некоторые характеристики новедения животного

или человека параллельно с регистрацией ряда отведений электроэнцефалограммы, электромнограммы, электрокарднограммы, нередко ведется также запись пиевмограммы, электроокулограммы, кривой кожно-гальванического рефлекса, реограммы и т. и. Анализ полученных осциллограмм, обычно называемых в совокупности полиграммой, призван восстановить (объективизировать) непосредственно не наблюдаемый процесс взаимодействия функциональных систем исследуемого организма.

Успех исследования в значительной мере зависит от того, насколько адекватно суждение о скрытых физиологических процессах, вынесенное на основе знализа полиграммы их косвенных показателей.
Стремление к более детальному исследованию связано, во-первых, с
необходимостью увеличения числа комнонент регистрируемой полиграммы и расширения разнообразия их физической природы и, во-вторых, с требованием снижения уровня субъективности при восстановлении скрытых процессов по косвенным экспериментальным данным.
Обеспечить выполнение этих требований можно только путем алгоритмизации анализа данных физиологического эксперимента с применеинем средств вычислительной техники.

Анализ экспериментальных данных имеет своей конечной целью проверку и уточнение той или иной гипотезы о механизме изучаемого физиологического процесса, выдвинутой на основе обобщения результатов ряда предылущих наблюдений и экспериментов. Достаточно глубокая алгоритмизация анализа данных возможна лишь в том случае, если рабочая гипотеза сформулирована в виде некоторой математической модели. Для этого, в свою очередь, прежде исего необходимо создание формального языка описания физиологических процессов, в терминах которого должны строится математические модели экспериментальных данных.

Неисчерпаемая сложность динамической структуры живого оргашама не позволяет рассчитывать на создание обозримой математической модели его поведения, претендующей на полную адекватность даже в ограниченном классе экспериментов. Формальный язык для математического моделирования данных физиологических экспериментов должен выбираться из соображений компромисса между полнотой имитации физиологических процессов и достаточной простотой структуры моделей.

В данной работе предлагается математический аппарат для моделирования и обработки данных физиологических экспериментов, существенно использующий принципы теории доминанты. А. А. Ухтомского, теории функциональных систем И. К. Анохина и теории системпого квантования поведения, развиваемой научной школой К. В. Судакова [9]. Предлагаемая перархическая квантовая модель представляст полиграмму данных физиологического эксперимента как совокуиность случайных процессов со скачкообразно изменяющимися вероятпостными свойствами. Такой подход к анализу данных физиологических экспериментов, позволивний выделить отдельные кванты поведения в континууме поведенческой деятельности челонека, был вперные

in addition's

применен Г. Ц. Агаяном при исследовании системных механизмов целенаправленной деятельности спортсменов-стрелков [1, 2].

В данной модели моментами времени и характером изменении вероятностных свойств компонент регистрируемой полиграммы управляет стохастический конечный автомат с несколькими выходами, соответствующими отдельным компонентам полиграммы, и одним входом, позволяющим внодить в модель информацию о моментах приложения и характере внешних воздействии на исследуемый организм в ходе эксперимента (рис. 1). Специяльная структура алфавита внутренних

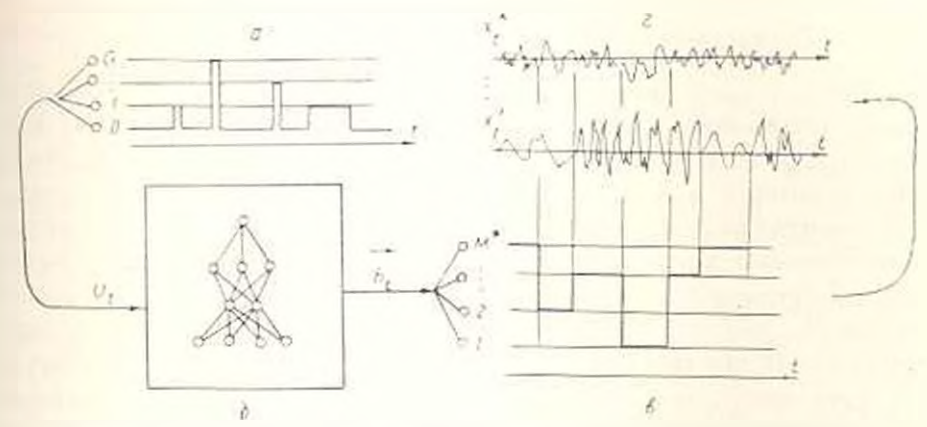


Рис. 1. Общая структура квантовой модели данных физиологического эксперимента: входной сигнал (а), иерархическая структура внутренних состояний стохастического автомата функциональных лоденстем (б), последовательность эліментарных квантов деятельности (а), экспериментальная полиграмма (г).

состояний и условных вероятностей переходов автомата отражает представление о любой функциональной системе организма как о авнамически складывающейся перархии функциональных подсистем, число уровней которой полагается конечным. Согласно принципу доминанты предполагается, что в каждый момент времени на каждом уровне перархии множество позможных структур подсистем инжних уровней определяется одной подсистемой, доминирующей на данном уровне, Механизм функционирования каждой подсистемы верхних уровней перархии формализуется как специфический для данной подсистемы вероятностный марковский закон чередования доминирования подсистем непосредственно ниже следующего уровня.

Совокупность индексов функциональных подсистем, доминирующих в данный момент времени на каждом уровне перархии, играет роль агрегированного модельного представления о текущем впутреннем состоянии организма как динамической системы. Каждый интервал времени, в течение которого состояние системы неизменно, интерпретируется как элементарный кваит непрерывной деятельности организма, а совокупность индексов подсистем, доминирующих и этом интервале времени, называется типом кваита.

Данные физиологического эксперимента включают в себя экспериментальную полиграмму вместе со сведениями о моментах времени

приложения внешних воздействий на исследуемый организм и их характере в терминах некоторого конечного алфавита, играющего роль входного алфавита стохастического автомата функциональных подсистем. Обработка данных сводится к выбору структуры и оцениванию параметров кнаитовой модели как стохастического динамического объекта, представленного реализациями его входного и выходного сигналов [8]. Такой подход позволяет автоматизировать процесс анализа данных физиологических экспериментов в терминах теории системного квантования поведения с помощью алгоритмов, реализующих соответствующие методы математической статистики.

### Стохастический автомат функциональных подсистем

Будем рассматривать совокупность функциональных систем организма, деятельность которых объективно проявляется и данных конкретного физиологического эксперимента, как перархическую структуру, в которой каждая функциональная система является подсистемой, принадлежащей определенному уровню перархии. Основными качественными характеристиками системы в целом ивляются число уровней перархии L и число функциональных подсистем на каждом уровней перархии L и число функциональных подсистем на каждом уровне  $M_p$  j=0,..., L-1, причем на высшем уровне j=L расположена единственная система  $M_L=1$ , которая интерпретируется как максимальная функциональная система, регулирующая всю физиологическую деятельность организма, объективно наблюдаемую в данном эксперименте (рис. 2). Отдельные подсистемы будем обозначать символом

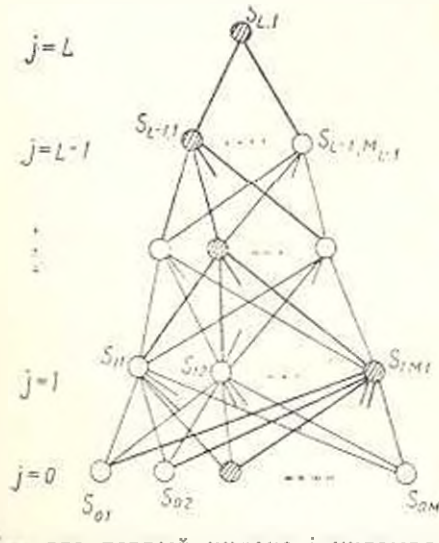


Рис. 2. Қачественная структура нерархии функциональных подсистем: № —подсистемы, доминирующие в данный момент.

где первый индекс ј указывает номер уровня перархии, а второй —порядковый номер подсистемы на этом уровне.

Будем считать время дискретным t=0, 1, 2, ... Согласно принципу доминанты, в каждый момент времени на каждом уровне нерархии одна из подсистем этого уровня является доминирующей. Обозначим через  $M_1=1, \cdots, M$  ,  $j=0,\cdots, L-1$  множество функциональных подсистем на донном уровне, а через  $h\in M$  индекс подсистемы, доминирующей в момент t на уровне j. Тогда состояние автомата функциональных подсистем в момент времени t естественно понимается 182

ках совокупность  $h_1 = (h_1, \cdots, h_1^{L-1})$  индексов подсистем, доминирующих и данный момент на всех уровнях перархии, кроме высшего уровня, который соответствует максимальной функциональной системе, доминирующей в течение всего периода эксперимента. Множество  $M^* = M_0 \times \cdots \times M_{L-1}$  всех упорядоченных няборов индексов  $h = (h_0, \cdots, h^{L-1})$ ,  $h^1 \in M_1$  является конечным алфавитом внутренних состояний автомата функциональных подсистем, содержащим  $M = M_0 \cdots M_{L-1}$  символов.

Всякая подсистема  $S_{\text{th}}$  кроме подсистем нижиего уровня I=0, оставаясь доминирующей на своем уровне перархии в течение некоторого времени, реализует свою специфическую программу функционирования, которая выражается в определенном порядке доминирования подсистем непосредственно инжележащего уровня  $S_{-1-e}$ ,  $I=M_{-1}$  В данной модели этот порядок предполагается в большей или меньшей степени случайным и формализуется в виде специфических для данной подсистемы вероятностных характеристик марковской цепи с множеством значении  $M_{i-1}$ .

Обозначим через  $u_1$  входной сигнал модели, принимающий в каждый момент времени t определенное значение из конечного алфавита внешних воздействий  $\gamma = \{0, 1, \dots, G\}$ . Значение  $u_1 = 0$  удобно интерпретировать как отсутствие в момент t внешних воздействий на исследуемый организм. Если программа данного эксперимента не предусматривает исследования реакции организма на внешние возмущения, то входной сигнал может отсутствовать. В этом случае автомат функциональных подсистем рассматривается как автономный стохастический конечный автомат.

Согласно принятой концепции модели, количественные характеристики программ функционирования подсистем S каждого из перхиих уровней L определяет матричная функция L (h, u),  $h \in M$   $u \in T$ , которая при фиксированных j, h ставит и соответствие кажлому значению входного сигнала  $u_t = u$  матрицу условных вероятностей переходов марковской цепи доминирования подсистем инжеследующего уровня:

$$\mathbf{q}_{i}^{kl}(\mathbf{h}, \mathbf{u}) = P(\mathbf{h}_{i}^{l-1} = 1 | \mathbf{h}_{i}^{l-1} = \mathbf{k}, | \mathbf{h}_{i}^{l} = \mathbf{h}, | \mathbf{u}_{i} = \mathbf{u}); | \mathbf{k}, \mathbf{l} \in \mathcal{M}_{i-1}.$$

Функциональным подсистемам на верхинх уровнях верархии отводится роль реализации более крупных программ деятельности по сравненню с подсистемами нижних уровней. Эта конценции формально
выражается в предположении, что с повышением уровня перархии марковские процессы, управляющие порядком доминирования подчиненных подсистем на непосредствению инжележащем уровне, посят все
более «медленный» характер с более редилии моментами переключений. Максимальный интервал времени, в течение которого остад с т
измененным индекс подсистемы, о манирующей на ј-м уровно,
сстественно назвать квантом деятельности уровня 1 и связывать с нам
реализацию одной определенной программы деятельности на множества программ М. = 1 — М-). В это терманих весь перяод эксперимента представляет собой одни квант высшего уровня L.

В каждый момент времени 1, согласно данной модели, реализуются L+1 последовательно вложенных друг в друга программ деятельности, индексы которых, кроме неизменной глобальной программы на уровне L, указывают на текущее состояние автомата функциональных подсистем  $h_t = (n_t, \dots, h_t^{L-1})$ . Элементарным квантом деятельности является максимальный интернал, в течение которого состояние неизменно. Каждое состояние автомата естественно понимать как тип элементарного кванта, связываемый с определенной упорядоченной совокупностью видексов реализуемых программ или, что эквивалентно, доминирующих воденстем  $h = (h^n, \dots, h^{L-1})$ , из конечного множества тилов  $M^*$ 

Стохастический автомат функциональных поденстем определяет перояспостную модель квантования деятельности как последовательность случайных процессев понижающихся уровней, в которой случайный аронеес высшег: уровня  $\mathbf{u}_1^{k-1}$  с множеством значений  $M_{k-1}$  является условно марковским относительно входного спинала  $\mathbf{u}_i^k$ , а каждый следующий процесс  $\mathbf{h}_i^k$ .  $\mathbf{j} = 1$  , 1 с мкожеством значений следующий процесс  $\mathbf{h}_i^k$ , условные марковские свойства с... чайных процессов квантования задаются на высшем уровне  $\mathbf{h}_i^{k-1}$  матричной функцией  $Q_k(\mathbf{u}_i)$ , а на каждом следующем уровне  $\mathbf{h}_i^{k-1}$  матричными функциями  $Q_i$  ( $\mathbf{h}_i^k$ ,  $\mathbf{u}_i$ ), элементами которых являются условные вероятности переходов  $\mathbf{q}_k^k$  ( $\mathbf{u}_i^k$ ) и  $\mathbf{q}_i^k$   $\mathbf{u}_i^k$ ).

Таким образом, структура стохастического автомата функциональных подсистем задается упорядоченной совокупностью (L,  $M_0$  ), элементами которой являются число уровней перархии, множества подсистем на каждом уровне и алфави, входного сигналя. Вероятностные характеристики автомата задае: совокупность матриц  $Q_1(h, m)$ ,  $h \in M_D$ ,  $u \in \gamma$ ,  $l = 1, \ldots$ , L.

Физиологические процессы, модельное представление об организации которых иыражает стохастический автомат функциональных подсистем, имеют скрытый характер, поэтому предполагается, что текущее состояние автомата  $h_t$  недоступно для непосредственного наблюдения. Реально наблюдается лишь полиграмма внешних проявлений деятельности функциональных подсистем, рассматриваемая в цанной модели как векторный случайный процесс  $\mathbf{x}_t = (\mathbf{x}^1, \cdots, \mathbf{x}^k)$ , характеристики которого в пределах каждого элементарного кванта деятельности остаются постоянными в терминах некоторой вероятностной модели и определяются типом кванта  $\mathbf{h} \in M^*$  (рис. 1). Выбор модели экспериментальной полиграммы составляет отдельную проблему.

## Квантовая модель экспериментальной полиграммы

Пусть  $0_i$  i=1, 2, 3,...—моменты времени, соответствующие гранинам элементарных квантов деятельности,  $q_i$  тил i-го кванта  $h_i=g_i$ ,  $\theta_i=1<\theta_{i-1}$ ,  $g_i\in M^*$ . В севокупности последовательность  $(\theta_i,g_i)$  на

чальных моментов и типов квантов составляет случайный ноток классифицированных событий, вероятностные характеристики которого полностью определяются структурой (L,  $M_0, \cdots, M_{L-1}, \gamma$ ) и параметрами Q, h, u,  $h \in M_1$ ,  $u \in \gamma$ ,  $j = 1, \cdots$ , h, стохастического автомата функциональных подсистем.

Достаточно общим модельным представлением об отражении воследовательности элементарных квантов на экспериментальной полиграмме является представление о соответствующих фрагментах

 $X_{\theta_1} = (x_{\theta_2}, \cdots, x_{\theta_{k-1}-1})$  наблюдаемого случанного процесса  $x_1 = (x_{\theta_2}^1, \cdots, x_k^k)$  как о примыкающих друг к другу случайных векторах, размерность каждого на которых  $K_{\theta_1}$  определяется числом компонент полиграммы K и длительностью элементарного кванта  $= \theta_{k+1} + \theta_k$ , а условная плотность распределения  $f_{\theta_k}(X_1, \dots, X_{\theta_{k-1}-1}, g_k)$  относительно фрагмента предыстории  $X_{\theta_k}^{\theta_{k+1}} = (x_{\theta_{k-1}}, \dots, g_k)$  и некото рой конечной длины n — типс и кванта  $g_{\theta_k}$ . В нараметрическом варианте такая модель полностью задается нараметрическим семейством условных плотностей распределений  $f_{\theta_k}(X_2, \dots, X_k)$  с),  $\tau = 1, 2, 3, \dots$  и набором значений параметря  $g_{\theta_k}$ , для каждого типа квантов при заданных вероятностных моделях последовательности квантов и наблюдаемого процесса задача определения границ и типов элементарных квантов деятельности ( $\theta_{\theta_k}$ ,  $g_{\theta_k}$ ) на экспериментальной полиграмме  $g_{\theta_k}$  ( $g_{\theta_k}$ ) на экспериментальной полиграмме  $g_{\theta_k}$  ( $g_{\theta_k}$ ) на экспериментальной полиграмме  $g_{\theta_k}$  ( $g_{\theta_k}$ ) есть задача распознавания потока случайных событий [5].

Однако при столь общем представлении о вероятностных свойствах экспериментальной полиграммы  $x_i$  в предслах элементарного кванта леятельности определенного типа выбор конкретного параметрического семейства условных илотностей распределений  $(X_0^{n+r-1}|X_i^{n-r},\varepsilon)$ ,  $\tau=1,2,3,...$  является весьма непростой проблемой. Ниже предлагаются две нараметрические модели для однородных фрагментов компонент нолиграммы. В обоих случаях основное предположение состоит в условной независимости компонент  $x_1^1, \cdots, x_n^k$  векторного случайного процесса и относительно случайного процесса квантования  $h_t$ .

Модель авторегрессии. Эта модель соответствует представлению об однородном фрагменте компоненты полиграммы как об отрезке реализации стационарного пормального случайного процесса. В качестве математической модели шумоподобного фрагмента используется стохастическое разностное уравнение авторегрессии [3]

$$\mathbf{x}_i = \alpha_0 + \sum_{i=1}^n \alpha_i \, \mathbf{x}_{i-1} - \beta \boldsymbol{\epsilon}_{i,i}$$

гле  $\xi_1$ —последовательность незовисимых кормальных случайных величин с пулевым математическим ожиданием и единичной дисперсией,  $\mathbf{a}=(\mathbf{n},a_0,...,\ \alpha_n,\ \beta)$  вектор нараметров, в состав которого входят норялок авторегрессии  $\mathbf{n},$  коэффициенты авторегрессии  $\alpha_0,...,\ \alpha_n$  и коэффициент интенсивности шума  $\beta$ .

Если элементарные кванты деятельности типа h ∈ M° наблюдаются на s-й комноненте полиграммы в виде характерных мумоподобных фрагментов, то с этим типом квантов связывается некоторое значение вектора нараметров авторегрессии а³ (h), определяющее математическое ожидание и частотный спектр случайных колебаний кривой на фрагментах данного типа [6]. Порядок авторегрессии п ограничивает сложность спектра случайного процесса. При n=1 спектр имеет монотонный характер, что соответствует колеблиням без явно выраженной преобладающей частоты, при n=2 в реализациях случайного процесса могут выделяться либо, наоборот, отсутствовать колебания с некоторой частотой, при n=4, таких характерных частот может быть две н т. д. На рис. З, а, б приведены примеры реализаций случайных процессов авторегрессии первого п второго порядка и их спектры.

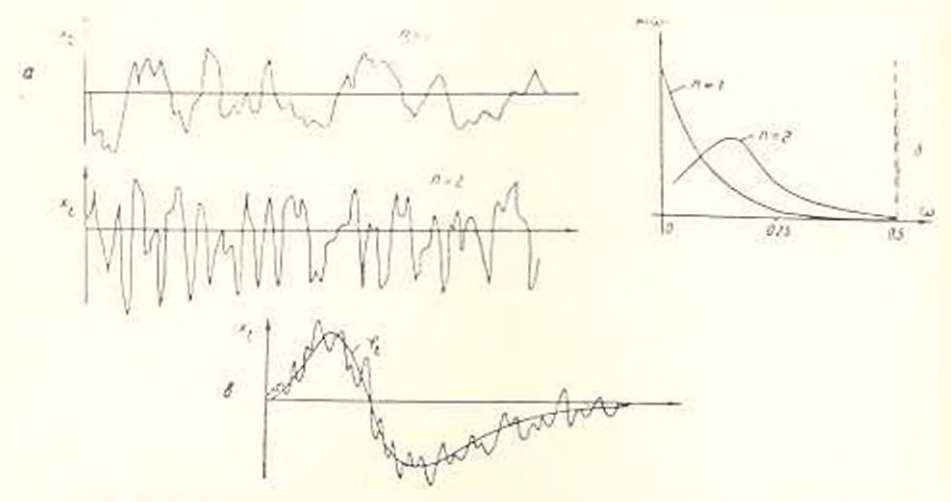


Рис. 3. Модельное представление однородных фрагментов компонент экснертиментальной полиграммы; ревлизации процессов авторегрессии (а) и их спектры (б); фрагмент фиксированной формы (в).

Модель фрагментов фиксированной формы [4]. Другое представление об элементарном фрагменте компоненты полиграммы заключается в предположении о существовании характерной формы кривой, повторяющейся в среднем при многократной реализации кванта определенного типа. Такой фрагмент естествению рассматривать как реализацию нестационарного случайного процесса, математическое ожидание которого  $M[x_t] = \phi_{t-\delta}$  определяется временем n=1  $v_t$  отсчитываемым от момента начала элементарного кванта и называемым текущей фазой кванта. Зависимость математического ожидания от фазы  $\phi_t$   $\eta=0,1,2,...,$  являющуюся признаком кванта определенного типа и называемую его этанолом. Удобно представлять вектором коэффициентов се разложения по некоторой системе базисных функций t=1,...,n, лицейно пезависимой на любом интервале 0 < t=n, n+1,... (рис. 3, в).

В качестве параметрической вероятностной модели фрагмента фвксированной формы примем последовательность независимых случайных величии, определяемую суммой параметрически заданного эталона и дискретного белого шума:

$$X_i = \sum_{t=1}^{N} \alpha_t \, \psi_{t=0}^t + \beta \hat{\epsilon}_t.$$

С типом  $h \in M^*$  элементарных квантов, проявляющимся на s-й компоненте полиграммы в виде фрагментов характерной фиксированной формы, связывается определенное значение вектора параметров at (h), в состав которого входят число базисных функций n, коэффициенты формы эталона  $\alpha_1, \dots, \alpha_n$  и с. к. n, шума  $\beta$ .

Таким образом, в рассматриваемой модели экспериментальной полиграммы  $x_1 = (x_1^1, \cdots, x_n^k)$  с каждым типом элементарных квантов деятельности связывается, во-первых, вил молели каждой компоненты  $x_1^k$  и, во-вторых, вектор нараметров этой модели. Введем обобщенный вектор параметров  $c^k(h) = \{k^k(h), a^k(h)\}$ , где  $k^k(h) = 1$ , если квант типа h отражается на s-й компоненте полиграммы в виде случайного процесса, описываемого моделью авторегрессии, и k(h) = 2, если случайный процесс на фрагментах, соответствующих квантам этого типа, представляется моделью с фрагментами фиксированной формы. Тогда модель экспериментальной полиграммы полностью задается набором векторных функций c(h), для всех компонент полиграммы  $s=1,\cdots,K$ .

Естественно предположить, что не все типы элементарных квантов деятельности из множестна  $M^*$ , содержащего M элементов, различимы на каждой компоненте регистрирующей полиграммы. Формально это предположение выражается и том, что для конкретной s-й компоненты число элементов  $m^*$  в множестве значений функции  $c^*$  (h) может оказаться меньше, чем  $M^*$ . Более того, такую ситуацию следует признать типичной, поскольку если  $m^* = M$  для некоторой компоненты, то для объективизации деятельности функциональных подсистем на всех уровнях нерархии в данной молели достаточно регистрировать только одну эту компоненту, а остальные полиграммы являются излишинми.

## Задачи анализа экспериментальных данных

Рассматриваемая модель по существу представляет собой композицию двух стохастических операторов, первый из которых преобразует конечнозначный входной сигнал и в конечнозначную случайную последовательность  $h_t \in M^{-\alpha}$ , а второй осуществляет преобразование этой последовательности и векториый случайный процесс  $x_t$ . Роль первого оператора играет стохастический автомат функциональных подсистем, а второго—кваитовая модель экспериментальной полиграммы. В рамках предложенной структуры этих моделей каждая из них за тастся конечным набором параметров, причем сложность моделей, определяющая число свободных параметров, может быть, вообше говоря, сколь угодно высокой (рис. 4).

Совокупность входного сигнала (программы эксперимента) U (u<sub>1</sub>, ..., u<sub>N</sub>) и выходного сигнала модели в целом (эксперимента эпой

полиграммы)  $X = (x_1, ..., x_N)$  в течение эксперимента i = 1, ..., N представляет собой массив экспериментальных данных. Промежуточный сигнал (последовательность состояний стохастического автомата функцио-

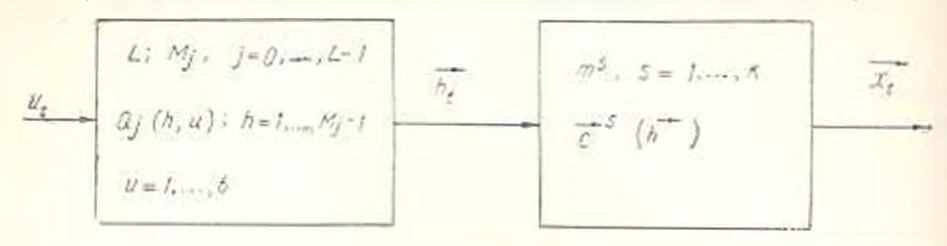


Рис. 4. Модель данных физиологического эксперимента как композиция двух стохастических операторов.

нальных подсистем)  $H=(h_0,\cdots,h_N),\ h_1=(h_0^1,\cdots,-1)$  из доступен для непосредственного наблюдения. В терминах предложетиля модели апализ данных эк периментов (U, X) в общем случае сводатся к ее идентификации, т. е. к определению структуры L,  $M=M_{\rm L-1}$  к параметров  $O_1(u),\ Q_2(u,h),\ u\in\gamma,\ H=1,\cdots,1-1$  стохастического автомата функциональных полситем, числа  $A_1,\cdots,A_n$  к параметров  $A_1,\cdots,A_n$  не  $A_2,\cdots,A_n$  моделен элементарных фрагментов полиграммы и восстановлению последовательности  $A_1,\cdots,A_n$  перимента, определяющей перархическое квангование деятельности функциональных подсистем в ходе эксперамента.

Возможны и более частные постановки задачи анализа данных. Если, например, в ходе предыдущих исследований выдвинуто несколько вариантов структуры модели изанмодействия функциональных подсистем, то анализ данных может сводиться к проверке гипотез о соответствии этих моделей экспериментальным данным и выбору одной из моделей, значимо более предпочтительной, нежели другие.

Общая задача идентификации модели в целом естественным образом распадается на две отдельные задачи идентификации модели полиграммы и перархической модели функциональных подсистем, решаемые коследовательно.

Поситификация квантовой модели экспериментальной полиграмым сводится по существу к выделению и классификации однородных фрагментов каждой компоненты полиграммы в отдельности. Если для представления однородных фрагментов s-й компоненты полиграммы х; выбрана модель авторегрессии, то при фиксированиом числе классов фрагментов иг и фиксированном порядке авторегрессии и параметры классов с<sup>1</sup>, 1 = 1,..., ит можно оценить с помощью алгоритмов, предложенных в работах [7, 10]. Апалогичные алгоритмы разработаны постаже для модели с фрагментами фиксированной формы [4]. Те же принципы могут быть использованы для построения алгоритмов, допускающих чередование на одной и той же кривой фрагментов с моделями обоих видов. Мощным инструментом для оценивания числа классом порядка моделей является виформационный критерий Аканке [8].

Пусть в результате анализа s-й компоненты полисраммы вы целен  $10^6$  классов фрасментов. Обозначим через  $A^g = \{1,...,m^a\}$  множество ви-

лексов классов. Каждому моменту времени t=1,...,N поставим в соответствие индекс  $e^*\in A_c$ , указывающий класс фрагмента s-й компоненты, содержащего этот момент времени. Ценочка индексов  $e^*_1, \cdots, e^*_N$  характеризует структуру этой компоненты полиграммы, а совоку вость таких ценочек для всех компонент s=1,...,K является агрегированным представлением исей полиграммы  $X=(x_1,...,x_N)$  в целом

Образуем вектор индексов  $e_i = (e_i^1, \cdots, e_i^k)$   $e_i^s \in A_s$ , указывающий-классы фрагментов, содержащих момент времени 1 на отдельных компонентах полиграммы. Каждый миксимальный интернал времени, а течение которого исе компоненты вектора  $h_i$  неизменны, естественно интерпретировать как элементарный кваит деятельности. Объективно паблюдаемая последовательность  $h_i$  рассматривается как отражение последовательности  $h_i$  состояний гипотетического автомата функциональных подсистем.

Последовательность векторов индексов  $E = \{e_t, ..., e_N\}$  будем называть эмпирической последовательностью элементарных квантов в отличие от теоретической последовательности  $H = \{h_1, ..., h_N\}$ . Границы элементарных квантов в этих последовательностях совивлают, однако множества эначений различиы. Множество  $A^* \subset A_1$  —  $A_n$  различных эначений е в последовательности E назовем эмпирическим множеством типов элементарных квантов в отличие от теоретического множества типов  $AP = M_0 \times ... \times M_{1-1}$ , определяемого структурой стохастического автомата функциональных поденстем. Число элементов множества  $A_n$  в общем случае не превосходит, а в реальной ситуации, как правило, меньше, чем число элементов  $M^*$ .

Каждое значение e = (e<sup>1</sup>,..., e — указывающее совоку пность значений вектора параметров модели для фрагментов отдельных компонент полиграммы, следует интерпретировать как характеристику внешнего проявления определенного теоретического типа элементарных квантов h = M<sup>3</sup>. При этом нескольким теоретическим типам может соответствовать один и тот же эмпирический тип. В отличие от внешней характеристики вектор индексов h = (h<sup>1</sup>,..., h<sup>1</sup>, 1) дает внутреннюю интерпретацию каждого теоретического типа элементарных квантов, связывая с каждым элементом множества M<sup>2</sup> набор индексов доминирующих подсистем на всех уровнях нерархии. Определение числа теоретических типов M<sup>2</sup> элементарных квантов и ноиск интерпретации элементов множества M<sup>2</sup> составляют основное содержание второго этапа анализа данных.

Идентификация стохастического автомати функциональных подстем включает в себя определение его структуры и нараметров на основе анализа агрегированного представления экспериментальной полиграммы в виде эмпирической последовательности элементарных квантов  $E = (e_1, \dots, e_N)$  совместно с входным сигналом  $U = (u_1, \dots, u_N)$ . В понятие структуры автомата функциональных подсистем дополнительно к часлу уровней L и числам подсистем на каждом уровне  $M_1, \dots, M_{N-1}$  должно быть включено также отображение e(h) множестна теоретических тилов элементарных квантов  $M^* = \{h\}$  в множество эмпирических тилов  $A = \{e\}$ . Условимся обозначать это этображение символем  $P_1$ .  $E_2$  и

При фиксированном входном сигналс  $\Gamma = (u_1,...,u_N)$  случайная последовательность  $h_1$  есть марковакая цень, определяемая матрицей условных переходных вероятностей  $R(u_t)$  с  $M^*xM^*$ ,  $M^* = M_1M_1...M_{L_1}$  элементами

$$r \; (h_t \; h_{t-1}, u_t), = q \; (n_t \; h_{t-1}, \; u_t) \; \prod_{i \in I} \; (h_i \; h_{t-1}, \; h_t^i, \; u_t).$$

Условимся обозначить символом В предполагаемую структуру автомата функциональных подсистем в целом  $\mathbf{B}=(1,M_0,...,M_{t-1})$ . Пусть  $h_0$ — начальное состояние автомата. Поскольку нумерация подсистем произвольна, то можно считать, что  $h_0=(1,...,1)$ , т. е. что на каждом уровне в начальный момент времени  $\mathbf{t}=0$  доманировала подсистема с номером  $h_0^+=1$ . Тогла условная вероятность реализации теоретической последовательности элементарных квантов  $\mathbf{H}=(1,...,h_N)$  определяется произведением

$$r(H|U_{t}|h_{t}; B, R) = \prod_{t=t} r(h_{t}|h_{t-1}, u_{t}).$$

Для всякой эмипрической последовательности элементарных квантов  $E = (e_1, \dots, e_N)$  предполагаемые отображение  $\Gamma$  и структура автомата B выделяют множество H ( $\Gamma$ , E) последовательностей  $\Pi$ , не противоречащих E. Следовательно, условная вероятность появления на выходе стохастического автомата конкретной последовательности E, зарегистрированной в результате эксперимента, есть сумма

$$p\left(E|U_{r}|h_{n};|B_{r}|R,\Gamma\right)=\sum_{\Gamma\in\mathcal{H}\left(\Gamma,|E\right)}h\left(\Pi|U_{r}|h_{n};|P_{r}|R\right).$$

Для идентификации стохастического автомата функциональных поденстем удобно использовать информационный критерий Аканке [8], представляющий собой в сущности критерий максимального правдополобия с некоторой поправкой, позволяющей сравнивать модели с разным числом нараметров. В результате идентификации будет найдена структура (рис. 2), сложность которой не навизывается априори, а отражает реально различимые детали и закономерности данных эксперимента и рамках принятой общей концепини модели.

Алгоризмы идентификации модели такого вида нуждаются и спениальной разработке. В частности, может оказаться естественным предположение, что миржести и эмпирических гипов элементарных кваитов  $A = \{e\}$  непосредствении отражает лишь миожество функциональных подсистем инжисто уровия  $M_0 = \{h^0\}$ . Такое предположение формально выражается в том, что на множестве поретических типов иля  $M^n = \{h\}$  отображение I' является константой по комплиенты  $I^n$ ,  $I^n$ ,  $I^n$  вектора индексов  $I^n$ . Тогда на каждом интервале постоянствени входного сигнала  $I^n$  случанная последовательнос в

ет может рассматриваться как марковская цель чередования пидексов подсистем инжисто (пулевого) уровия со скачкообразно изменяющейся матрицей переходных вероятностей q (h<sub>0</sub><sup>0</sup> h<sub>1</sub><sup>1</sup>, h<sub>1</sub><sup>1</sup>, u). Каждое значение этой матрицы соответствует определенной подсистеме первого уровня, а последовательность этих значении, в свою очередь, есть марковская цель со скачкообразно изменяющимися переходными вероятностями и т. д. Такие случайные процессы названы многоуровневыми структурными случайными процессами. Алгоритмы их анализа могут быть приняты в качестве основы иля разработки алгоритмов идентификации стохастического автомата функциональных подсистем.

#### **ДИТЕРАТУРА**

- 1. Агаян Г. Ц. Автореф, докт. дисс., М., 1981.
- 2. Агаян Г. Ц. Вест. АМН СССР, 2, 53-60, 1985.
- 3. Бокс Дж., Дженкинс Г. Анализ временных рядов. Прогноз и управление, 1. 2, М., 1974.
- Воробьев С. А. Автоматика и телемеханика, 8, 89—93, 1985.
- Мотгль В. В. Автоматика и телемеханика, 4, 92—100, 1985.
- Мотла В. В., Мучник Н. Б., Яковлев В. Г. Автоматика и телемеханика, 8, 84— 95, 1983.
- 7. Моттаь В. В., Яковлев В. Г. В сб.: Статистические проблемы управления, 65, 135—144, Вильнюс, 1984.
- 8. Совр менные методы идентификации систем (под ред. П. Эйкхоффа), М., 1983.
- 9. Cgdaxos K. B. Bect. AMH CCCP, 2, 3-11, 1985.
- 10. Яковлев В. Г. Автореф. канд. дисс., М., 1983.

Поступкаю 22.ХІ 1987 г.

Биолог. ж. Армении, т. 41, № 3, 1988

УДК 121 615.127.015+616 005.8

## ВЛИЯНИЕ ЭТПЕНАЛА НА НЕКОТОРЫЕ СТОРОНЫ МЕТАБОЛИЗМА МИОКАРДА ПРИ ЛЕЧЕНИИ ЭКСПЕРИМЕНТАЛЬНОГО ИНФАРКТА

Е. Г. ДЖАНПОЛАДЯН, К. Г. КАРАГЕЗЯН, В. М. САМВЕЛЯН, Л. М. ОВСЕЙЯН

Ивститут кардиодогии МЗ АрмССР, Ереван

Изучали действие этолилля и доле 2 мл кл на некоторые показатели метаболнома сердечной мышны и динамике экспериментального инфаркта миокарда. Получены данные, свидетельс вующие о восстановлении тканевого дыхания с упорядочением коэффивиента Р/О, пормализации уровня суммарных и индивидуальных фосфолипидов, лими с ован и питепенвности течения процессов своболноря ликального окисления лит дов с максимальным приближением к исхолимм показателям на 3-й педеле желеримента,

Ուսումեասիրվել է 2 մոյն ուս է ֆինհույի ազդեցությունը ուսան հյու-Ռափոխանակության որոշ ու ին



Ստացվուծ գրական վկայում են, որ P(O) (1 ...) գործակցի կարգավորման Հետ մեկտեղ վերականոնվում է հյուսվածբային բնշառությունը, ընդՀանուր և առանձին ֆուֆոլիպիդներ բանակը, ռահմանափակվում է լիպիդների ւթսիդադման աղատ ռազիկալային պրոցեմների և անկում ելա
կետային պուցանիչների էրապերիմենտի 3-րդ տարաթվա ընթացրում։

The etpenal effect in the dose of 2 mg kg on some heart metabolism indices has been studied in the dynamics of invocardium experimental interction.

Positive results are obtained which testify to tissue respiration recovery with regulating PO (1.69±0.12) coefficient, normalization of total and individual phospholipids level, limitation of processes allow intensity of tree radical exidation of lipids with maximum approximation to initial individual phospholipids of tree radical exidation of lipids with maximum approximation to initial individual exidation of experiment.

Инфаркт мнокарда-фосфолипиды этпенал-перекиси.

Исследованиями ряда авторов показано [3, 12, 13, 17], что в условиях ищемии липиды клеточных мембран претерпевают резкие изменения, в свою очередь отражающиеся на метаболизме и функция столечной мышцы [4, 5, 6, 10]. Цель настоящей работы состояда в исследовании изменения уровия субилеточных фосфолицидов, перекисного окисления липидов при экспериментальном инфаркте мнокарда, а также в выясления защитных свойств этиенала на мнокард при данной патология.

Матенцал и детоопка. Эксперименты проводили на 54 кроликах породы шининала с массой тели 1,8-2,8 кг. Пифаркт мискарда моделировали персвизкой писходящей ветви левой венечной артерии. Последования проводили в динамике развитим заболования на 7, 14, 21 дни. С первого же дня эксперимента и качестве лечебного фактора применяли внутримышенные инъекция этпенала в дозе 2 мг/кг. Этпенал является диэтиламинопропиловым эфиром дифенилэтоксиуксусной кислоты. Пренарат разрешен для клинического применения в качестве лечебного средства при стенокардан и язвенноп болезни желудка. Биохимические исследования проводили на мнокарде левого желудочка, у которого был удален некротический участок. Фосфоливиды определяли и милохондриальной и мякросомальной фракциях с номощью одномерион восходящей хроматографии на бумаге Filtrak FN-11 ГДР, пропитанной креминевой кислотой, таринетти и Штотцу [16] в модификации Смирнова с соавт. [7] и Карагезяна [2]. Поглошение кислорода манометрически в аппарате Варбурга (газоная фала воздуу), степень эстерификации фосфата-методом Лоури и Лопела по убили неорганического фосфата на никубационной среды [15], количество белка по Лоури с соавт. [14]. Об интенсивности происссом липидной чероксидации в микросомалькой фракции судили по накоплению малонового диальдегида. ЭКГ регистрировали и трех стандартных отделениях в динамике лечения.

Результаты и обсуждение. Согласно полученным данным, в порме синусовый ритм составлял 206. 5 ударов в минуту. Повышение зубца ST синдетельствовало о наличии инфаркта мнокарда. На вторые сутки выявились характерные изменения комплекса QRS-типа QS, а зубец ST приблизился к изоэлектрической линии. Отмечалось небольшое углубление зубца Т. Динамика заболевания через неделю характеризовалась дальнейшим углублением зубца Т. приобретавшего форму отрицательного симметричного глубокого зубца. Последующие наблюдения над группой кроликов, леченных изменениях в данамике недель, свидетельствовали о положительных изменениях в данамике

нифаркта мнокарда. заключавшихся в уменьшении отрицательности аубца Т.

Информативными показателями при инфаркте мнокарда являются отклонения в интенсивности гечения процессов окислительного фосфорилирования. Как видно из рис. 1, при 7-дневном инфаркте мнокарда

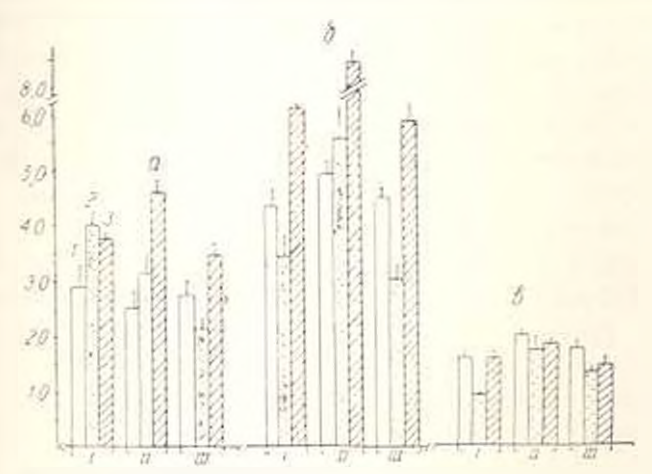


Рис. 1. Окислительное фосфорилирование изолированных митохондрий сердечной мышцы кролико в различные сроки экспериментального инфаркта до и после лечения этпеналом; субстрат—сукцинат. По оси абсинсе: сроки изблюдении—1 неделя, П неделя, ПИ неделя; а—дыхание; б—фосфор; в—коэффициент Р/О: 1—контроль, 2—ислеченые животные, 3—леченые животные. По оси ординат—О и Р в мкатомах/иг белка.

вмеют место усиление дыхания и синжение интенсивности процессов эстерификации фосфата (величина Р/О составляет 0,84). Уронень окислительного фосфорилирования в митохондриях сердечной мышцы зависит от содержания в артериальной крови субстратой окисления и состояния мембранной проницаемости. При недостаточном содержании указанных соединении используются собственные внутримитохондривлышье источники энергии, что вызывает вовреждение ультраструктурной организации этих клеточных образонаний с их последующим разрушением [12]. Усиление сопряженности окислительного фосфорилирования в стадии организации инфаркта (14—21 день) можно объяснить интенсификацией работы дыхательной цени с новышением потребления макроэргов, исобходимых для обеспечения течения биосинтетических реакций мискарда. Внедение эпремания и возвращением негоя активированием реакций фосфиратирования и возвращением пестаничныем Р/О в пределы контрольных помазателей.

Согласно данным литературы [9, 15], уменьшение количества фосфолипидов, в частности кардиолиппнов, сопровождает в понижением в митохондриях активности цитохромов ат и ад, сукиливтдегидрогеназы. ПАДИ-оксидазы и интенсивности синтеза АТФ.

В митохондриальной фракции суммарное содержано фосфолины дов на протяжении 1—3 недель составляет 4,89, 4,77 и 4.02 мкг динидного фосфора соответственно (и контроле—4,48 мкг). На этом фоне

в течение первой недели обнаруживается уменьшение уровня фосфатидилсеринов, сменяющееся на 2—3 неделе его повышением. Количество фосфатидилхолинов и эти же сроки уменьшается (табл. 1).

Что касается микросомальной фракции (табл 2), то в иси увеличение количества суммарных фосфолипидов отмечается только в конце первой недели постинфарктного перкода, гланным образом благодаря значительному увеличению уровня фосфатилилходинов (на 146%). В последующие две недели уровень суммарных фосфолипидов микросомальной фракции колеблется в пределах исходных везичии. Примечательно уменьшение на второй неделе содержания фосфатидилхоли<mark>ков</mark> и кардиолипинов. Аналогичные сдвиги в количественных соотношениях прослеживаются и на третьей педеле после инфаркта мнокарда. Следует отметить повышение уровия монофосфоннолитидов как в митохондриальной фракции на второй неделе эксперимента, так и в микросомальной в первую и на третьей неделе эксперимента. Как известно, в настоящее время моно-, дн- и трифосфокнозити (ам отводится важная роль в обеспечении эффекта стимулирования АТФ-индуцированносо сокращения сердечной мышцы и в поддержании активиости адениловой системы [8].

Согласно нашим наблюдениям, введение этненала животным с моделированным инфарктом мнокарда сопровождается подъемом общего уровня фосфолипидов в конце первой недели эксперимента преямущественно в митохондриальной фракции кардиомноцитов до 10.63 мкг линилного фосфора с последующим его падением до исходных величии. Особый интерес представляет увеличение содержания кардиолипинов в митохондриальной фракции кардиомноцитов, где, как известно, эти линиды играют существенную роль [10] в активации ряда ферментных систем, таких как сукцинатдегидрогеназа, НАДН-дегидрогеназа, АТФ-

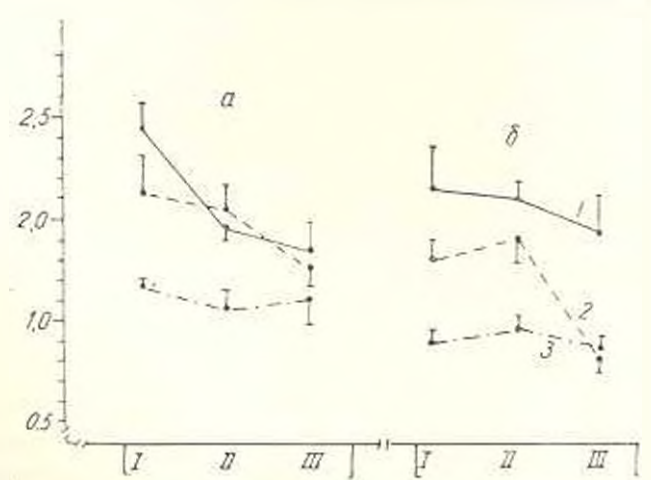


Рис. 2. Изменение уровня малонового диальдегида в микросомальной фракции сердечной мышцы в различные сроки экспериментального инфаркта ло и после мечения этпеналом. По оси абсинсе: сроки наблюдений—1 неделя, 11 неделя, 111 неделя: а -аскорбат-зависимая система переокисления липидов; 6 НАДФ-зависимая система переокисления липидов. 1—контроль. 2—нелеченые животные, 3—леченые животные По оси ординат количество малонового диальдегида в имолях на 1 мг белка данкой фракции.

Таблина I. Уровень суммарных и индивидуальных фосфолилидов (в мят лицидного фосфора на 1 мг сухого остатка фракции;  $\mathbf{M}_{\pm m}$ ) в митохондриальной фракции сердечной мышцы

Фосфолиция		Контрель Без лечения			С лечением			
		эмитовиж) Йонх.о. э Гэнлбаэно	педели			педели		
		1 це јелю)	I	2	3	i	2	3
Лизо   осфатице <b>лхо</b> и вы	P	0.34±0.1	0.53-10.2	0.42±0.02	0.69+0.01	2.12±0.11 - 0.001	0.45±0.02	0.51±0.01 0.1
Моно росфолистилы	Р	0.69+0.2	0.9+0.16	1 24± 1 1 <0.05	1.11±0.02	2.02±0.5 <0.02	0.75±0.01	0 65±0 05
Сфин, омнежим	כן	0.440.05	0 66+0.08 <0.01	$0.62\pm0.01$ =0.001	0.46±0.01	0.91±0.17 < 0.01	1,67 <del>1</del> 0,01 <0.001	0.7±0.03 <0.001
Фосфатидилхолины	Р	1.2±0.1	1 49±0.3	0.75+0.01 <0.01	0.83±0.02 <0.01	1.52+0.43	1.44±0.02 <0.05	1.31-10.2
Фосфатидилсерины	Р	0.4±0.07	0 21±0.04 <0.05	0.66±0.02 <0.01	0.58H-0.01 <0.05	0.54+0.15	0.38±0.01	0.57±0.17
ни маконатекникть форм	p	0,45±0.06	0 36+0.02	0.53±0.02	0.15 <del>1-</del> 0.01 <0.001	0.96±0.05 <0.001	$0.53 \pm 0.02$	0.58±0 02
Кардиол лины	la	1.0+0.1	0 69+0.08	0.63+0 02	0,2+0.03 <0,001	2,55±0.24 <0.02	1.23十0.17	1,29±0-2
Сумма	*	4.48	4.89	4.77	4.62	10.63	5.75	5.69
Число опытов		6	8	7	ű.	9	10	8

Таблица 2. Уровень суммарных в индивидуальных фосфолянидов (в мкг фосфора на 1 мг сухого остатка фракции: М ин) в микросомальной фракции сердечной мышцы

Фосфолнинды		Контроль (животиме		Без лечения			С асчением	
		с дожнов операцией	педели			нелени		
		I педелю)	1	2	3	1	2	3
Дазэфосфати плахелины	þ	0.34±0 12	0.89±0.07 <0.01	0.65- <u>1-</u> 0.01 <0.05	0.52±0.01 =0.1	1.01±0.10 <0.001	0.61±0.01 <0.05	0.46 ±0.1
Моко росфоннозитилы	P	0.51±0.2	0.56+0.05 <0.05	0.94+0.01 <0.05	0.92+0.02 <0.1	1.87±0.02 <0.001	0.59+0.95	0.71±0.01
Сфинкомпедины	р	0,97+0.14	1.37+0.17 <0.1	0.86±0.05 <0.5	0.68+0.02 <0.1	1.71+0.4	1.2!±0.01 <0.1	0.71+0.02
Фосфатиднах - шни	P	1,3+0,1	3.2±0.68 <0.02	0.77-1-0.05 <0.001	1.1+0.09	1.7±0.08 <0.1	1.10±0.2	$0.92 \pm 0.014$
Фосфагилилсерины	þ	0.55 <u></u> 0.11	0.54+0.1	0.79=0.02	0.73±0.01	0.79+0.17	0.96±0.01 <0.01	0.67±0.01 <0.1
Фосфатидиа этаполамина	p	0.794-0.19	0.92-10 14	0.8-1-0.01	0 42±0.02	0.5+0.02	0.37±0.02 <0.05	0.65+0.02
Кардио, и писы	Р	0.54-1-0.09	0.6±0.16	0.12±0.02 <0.001	0,48+0,01	1.13+0.05	0 73+0.05 <0.1	0.80±0.01 <0.02
Сумма		5.00	8.10	4.93	4.83	8.74	5.57	4.71
Число фавион		G	8	7	6	9	10	8

аза и др Полученные результаты указывают на благотворное действие этпенала, проявляющееся главным образом на 2—3 неделе эксперимента.

Как видно из рис. 2, при инфаркте миокарла имеет место также значительная интенсификация реакций перекисного окисления липидов как в аскорбат, так и в ПАДФП-зависимой системах. Согласно полученным данным, ввещение этиснала оказывает определенное лимитирумощее действие на процессы перекисного окисления липидов. Положительный эффект этиснала особенно четко проявился в конце третьей недели эксперимента в НАДФП-зависимой системе. Этот эффект этиснала, вероятно, можно объяснить либо увеличением количества антисксидантов, тормозящих перекисное окисление липидов, либо непосредственным комплексованием его с перекисными радикалами и, следовательно, уменьшением их концентрации.

На основании всего сказание го можно заключить, что под действием этненала в кардиомноцитах происходит восстановление липид-лилидных соотношений. Этот процесс приводит, с одной стороны, к упорядочению структурной организации мембранных образовании, с друтой—к нормализации их функциональной активности.

#### ЛИТЕРАТУРА

- 1 .Высокогорский В. Е. К вопросу о состоянии липилного обмена при экспериментальном инфаркте миокарда. 3-й Всесоюзи, бирхим, съезд. 278. М., 1974.
- 2. Карагезян К. Г. Лаб. лело. 1, 23, 1969.
- 3. Карагезян К. Г. Джанполадян Е. Г. Каранология, 4, 108, 1985.
- Мальшев В. В., Лифантьев В. И., Меерсон Ф. З. Каранология, 6, 113, 1982.
- 5. Меерсон Ф. З., Досмагамбетова Р. С. Кардислогия, 3, 20, 1983.
- 6. Меерсон Ф. З., Малышев В. В., Гжимов Е. И., Петрова В. А., Лифантоева В. И., Вопр. мед. химин, 1, 76, 1986.
- 7. Смирнов А. А., Чирковская Е. В., Манукян К. Г. Биохимия, 20, 6, 1027, 1961.
- 8. Туракулов Я. Х., Саатов Т. С. В ки. Бнолимии липидов и их раль в обмене веществ. 139, М., 1981.
- 9. Фегисов Т. В., Фролькие Р. Л. В ки "Биохимия инфаркта мнокарда, 167, Киев, 1976.
- 10. Фуркало Н. К. Бюлл. ВКНЦ АМН СССР, 1, 31, 1986.
- 11. Чечулин Ю. С. В ки.: Поврежденное сердие. 287, М., 1975.
- Corr P. B., Snyder D. W., Lee B. J., Gross R. W., Reim C. P., Sob et B. E. Amer. J. Physiol., 243, 187-195, 1982.
- 13. Corr P. B., Gross P. W. Sebel B. E. Circulation Res., 55, 135-1-4, 1984.
- 14. Lowry O. H., Rosenbrogh N. J., Jarr H. J. J. Biol. Chem., 193, 265, 1951.
- 15. Lowry O. H., Lopez J. H. J. Biol. Chem., 182, 21, 1964.
- 16. Marinetti J. V., Stotz E. Blochim, Biophys, Acta, 21, 163-176, 1916.
- 17. Takahi shi K., Kako K. Biochem, Med. and Metabol., 25, 3, 303-321, 1986.

Поступило 8.1 1986 г.

## ВЛИЯНИЕ РАЗЛИЧНЫХ ФОРМ ИММУНОДЕПРЕССИИ НА РОСТ ОПУХОЛИ У МЫШЕЯ

М. В. ТАТЬЯН, К. А. КАЗАРЯН, И. Г. АКОПЯН, Э.Т. ГАСПАРЯН, Ю. Т. АЛЕКСАНЯН

Пиститут экспериментальной биологии АН АрмССР, Ереван

Показано, что тимиктомии взрослых мышей приводит и торможению роста прививаемых клетох сингенной опухоли МГХХНа у мышей липпи СЗНА. У мышей, получавших циклофосфамид в дозе 100 мг/кг мяссы в течение 16 дией после внокуляции опухолевых клеток, отмечено торможение роста опухоли, что обусловлено, по-видимому, подавлением Т-супрессорной популяции лимфоцитов.

8ույց է տրված, որ ինչպես .ասու<mark>ն մկների Բիմ</mark>էկտոմիայի. Հաժիդի եզակի ներարկման գե<mark>պջում կենդանիների մոտ</mark> զգայիորեն արդելակվո<mark>ւմ</mark> է դատվաստված ուռուցջային րջի**ջների ա**նը։

Ուտուցջույին ամի կանխումը <mark>վերոքիչյալ ազգակն</mark>երով, ըստ երևույքին, պայմանավորված է լիմֆոցիտեերի Թ—սուպրեսորային պոպույլացիայի Տեյումով

The thymectomia of adult mice brings to expressed growth braking of MHXXIIa singen tumors implanted cells at mice of strain CBHA. The absence of tumor's growth at mice, which have received cyclophosphamide in dose 100 mg/kg during 16 days after inoculation of tumors cells has been mentioned.

The tumor's growth—braking is conditioned by the inhibition of T—suppressor population of lymphocytes.

Тимэктомия-циклофосфамид-противоопухолевия резистеменость.

В настоящее время общепризнана велущая роль клеточных факторов в противоопухолевом иммунитете [7, 11, 12]. Показано, что рост опухоли сопровождается образованием Т-лимфоцитов, которые могут как симулировать, так и подавлять опухолевый рост [3, 4, 11]. Проведена серия работ, убедительно показавших, что элиминация супрессорных клеток, индуцированных опухолью, может привести к усилению иммунореактивности и торможению роста опухоли [5, 6, 9]. Известно также, что Т-супрессоры отличаются повышенной чувствительностью к действию циклофосфамида [2, 8]. В связи с этим представляет интерес дальнейшее изучение влияния различных воздействий на клеточные факторы иммунитета для выясиения возможностей индукции противоспухолевой резпечентности и подавления опухолевого роста.

В настоящей работе представлены результаты влияния ТЭ и однократного введения ЦФ на рост опухоли у мышей.

Материал и методика. В опытах были использованы полученчие и питомияка «Рашколово» мыши лиши СЗНА массой 18—22 г. В 3—4-недельном возрасте им прои водили ТЭ накуумным метод м [10]. В качестве контроля использовали дожнооперированных мышей. ЦФ в де в 100 мг/кг массы пводили внутрибрющинно из 3 дня 
до инокульции опухолевых клеток. Использованы клетки опухоли МГХХНа, образо-

Сокращения: 13-тимэктомия, ЦФ инклофосфамиа.

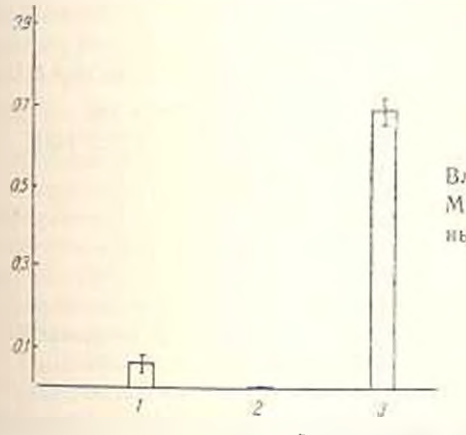
мавшейся у мышей линин СЗНА после прививки длительно культивируемых клеток линин МГХХПа [1]. Опухолевые клетки прививали в дозе 2.105. Полученные экспериментальные данные обработаны статистически с вычислением средней арифметической.

Результаты и обсуждение. Результаты изучения влияния ТЭ на рост прививаемых клеток опухоли МГХХПа представлены в таблице.

Влияние тим:	эктомии на рост	опухоли МГХХНа				
Группа животных	Количество животных	Масса опухови, г				
ı	32	0.529+0.241				
11	17	2.489+0.490				

Тимэктомированным (гр. 1) и ложнооперированным (гр. 2) мышам через 3 месяца после операции вводили клетки опухоли. На 24-й день у всех подопытных и контрольных животных определяли массу опухоли. Полученные данные свидетельствуют о том, что предварительная ТЭ приводит к выраженному (в 4,7 раза) торможению роста опухоли, что, по всей вероятности, обусловлено уменьшением Т-супрессорной популяции лимфоцитов

При исследовании действия ЦФ на рост опухоли (рис.) установлено, что у мышей, предварительно (до прививки опухолевых клеток) обработанных ЦФ (гр. 2), к 16-му дию опухоль не появилась, в то вре-



Влияние циклофосфамида на рост опухоли МГХХПа. По оси абсцисс-группа животных, по оси ординат-масса опухоли в граммах.

мя как в контроле (гр. 3) отмечена 100%-ная прививаемость опухолевых клеток. У мышей же, обработанных ЦФ с последующим введением им внутривенно спленоцитов от интактных сингенных доноров в дозе 5-10° (гр. 1), наблюдалось выраженное торможение роста опухоли. Отсутствие до 16-го дня роста опухоли у мышей, обработанных ЦФ, по-видимому, обусловлено подавлением Т-супрессорной популяции лимфоцитов.

Таким образом, как при тимэктомии, так и при однократном ввелении ЦФ отмечается выраженное торможение роста опухоли МГХХПа, что, по-видимому, является следствием подавления супрессорной популяции Т-лимфоцитов. Дальнейшие исследования в этом направлении могут выявить новые возможности для разработки эффективных спосов бов индукции противоопухолевой резистентности и торможения опухоленого роста.

#### ЛИТЕРАТУРА

- 1. Алексанян Ю. Т., Басмаджян Ч. Е., Мовсесян К. С., Манукан Л. А., Гевория С. К. Бюлл. экспер. биол. и мел., 73, 5, 94—95, 1972.
- Броноз Б. Д., Рохлин О. В. Молекулярные и клеточные основы иммунологического распознавания. 336, М., 1978.
- Матэ Ж. Активная иммуногерация рака, иммунопрофилактика и иммунореабилитация, 424, М., 1980.
  - Мицениеце А. Я., Фердат А. К. В ки.: Вирусы в терапии опухолей, 5—33. Рига. 1978.
  - 5. Петров Р. В. Вести, АМН СССР, 1, 55-68, 1979.
- 6. Frost P., Prete P., Kerbel R. Int. J. Cancer, 39, 2, 211-217, 1971.
- Gantum S., Deodhar S. D. J. Natl. Cancer Inst., 4, 939-118 1981.
- 8. Kishimoto S., Tomino S., Mitsuya H. J. Immunol., 123. 1. 20 -1. 91. 1979.
- 9. Klein B. C. Sharon R., Tarele R., Naor D. Immunology, 163, 1 7-21, 1982.
- 10. Mitter J. F. A. P. Lancet, 2, 748, 1961.
- 11. North R. J. J. Exp. Med., 155, 1, 1063-1074, 1982.
- 12. Ting C. C., Podrigues D., Nordan R. Cell. Immunol 65, 1, 45-55, 1982.

Поступило 10.VII 1987 г.

Биолог, ж. Армения, т. 41, № 3, 1988

УДК 612.827 € 612.822.3-

## ЭЛЕКТРОФИЗИОЛОГИЧЕСКИИ АНАЛИЗ ОПОСРЕДОВАНИЯ РЕТИКУЛЯРНЫМ ЯДРОМ ПОКРЫШКИ МОСТА КОРТИКОФУГАЛЬНОЙ ИМПУЛЬСАЦИИ В МОЗЖЕЧОК

#### A O. BAHTHKSH, O. II. ROCOSHI

Институт физиологии им. Л. А. Орбели АН АрмССР, Ереван

Показано, что на раздражение ретикулярного идра покрышки моста в средней ноже мозжечка познакает сложный двухкомпонентный потенципа. Компоненты имеют почти одинаковый порог выявления. При более интенсивном раздражении обнаруживается третий компонент. Установлено также значительное изменение возбудимости нейронов ретикулярного ядра покрышки моста, опосредующих проведение кортикофугального ситкала и мозжечок через его средною ножку.

Սուր փորձի պայմաններում, անզգայացված կատուների մոտ ցույց է արև որ կամրջի ծածկի դանցաձև կորիզի գրգռմամբ ուղնդիկի միջին ռաիկում ի հայտ են գայիս բարդ. երկրադադրիչ պատասխաններ։ Դրգոման ուժի մեծացման դեպքում նկատվում է ավելի երկար դաղանի չրջանով և բարձր շնմրով երրորդ բաղագրիլու քրդային ուղու և կամրջի ծաձկի ցանցաձև կորիզի գրգոմամբ ստացվող ազդակների փոխներպործությամբ հաստատվել է, որ կամրջի ծածկի ցանցաձև կորիզը միջնորդավորում է կեղևային վայրիչակ ազդակների հաղորդում է կեղևային վայրիչակ ազդակների հաղորդումը ուղեղիկ՝ վերջինիս միջին ոտիկի միջոցով։

The stimulation of nucleus reticularis tegments pontis evokes complex, two component responses. Further intensification of stimulation exhibits the third component. The conventional conditioning technique is employed to identify path of cerebro—cerebellar transmission through nucleus reticularis tegments pontis and considerable changes of excitability of neurones of nucleus reticularis tegments pontis have been shown. Nucleus reticularis tegments pontis takes part in transmission of cerebrofugal signals to cerebellum via his brachlum pontis.

Моге головной—ретикулярное ядро покрышки мости—средняя ножки мозжечка пирамидный тракт.

На основании особенностей афферентной и эфферентной организации ретикулярного ядра покрышки моста (РЯПМ) было выдвинуто предположение [5, 15], что его роль в основном связана с функционированием мосто-мозжечковой петли, в пределах которой происходит реверберация импульсации, и что изаимный контроль ее элементов осуществляется посредством положительной обратной связи. Среди афферентных входов в указанное образование [8, 10] значительную долю составляют посылки коркового происхождения [7]. Аллен с созвт. [3] посредством анализа потенциалов средней ножки мозжечка установили факт опосредования мостовыми структурами кортико-мозжечковой импульсации, однако не было проведено строгого разделения между РЯПМ и собственными ядрами моста. В то же время такое разграничение необходимо, поскольку, как известно, через среднюю ножку мозжечка проходят аксоны нейронов указанных структур моста [8]

В данной работе приведены результаты изучения особенностей вызванных потенциалов нейронов РЯНМ на раздражение коры мозга и ПТ и участия этой структуры моста в опосредовании кортикофугальных сигналов в мозжечок.

Материал и методика. Исследование проведено на взросяща кошкам массой 2,5-4,0 кг. паркотизированных нембуталом (10 50 мг/хг, внутрибрющинию). Живогных обездвиживали дитилином (1%-ный раствор, 1 мг/кг, внутримышечно, периодически) и переводили на искусственное дехание. Регистрировали активность клеток РЯНМ изпучка аксонов на уровне средней вожки мозжечка. С этой делью на обнаженную доверхность средней пожки мозжечка накладывали серебряный элорированный шариковый электрод. В серии экспериментов исследовали фокальные потенциалы РЯНМ (АР 1,5; 1,1,0; Н 4.5), возникающие на висходящие посылки. Использовали польфрамоный электрод с диаметром кончика порядка 5 мкм. Проводили монополярную регистрацию усилителем постоянного тока. «Индифферентный» электрод погружали в мишны шен. Раздражающие вольфрамовые электроды внодили стереотаксически [6] и ПТ в области продолговатого модга (А 7; 1, 6; Н 6) и сеисомоторкую область коры мозга. В ряде опытов производили предварительное удаление серого нещества коры мозга и раздражающие электроды росполатали в белом веществе с целью. невосредственной стимуляции волокон ПТ. После экспериментов проводили гистологический контроль областей раздражения и регистрации.

Результаты и обсуждение. Ответы РЯПМ. На рис. 1 показано, что на раздражение ПТ в РЯПМ позникает быстрая положительная волна со скрытым периодом 0,15—0,48 мс (в среднем 0,36—0,50 мА, обладает рефрактерным периодом 0,4—0,5 мс (в среднем 0,44—0,03; n=8) и может быть воспроизведена высокочастотным раздражением до

100 Гц (n=4), длительность этой волны составляет 0,25—0,65 мс (в среднем 0,45 $\pm$ 0,15 мс; n=8), амилитула 0,92—1,08 мВ (в среднем 1,00 $\pm$ 0,04 мВ; n=15). Иногда на раздражение ПТ регистр руетси медленная пегативная волна длительностью 7,4—9,2 мс (в среднем 8,3  $\pm$ 

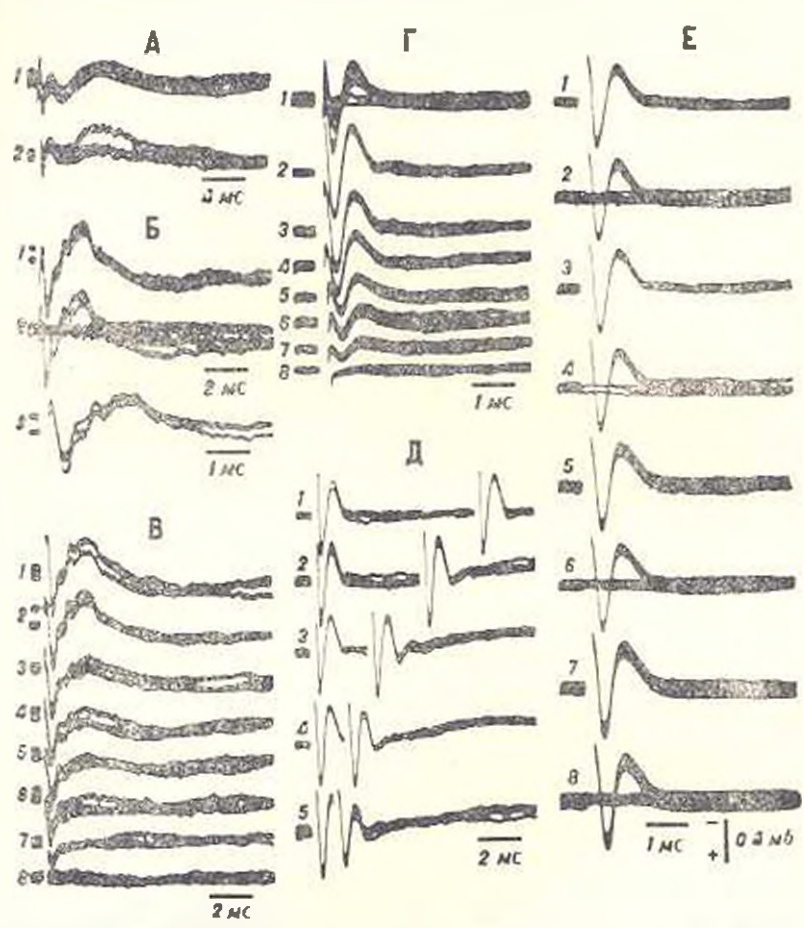


Рис. 1. Ответы РЯПМ на кортикофугальную ямпульсацию. А—Раздражение сенсомоторной коры; на 1 и 2 разные полярности одиночного раздражения; Б. Е—раздражение пирамидного тракти; Б. 1. 2 и 3—разные полярности одиночного раздражения; В и Г—увеличение питенсивности раздражения сничу вверх; Д. исследование рефрактерного периода при различных межетимульных интервалах; Е—различная частота раздражения, соответственно 1 Гц. (1.2), 10 Гц. (3.4), 50 Гц. (5.6) и 100 Гц. (7.8).

0,6 мс; n=9). Скрытый период ее возникловения также составляет 0,15 $\pm$ 0,40 мс. В восходящей фазе медленного отклонения обнаруживаются одна или две выемки, благодаря которым возможно выделение, наряду с ранним, и поздних компонентов ответа. Последние возникают со скрытым периодом 0,8 $\pm$ 1,3 мс. (в среднем 0,95 $\pm$ 0,15 мс; n=18) и 1,0 $\pm$ 1,5 мс соответственно и имеют длительный рефрактерный период.

На стимуляцию сенсомоторной коры в ряде случаев регистрировались ответы, состоящие из начального быстрого положительного откловения и последующей медиальной негативной волны. Начальное отклонение импло скрытый период 0,15±0,45 мс (в среднем 0,30±0,10 мс:

n=11) и длительность  $0.6\pm1.4$  мс (в среднем  $0.90\pm0.25$  мс; n=7). Скрытый период медленной волны составлял 1.2-1.6 мс (в среднем  $1.35\pm0.15$  мс; n=6), длительность 7.4-9.2 мс (в среднем  $8.1\pm0.7$  n=8). Имеются основания полагать, что начальное быстрое отклонение имеет пресинантическое происхождение, а поздняя медиальная волна—синантическое.

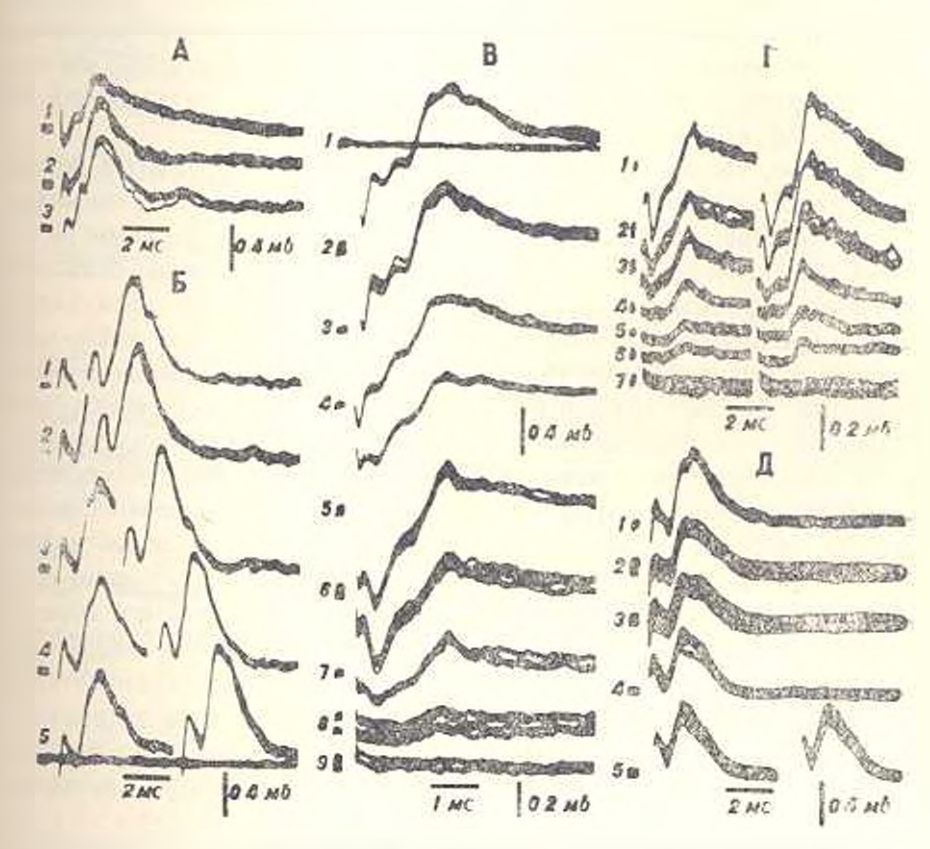


Рис. 2. Ответы средней ножки моэжечка на раздражение РЯПМ. А. 1 и 2—3—разные полярности одиночного раздражения; Б—исследование рефрактерного периода при различных межстимульных интерналах. В—унеличение интенсивности раздражения спизу вверх: Г—унеличение интенсивности раздражения снизу вверх применениям пары стимулов с фиксированным межстимульным интерналом; Д различная частота раздражения, соответственно 10 Гш (1), 25 Гш (2), 50 Гц (3), 100 Гц (4) и 200 Гш (5).

Ответы средней ножки моэжечка. Эффекты раздражения РЯПМ. На рис. 2 представлены потенциалы из средней ножки моэжечка на стимуляцию РЯПМ. Они состоят из быстрого начального негативного отклонения, возникающего со скрытым периодом 0.35-0.80 мс (в среднем  $0.58\pm0.18$  мс; n=17), и второго компонента со скрытым периодом 1.15-1.45 мс (в среднем  $1.28\pm0.12$  мс; n=17); часто на нисходящей фазе регистрируемого потенциала обнаруживается третий компонент, со скрытым периодом 2.25-2.80 мс (в среднем  $2.52\pm0.20$  мс; n=17). Указанные компоненты имеют порог возникновения 0.6-0.8 мА, их амилитуды перестают увеличиваться при интенсивности стимуляции око-

ло 5,0 мА. Эти компоненты могут следовать с частотой раздражения до 200 имп в сек. На рис, 2 показаны эффекты применения пары стимулов с фиксированным межстимульным интервалом при различных интенсивностях раздражения. Видио, что коротко- и длиниолатентные компоненты имсют почти одинаковый ворог выявления. В ряде случаев при повышении интенсивности раздражения вслед за начальным негативным отклонением регистрировалась более поздияя негативная волна со скрытым периодом 4,5—6,2 мс (в среднем 5,35±0,65 мс; п= 11). Как правило, она обнаруживалась при частоте раздражения не более 20—30 ими в сек.

Известно, что в отличие от собственных ядер моста РЯПМ можно рассматривать не только как предмозжечковое образование, посылающее свои эфферентные волокиа почти исключительно в мозжечок [8, 11, 12], но и как структуру, получающую из мозжечка подавляющее большинство своих афферентных волокон [7, 9]. Поэтому при стимуляции РЯПМ в средней ножке мозжечка должны активироваться мосто-мозжечковые волокиа [12, 13, 16]. Коротколатентные компоненты регистрируемых ответов (начальный и поздний компоненты) могут быть результатом вепосредственной активации мосто-мозжечковых нейронов. Третяй компонент, выявляемый на нисходящей фазе негативного отклонения, возможно, отражает следовые изменения активности отмеченных нейронов. Другим объяснением его происхождения может служить признание наличия очень медленных проекционных мосто-мозжечковых нейронов. Однако не исключено, что причиной его возникповения является гранссинаптическай активация мосто-мозжечковых нейронов посредством возбуждения афферентных волоков, синантирующих на указанных нейронах. Более поздняя негативная волна, позпикающая со скрытым периодом 4,5-6,2 мс, очевидно, имеет подисипантическое происхождение, возможным механизмом которого является реверберация возбуждения в мосто-мозжечковых структурах.

Ответы средней ножки мозжечка на раздражение ПТ. Ответы из средней ножки мозжечка на раздражение ПТ харак еризовались относительно медленным течением. Их длительность составляла 9,0—14,9 мс (в среднем 11,6±1,98 мс; n=9), амплитуда колебалась и пределах 0,42—0,85 мВ (в среднем 0,68±0,14 мВ; н=12). Отчетливо выявлялся двухкомпонентный состав записанных ответов (рис. 3). Оба компонента имеют самостоятельное происхождение [1, 3].

Эффекты взаимодействия импульсов в средней ножке мозграка при раздражении РЯПМ и ПТ. На рис, 4 показаны эффекты взаимодействия импульсов в средней ножке мозжечка при раздражении РЯПМ (обусловливающее раздражение) и ПТ (испытательное раздражение). Обнаруживается разница в поведении быстрого и медленного компонентов ответа на испытательное раздражение. При межстимульном интернале до 1,0—1,2 мс (в среднем 1,1 мс; n=21) быстрый компонент ответа подвергается подавлению, однако при дальнейшем увеличении межстимульного интервала подавление ослабенает и при его значениях, равных 3,5—3,8 мс (и среднем 3,6 мс, n=21), указанный компонент достигает контрольной величины. При дальнейшем увеличении межсти-

мульного интервала от 3,85—4,20 мс (в среднем 3,95 мс; n=21) до 7,8—8,1 мс (в среднем 8,0 мс; n=21) он испытывает искоторое облегчение. Медленный компонент ответа на испытательное раздражение подвергается лишь небольшому облегчению при коротких интервалах между стимулами до 2,6 мс.

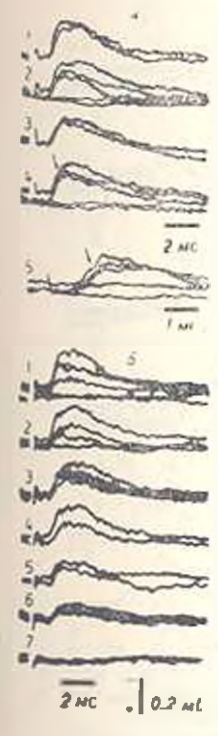


Рис. 3 Ответы средней ножки мозженка на раздражение пирамидного тракта. А. 1, 2 и 3, 4—разные поляриости раздражения; на 5—то же самое, что на 4 при быстрой развертке луча (стрелки указывают из разделение быстрого и медленного компоиситов сложного ответа); Б—увеличение интенсивности раздражения спизу вверх.

При наиссении обусловливающего стимула на ПТ и испытательного на РЯПМ (рис. 5) отмечается высокая чувствительность второго компонента по сравнению с первым. При межстимульных интервалах до 1,0—1,2 мс (в среднем 1,05 мс; п=18) наблюдается полное подавление второго компонента. Дальнейшее увеличение межстимульного интервала приводит к постепенному восстановлению его амплитулы, которая достигает контрольной величины при интервале в 5,8—6,2 ме (в среднем 5,95 мс; п=18). Первый компонент потенциала при коротких интервалах лишь частично подавляется. При межстимульных интервалах от 1,0—2,1 мс до 4,0—4,2 мс он возрастает до контрольной величины. Отмеченное взаимодействие не сопровождается значительным изменением третьего компонента, возникающего в инсходящей фазе потенциала.

Результаты проведенных экспериментов показали, что на раздражение ПТ и сенсомоторной области коры мозга в РЯПМ возникают сложные ответы с проявлением быстрого и медленного отклонений. В отличие от собственных ядер моста в этом ядре компонентный состав зарегистрированных потенциалов прослеживается менее четко, что согласуется с данными внутриклеточного исследования указанных структур [2, 4, 12]. Тогда как в нейронах собственных ядер моста на корконые сигналы могут возникнуть ВПСП сложной формы, в нейронах

РЯПМ они имеют простую форму и один компонент [2, 12]. Эти данные дают основание полагать, что нейроны РЯПМ передают информацию в мозжечок без строгого сохранения временного и пространственного паттернов кортикофугальной команды [4, 14]. Заметим, что

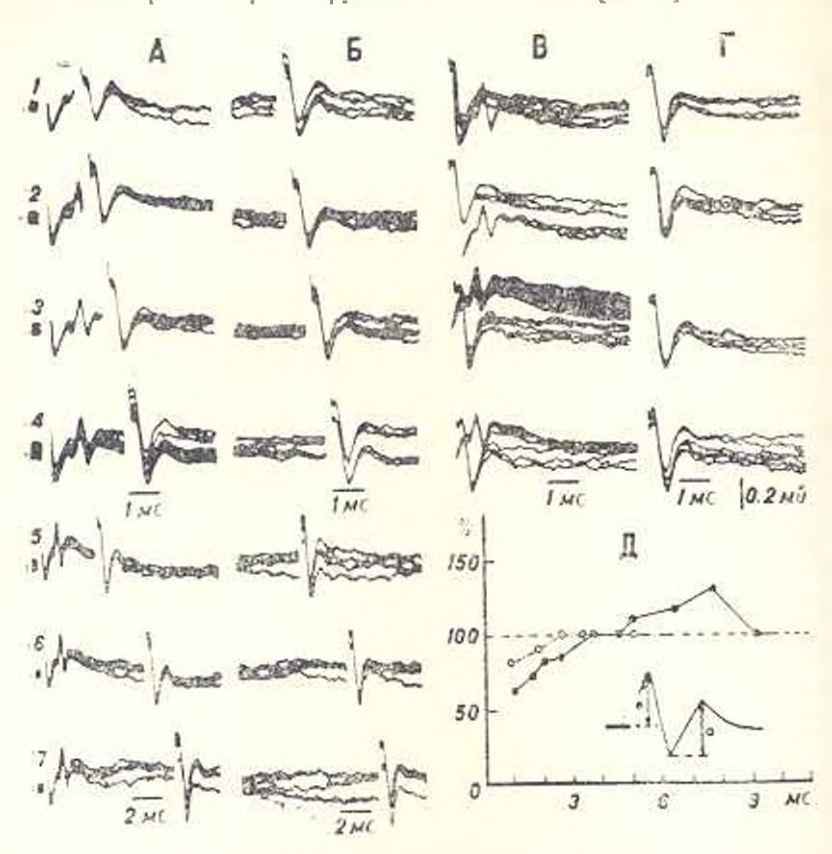


Рис. 1. Особенности проведения кортикофугальной импульсации в молжечок через его среднюю ножку. А и В—нанессине обусловлявающего стимула на РЯПМ и испытательного на пирамидный тракт; В и Г—соответствующие контрольные записи на раздражение пирамидного тракта без
предыдущего обусловливающего раздражения; Д—кривая зависимости величии быстрого (сплошная линия) и медленного (пунктирная линия) компонентов испытательного ответа от межетимульного интернала. Графически показан способ вычисления амплитуды зарегистрированных комнонентов ответа. По оси абсинсе—межетимульный интернал в мс, по оси
ординат—процентное выражение велячины испытательного ответа.

в передаче коркового командного сигнала в мозжечок центральное место принадлежит не РЯПМ, а собственным ядрам моста [7, 14], холя и корконый выход в РЯПМ достаточно отчетливо выражен и обнаруживает некоторые признаки соматотопической организации [7].

Как уже отмечалось, при раздражении РЯПМ в средней ножке мозжечка возникают сложные потенциалы, компоненты которых имеют различное происхождение. Вероятно, это обусловлено тем обстоятельством, что при прямом раздражении нейронов имеет место транссиналическое возбуждение. Наряду с этим, не исключена возможность, что редко возникающий третий компонент в инсхолящей фазе негативного

потенциала обусловлен следоными изменениями, которые, вероятно, имеют место вслед за потенциалом действия в некоторых нейронах РЯПМ [12]. Возможен гакже и другой механизм с активацией проекционных мосто-мозжечковых нейронов с медленнопроводящими аксона-

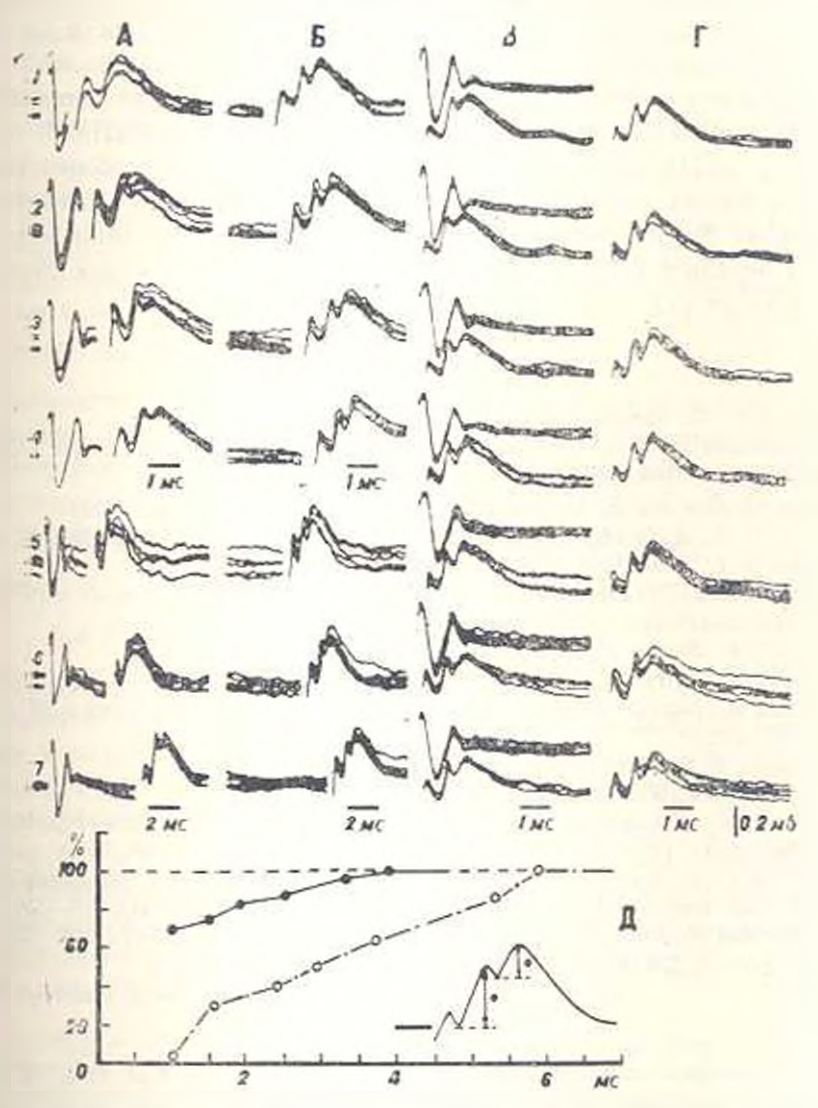


Рис. 5. Динамика изменения возбудимости нейронов РЯПМ, вовлекаемых а кортико-мозжечковую передачу нутем сочетанного раздражения пирамидного тракта и РЯПМ А и В наиссение обусловливающего стимула на пирамидный тракт и испытательного на РЯПМ; В и Г—соответствующие контрольные записи на раздражение РЯПМ без предыдущего обусловливающего раздражения; Д кривая зависимости величии быстрого (сплошная линия) и медленного (пунктиризи линия) компонентов испытательного ответа от межстимульного интервала. Графически показан способ вычисления амплитуды зарегистрированных компонентов ответа. По оси абсиисс—межстимульный интервал и ме, по оси ординат—процентное выражение величины испытательного ответа. Во всех случаях потенциалы зарегистрированы при наложения 5—40 пробегоя луча с частотой 1—5 с. Использовался усилитель постоянного тока,

ми. Проведенные эксперименты показали, что нанесение обусловливающего стимула на ПТ и испытательного на РЯПМ вызывает отчетливое подавление второго компонента непытательного отнега, особенно при коротких межнипульсных интервалах. Следует полагать, что последнее является результатом окклюзионного взаимодействия стимулов на уровие моста. Для строгого подтверждения возможности опосредования нейронами РЯПМ корковых сигналов в моэжечок необходимо применение обратной последовательности раздражения исследуемых структур. Нанесение обусловливающего стимула на РЯПМ и испытательного на ПТ показало высокую чувствительность, особенно первого компонента, на гакую последовательность раздражения. Совокупность указанных фактов говорит о том, что нейроны РЯПМ принимают участие в передаче корковых командных сигналов в мозжечок через его среднюю ножку.

#### ЛИТЕРАТУРА

- 1. Косоян О. П. Бантикин А. О. Физиолог, журн, СССР (в печати).
- Фанарджян В. В., Бантикян Л. О., Косоян О. П. Физиолог жури. СССР, 72, 12, 1593—1601, 1986.
- 3. Allen G. L. Korn H., Oshima T. Exp. Brain Res., 24, 1, 1-15, 1975.
- 1. Allen G. J., Kurn H., Oshima T., Toyama K. Ibid, 24, 1, 15 -36 1975.
- 5. Atten ii. Tsukahara N. Physiol, Rev., 51, 1, 957-1006, 1974.
- 6. Berman A. L. The Brain Stem of the Cat. A Cytoarchitectonic Atlas with Stereotaxic coordinates. Medison, Milwaukee, 1968.
- 7. Brodal A., Brodal P. Exp. Brain Res., 13, 1, 90-110, 1971.
- 8. Brodal A., Jansen J. J. Comp. Neurol., 84, 4, 31-118, 1946.1
- Brodal A., Lacerda A. M., Destombes J., Angaut P. Exp. Brain Res., 16, 2, 140

  160, 1972.
- 10. Edvards B. J. Comp. Neurol., 161, 3, 341-358, 1975.
- 11. Gerrit H. M., Woogd J. Neurosci. Lett., 1, 145, 1978.
- 12. Kitai S. T., Kocsis J. D., Kiyohara T. Exp. Brain Res., 24, 3, 295 309, 1976.
- 13. Maekawa K., Takeda T., Kimura M Brain Res., 210, 1, 17-30, 1981.
- 14. Oshima T. In Cerebro cerebellar Interactions. (Ed. J. Massion, K. Sasaki. Amsterdam, New York: Oxford, North-Holland Biomedical Press, 125-139, 1979.
- 15. Tsukahara N., Bando T., Murakami F., Oda Y. Brain Res., 274, 2, 249-259, 1983.
- 16. Zangger R., Schultz W. Neurosciens Lett., 7, 1, 95-99, 1978.

Поступило 4.V 1987 г.

Биолог. ж. Армении, г. 41, № 3, 1988

УДК 574, 578,574,963.3

## АДФ-РИБОЗИЛИРОВАНИЕ МЕМБРАННЫХ БЕЛКОВ СИНАПТОСОМ МОЗГА БЕЛЫХ КРЫС

#### A. A. BAPTAHIIH

Институт биохимии АП АрмССР, Ереван

Впервые приводится количественная характеристика АДФРТ в субклеточных фракциях синаптосом головного мозга белых крыс. Уровень АДФРТ, локализованной в плазматических мембранах синаптосом, возрастает и ряду: головной мозг, мозжечок, ствол мозга. Проведена дискриминации ферментативной активности от незизиматического АДФ-рибозилирования,

Сокращения: АДФРТ—(АДФ-рибозо) трансфераза, НАЛ——инкотинамил-адениндипуклеотид. характерного для плазматических и митохондриальных мембран. Кажущееся значение К<sub>м</sub> фермента равнялось 10 мкМ.

Առաջին անգամ արվել է սպիտակ առևնտների գլխուղեղի սինապատառմների ենվա-Հրակցիաներում ԱԵՖՈՏ թանակական բնուկադիրը։

Պարզվել է, որ տիճապառոսոմային մեմբրանի ԱԵՖՌՏ-ի ակտիվությունը ուժեդանում է հետևյայ չարբում. գլխուղեղ, ուղեղիկ, ցողուն։ Կատարվել է նաև ֆերմենտատիվ ակտիվության տարբերակում ոչ ֆերմենտատիվ ԱՍՖ-ոիբոզիլացումից՝ բնորոշ պլազմատիկ և միտորոնդրիուլ Բաղանքներին։ km ֆերմենտի թվացող արձերը համասար է 10 մեՄ։

The quantitative characterization of ADPAT in subcellular fraction of synaptosomes of white rats brain is realized for the first time. ADPRT, localized in synaptosome me abrane, increases in this succession; cerebrum, cerobellum, brain stem. The discrimination of enzymatic activity from non-enzymatic ADP—ribosylation, characteristic of plasmane and mitochondrial membranes is made. The seeming importance of enzyme Km is equal to 10 mkM.

Синаптосомы мозго-АЛФРТ-константа Михаилиса.

Модификация ключевых белков АДФРТ считается одним из способов регуляции клегочного метаболизма. И с этой точки зрения АДФ-рибозилирование можно сравинть с фосфорилированием белков. АДФРТ катализирует вытеснение инкотинамида из НАД и образование Онли N-гликозидной связи с белком по следующей схеме:

**белок**—XH 
$$+$$
 nHAД → n никотинамид + белок—X— [(АДФ-рибоза)] п где X = 0, N,  $n = 1 \cdots 100$ 

Образующиеся пролукты могут содержать как моно-, так одиго- и поди-АДФР-остатки [11]. Различают следующие типы АДФРТ: ядерные моно- и поли (АДФ-рибозо) трансферазы, шитоплазматические моно- и поли (АДФ-рибозо) трансферазы, мембранная моно (АДФ-рибозо) трансфераза [14]. И если поли (АДФ-рибозо) трансферазная активность показана почти во всех эукариотических ядрах [13], то сведения о моно-(АДФ-рибозо) трансферазе из плазматических мембран пока еще едишичные [6, 15]. В связи с этим целью настоящей работы явилось выявление некоторых характеристик АДФРТ мембран нервных окончаний мозга белых крыс.

Материил и методика. Синаптосомы молга белых крыс получали по методу Ханош [3]. Лизис синаптосом проводили гичотовическим шоком. Фракции мембран синаптосом получали из лизата центрифугированием при 25000 g в течение 30 мин. Синаптические мембрані были очищены промыванием 100-кратиным объемом буфера Трис. НСІ, р14 7,04, с последующим центрифугированием при 25000 ⋉ g в течение 30 минут.

Активность АДФРТ определяли по рашее описанной методике с незначительными язменениями [8] Белок определяли по Лоури [9]

Результаты и обсуждение. Обнаружение субстратов, модифицирующихся холерным токсином, и эндогенной АДФРТ в холинергических нервиых окончаниях Тогредо [8], эндогенной АДФРТ плазматических мембран клеток мозга крупного рогатого скота и белых крыс [2, 5], клеток нервного происхождения—РС-12 [1] позволило сформулировать проблему изучения свойств этой ферментной системы в синаптосомах мозга. Первые результаты, полученные при инкубации [14С-адении]

No. American I ..

НАД с лизированными синаптосомами, указывали на включение [14С-] АДФ-рибозных остатков в ТХУ-нерастворимые белки синаптосом (рис. 1). Как видно из рисунка, скорость включения [14-С-адении] НАД+ в белки имеет тенденцию к росту на начальных этапах реакции, и далее принимает обычный характер, снижаясь со временсм вместе с уменьшением концентрации эплогенных субстратов в реакционной смеси (в качестве контроля мы использовали [14С-карбонил] НАД.

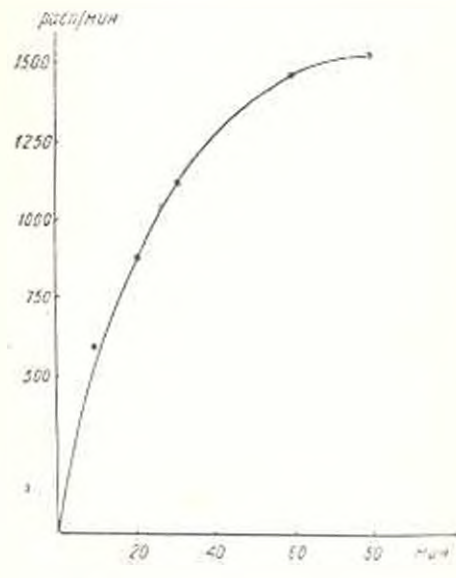


Рис. 1. Занисимость включения <sup>14</sup>С-АДФрибозных остатков в ТХУ-нерастворимые белки лизированных синаптосом молга белых крыс от времени Инкубационная смесь содержала в 100 мкл 0,1 мкКюри <sup>14</sup>С-ПАД+, 100 мкл белка в буфере, указавном в тексте.

На следующем этапе исследований нами была определена компартментализация АДФ-рибозилированных белков.

Как следует из табл. 1, АДФ-рибозные остатки перепосится в основном на мембранные белки синаптосом и несколько меньше на митохондриальные. Тот факт, что включение [11C-адении] НАД происхо-

Таблица 1 Уровень АДФРТ (пмоль/мг белка) в субклеточных фракциях лизированных синавтосом. Инкубанионная смесь содержала в 100 мкл 0,1 мкКюри [14С-адении] НАД , 1100 мкг белка в буфере, указанном в «Методике»

Фракции	Единица активности АДФРТ•	Специд ическая актив- ность, ямоль, иг белка
Гомогенат	3.6	360
Мембраны	2.2	220
Митолонарин	0 23	23
Цигозоль	0.05	5
Контроль**	0.06	б

<sup>\*</sup> За единицу активности АДФРТ принциали такое его количество, которое катализирует включение 100 пмоль АДФ-рибозных остатков в ТХУ-нерастворимые белки синантосом при 22° в течение 20 минут

дит исключительно в нартикулярных фракциях и отсутствует в цитозоле лизированных синаптосом, указывает на связанность с мембраной как фермента, так и его субстратов.

<sup>\*\*</sup> В качестве контроля использовали [ВС-карбонил]НАД :

Для того, чтобы выяснить, как распределяется АДФРТ в разных отделах мозга, была проведена серия экспериментов, содержание которых представлено в табл. 2.

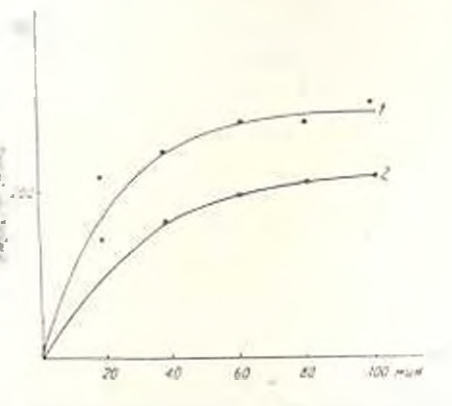
Таблина 2. Уровень АДФРТ (имоль мі белка) в разных отделах мозта (условия те же).

ХУ — нерастворимые белки сипаптосом	Специ раческая актив- ность, имоль иг белка	Относительная активность
Геловной мозг	80	1
Мозжечок	134	1 7

Полученные данные указывают на го, что максимальным акцептором АДФ-рибозных остатков являются белки синантосом ствола мозга.

Следующей и, пожалуй, самой сложной задачей янилась дискриминация эндогенного ферментативного АДФ-рибозилирования мембраиных белков от неэнзиматического, впервые описанного Куном [7]. Сущность цеэнзиматического АДФ-рибозилирования заключается и следующем: вследствие гидролиза НАД НАДазой образуется свободная
АДФ-рибоза, которая очень быстро реагирует с некоторыми полинентидами плазматических и митохондриальных мембран с образованием
оснований Шиффа. Несмотря на то, что имеющиеся в литературе данные подтверждают зидогенное энзиматическое АДФ-рибозилирование
в выбранных нами условиях [4, 12], мы все же сочля необходимым
экспериментальное исключение незизиматического АДФ-рибозилирования. Попытки подобрать инсибиторы ПАДазы, которые не затрагивали
бы (АДФ-рибозо) трансферазной активности, не увенчались успехом,
и мы решили эту проблему добавлением в инкубационную смесь ПАДтрегенерирующую систему, т. е. АТФ [10]. Предварительно была про-

Рис. 2. Зависимость включения 1 С-АДФрибозных остатков в ТХУ-нерастворимые белки мембран синаптосом могга белых крыс о времени. Пикубанконная смесь с. асержала в 100 мкл 0,075 мкКюри [14Садения] НАД1, 0,05 мМ НАД1, 100 мкг з белка в буфере, указанном в тексте (2), и 0,05 мМ АТФ (1)



ведена серия экспериментов, целью которых явилось качественное и количественное определение включения [п-32P]—АТФ в ТХУ-нерастворимые белки синантосом мозга в условиях ингибирования фосфорилирования и подбор оптимальных условий для протекания этого процесса (данные не приводятся). На рис. 2 представлены результаты изучения

изменения готального уровия АДФ-рибозилированных белков мембран синантосом в зависимости от присутствия в инкубационной смеси АТФ. Видно, что включение [14С-адении] НАД- в кислото-перастворимые белки катализируется все же АДФРТ, а не НАДазой, в противном случае не наблюдалось бы наменение тотального уровия АДФ-рибозилированных белков.

Кажущееся значение  $K_M$  этого фермента, вычисленное в диапазоне концентраций НАД от 5 до 100 мкМ, равнялось 10±2 мкМ, что хорошо согласуется с литературными данными об аргинию-специфичном ферменте. Таким образом, выявлены некоторые характеристики АДФРТ из плазматических мембран нервных клеток. Обсуждаются нозможные аспекты физиологического значения этого фермента в мембранах синаптосом мозга белых крыс.

#### ЛИТЕРАТУРА

- Кондратьев А. Я., Алахов В. Ю., Мовсесян В. А., Черный А. А., Каминир А. Б., Северин Е. С. Биоорг, химин, 12, 6, 736—740, 1986.
- Фоменко А. И., Халмуратов А. Г., Степиненко С. П., Помарун С. В. Биол. мембраны, 3, 2, 124—128, 1986
- 3. Hajos F Brain Res., 93, 485-489, 197 .
- Hitz H., Koch R., Fanick W., Klarpoth K., Adamietz P. Proc. N. H. Acad, Sci. USA, 81, 3929-3933, 1984.
- 5. Haff R., Neer E. I. J. Biol. Chem., 261, 1105-1110, 1936
- 6. Katada T., U. M. J. Biol. Chem., 257, 7210-7216, 1982.
- 7. Kun E., Kirsten E., Piper W. N. Method Enzymol., 55, 117-118 1979.
- Lester H. A., Steer M. L., Michaelson D. M. J. of Neurochem., 98, 1080-1086 1982.
- Lowry O. H., Rosenbrough N. I., Fact A. L., Randall R. I. J. Biol. Chem., 193, 265-275, 1951.
- Mass I. West R E. Osborne I., Levin L. ADP- Ribosylation of Proteins\* Ed. Althaus F. K., Hillz H. Springer Verlag, Berlin 512- 17 1985.
- 11. Papenheimer A. A. Annual Rev. Blo hem., 16, 69-94, 1977.
- Richter C., Winterhalter K., Baumhuter S., Lotser H., Moser B. Proc. Natl. Acad. Sci. USA 81, 3929-1983.
- 13. Scovassi A., Stanley S. I. Eur. J. Biochem. 159, 77-84, 1986.
- 14 Ueda K., Hayaisht O. Annual. Rev. Biothem., 54, 73-100, 1985.
- 15. Yost D. A., Moss I. A. Blot. Chem., 258, 4926-1929, 1983.

Поступило 10.ХП 1987 г.

## ДИНАМИЧЕСКИИ КОНТРОЛЬ СЕНСОРНЫХ РЕАКЦИИ В ПОДКОРКОВЫХ НЕСПЕЦИФИЧЕСКИХ СТРУКТУРАХ МОЗГА КРЫС

И. А. ЖУРАВИИ, Б. Ф. ГОЛКУНОВ

Институт эволюционной физиологии и биохимии им. И. М. Сеченова АН СССР, Ленипград

В острых опытах на ненаркотизированных крысах при одновременной ретистрации вызванных потенциалов и стриктуме, неспецифических ядрах таламуса и ретикулярной формации продолговитого мозга установлено, что активация или подавление проекционной коры в области определенното сенсорного представительства приводит к облегчению или подавлению соответствующей сенсорной реакции и подкорковых структурах. Вышеуказанные эффекты более значительны в стриатуме, чем и таламусе, и значительно слабее в ретикулярной формации. Таким образом, установлен факт дифференцированного лицамического контроля коры на различные уровни подкорки.

Սուր փորձերում չանդգալացված առնետների մոտ, զոլավոր մարժնից, տեսողական բրգի ոչ մենահատուկ կորիզներից և երկարտվուն ուղեղի ցանցանման զոլացուիկունից միամամանակ դրառված հրահրված պոտննցիանների օդնուիկամը ուսումնասիրակն է համապատասխան դգացողական ռեակցիաննին ակտիվացումը կամ ճնչումը, գլխուղեղի կեղևի որոշակի դգացողական արոյեկցիոն մարզերի հնչման կամ ակարկացման հետևանրով, Կեղևոլին վերոհիչյալ ազդեցություններն ավելի լավ են արտահայտված դոլավոր մարմնի վրա՝ տեսարների համեմատ և առավել նվազ՝ ցանարանան դոլացության վրա։ Այսպիսով, ապացուցվում է կեղևի դինամիկ, տարերանկար ադղեցության փառաը ենիակեղևային տարբեր մակարդակների վրա.

In acute experiments in unrestrained rats by the method of simultaneous recording of evoked potentials from a ratum, thalamic non-specific nuclei and reticular formation of medulia oblongata, depression of activation of corresponding sensory reactions has been shown due to the activation or depression of definite cortical sensory projection areas. Above mentioned effects are more significant in the stratum than in thalamus and weaker-in reticular formation. Thus, existence of differentiated dynamic cortical control on the different subcortical levels can be suggested.

Моэг головкои-подкорковые неспецифические структуры-сенсорные реакции.

Известно, что любая текущая деятельность мозга связана с реализацией мозанки функциональных состояний различных зон коры. Особый интерес в этом плане представляет взаимодействие коры и подкорковых НС, где имеет место обширная конвергенция афферентных потоков сигналов и слабая дифференцированность наблюдаемых реакций. Ранее нами было устаноялено, что кортикофугальные влияния из соматосенсорной области коры могут менять условия конвергенции афферентных потоков в НС и формировать и илу сенсорно специализированные реак-

Сокращення: НС—неспенифические структуры: СТ—стриатум, СЦТ средняный центр таламуса; РФ—регикулярная формация; ПО—первичный ответ; ВП вызванный потенциал; ВМА—время максимальной амилитуды.

ции [2—5]. При этом в разных отделах НС мозга крые и обезьян при односторонием локальном воздействии на кору наблюдались билатеральные изменения сенсорных реакций [4, 5]. В то же время известно, что кортикофугальные пути в основной своей массе направлены в инсилатеральный стриатум и галамус [6].

Данная работа была предпринята с целью изучения коркового контроля соматических реакций, регистрируемых и симметричных точках полушарий мозга одновременно в НС разного уровня: в СТ, СЦТ и РФ.

Авагериал и методика. Опыты проведены на 30 белых крысах массой 150—250 г Еврургическая подготовка животных и установка на кору мозга охлаждающей кансулы провольниеь как в предыдущих работах [2]. Кансулу устанавливали в соматосенсорной области СІ над фокусом ПО на стимуляцию контралатеральной передней ланы крысы. Электрокожную стимуляцию передних конечностей крысы производили поочередно через 1,26 сек надпороговыми (в 1,5 раза выше) примоугольными толиками тока (0,5—2 мА, длительность—0,5 мс) черсэ игольчатые мсталлические электроды. ВП из симметричных точек СТ. СЦТ и РФ отводили при помощи стеклянных микропиветок с днамстром кончика 4—10 мкм, заполненных 4-м-ным проционовым красным ПО и ВП параллельно накаплинали в разных секциях памяти анализатора Ф-37. Местоположение кончика электрода, введенного по стереотаксическим координатам, контролировали на гистологических срезах.

Результаты а обсуждение. Электрокожное раздражение передней даны крысы вызывало во всех ядрах однотинные ответы амплитудой 25 200 мкВ. Основному отрицательному колебанию ВМА от 40-60 мс в РФ до 70-80 см в СТ вредшествовал негативно-позитивный комплекс. ВМА положительной волны которого находилось в пределах 30 мс. При глубоком пхлаждении коры до стадии подавления ПО, ВП в ответ на стимуляиню контралатеральной конечности во всех подкорковых структурах всегда уменьшались вплоть до полного подавления. ВП в ответ на раздражение инсилатеральной лапы, если и менялись, то лишь и небольшой степени. Применение менее глубокого холода вызывало облегчение и расширение ПО на раздражение контралатеральной конечности. При этом в НС обоих полушарий происходило также облегчение и расширение воли ВП, регистрируемых в ответ на стимуляцию этой же лапы крысы (рис. 1, б. в). В таламусе увеличение и сдвиг ВП был значительпо больше, чем в РФ Одновременно регистрируемые ВП в ответ на стимуляцию ланы, висилатеральной зоне охлаждения (представительство которой в коре осталось интактиым), менялись незначительно и симметрично в обоях полушариях. На рис. 2 видно, что в направлении от РФ к СТ происходит увеличение степени облегчения ВП в ответ на раздражение лапы, представительство которой в коре охлаждается. ВН в ответ на стимуляцию другой консчиости, регистрируемые в то же самое время, облегчения не испытывали. Их амилитуда могла даже несколько уменьшаться равномерно по всем структурам.

У крыс с предварительно перерезанным мозолистым гелом в передней его трети также наблюдалось облегчение ВП на раздражение контралатеральной ланы. Однако различня в степени облегчения на разных уровнях НС не носили столь закономерного характера, как у интактных животных. Более существенным отличием охлаждения коры после рассечения мозолистого гела было резкое надение амплитуды ВП в СПТ в ответ на стимуляцию инсилатеральной дапы крысы

Представленный экспериментальный материал показывает, что облегчающие кортикофугальные влияния могут быть дифференцированы НС мозга. Однако этот эффект не наблюдался в аналогичных опытах,

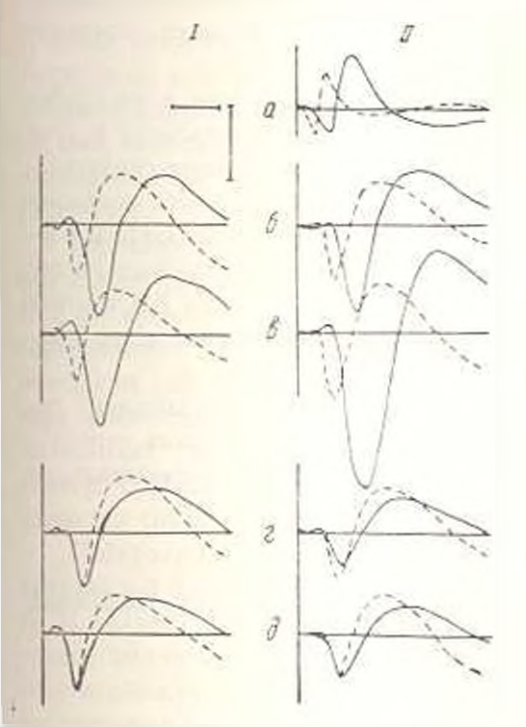


Рис. 1. Вызванные потенциалы исспенифических лодкорковых структур левого (1) и правого (11) полушарий мозса крысы при локальном охлаждении в СІ фокуса первичного отнега на электрокожное раздражелевой конечности. Исходиве ВП-пунктирная линия, при охложлении сплошная; а--110 под охлажвающей капсулой, установленной на правой коре; б. 1-ВП в ретикулярпой формации; и, д-в неспенифических дарах таламуса в отнет ни стимуляцию левой (б. н) и правой (г. д) лап крысы Масштаб. 40 мс, для ПО-2 мВ, для ВП-25 мкВ.

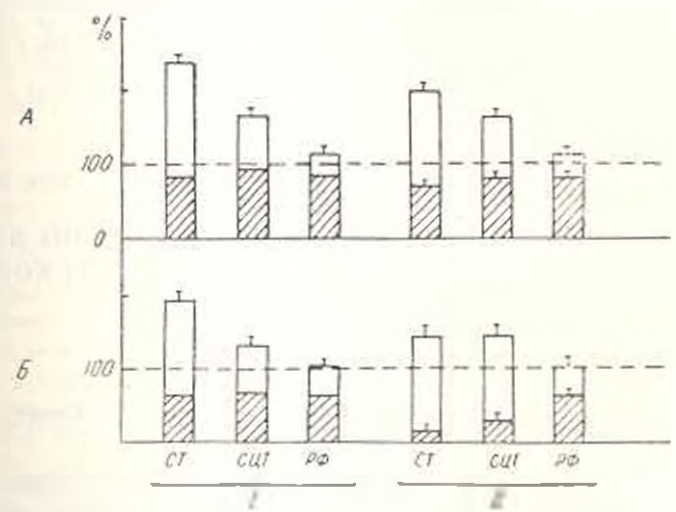


Рис. 2. Изменение амплитулы вызванных потенциалов в левом (1) и правом (11) полушариях моэга при охлаждении фокуса первичного отнета в С1 на интактной крысе (А) и крысе с перерезанным моэолистым телом (Б). 100%-кая псходиня амплитула ВП. Общая высога столбца—% изменения амплитуды ВП в ответ на стимулянию ланы, контралатеральной зоне охлаждения; зашарихована амплитуда ВП в ответ на стимулянию инсилатеральной ланы.

когда охлаждение производили до стадии угнетения ПО. При выключении зоны корковой проскции применяемого стимула, наоборот, обращает на себя внимание одинаковая степень билатеральных изменений ВП в РФ, СЦТ и СТ. Очевидно, различия в эффектах, наблюдаемых при полном и частичном нарушении переключения сенсорного сигиала в коре обусловлены тем, что при блоке проведения через кору кортикофугальный сигнал отсутствует и реакции в НС всех уровней определяются славным образом восходящим полоком импульсов.

Поверхностное охлаждение коры активирует нейроны и се глубоких слоях [1]. Следовательно, кортикофугальная импульсация в этих условиях сохраняется, хотя и наменена. Полученные данные свидетельствуют о том, что такого рода нарушение кортикофугального контроля меняет ВП главным образом и СПТ и СТ. О более эффективном кортикофугальном контроле сенсорных реакций и более рострально расположенных ПС мозга говорят также особенности угистения ВП и ответ на раздражение конечности, инсилатеральной охлаждаемой коре, выявившиеся после рассечения мозолистого тела.

Установленные факты демонстрируют особенности организации динамического контроля сенсорных реакций в неспецифических структурах мозга, осуществляемого корковыми центрами и соответствии со сложившимися в них функциональными отношениями.

#### ЛИТЕРАТУРА

- 1. Дуринян Р. А., Рабин А. Г. В кп., Корковая регуляция подкорковых образования головного мозга, 242—260, Тбилиси, 1968.
- 2. Журавин И. А. и др. Нейрофилиология, 13, 32-38, 1981.
- 3. Журавин И. А. и др. Пейрофизиология, 15, 42-49, 1983
- 4. Оганесян Г. А. Автореф канд. дисс., Л., 1973.
- 5. Толкунов Б. Ф. Стриатум и сенсорная специализация нейровной сети. 176, И., 1978.
- 6. Carman J. B. et al. J. Neurol., Neurosurg. Psychiat., 28, 71-77, 1965.

Поступная 14.VII 1987 г.

Биолог, ж. Армении, т. 41, № 3, 1988

УДК 6127 8:61,007

## МЕТОДИКА РАСЧЕТА ПОСТОЯННОЙ ВРЕМЕНИ ПО ДАННЫМ ЧАСТОТНОГО АНАЛИЗА ПОСТСИНАПТИЧЕСКОГО ПОТЕНЦИАЛА

В. Д. БАРСЕГЯН, В. Л. ГОРОДНОВ

Институт физиологии им. Л. А. Орбели АН АрмССР, Ереван

Предлагается методика определения постоянной времени мембраны яейрона по минимуму минмой составляющей амилитудно-частотной характеристики экспериментального нозбуждающего постениаптического потенциала, позволяющая получать более точные значения.

Առա է նել ոնի Թազանքի - Հաստատունի որոշման մեքքողը բատ բնուքագրի հեզձ բաղկացուց է մի ի ումի, որը Թույլ է տայիս ստանալ այրք ար եջներ։ The method is proposed to determine a neurone membrane time constant by the minimum of imaginary component of an experimental stimulant postsynaptic potential's amplitude-frequency characteristics, allowing to receive more exact values.

Внутриклеточная активность—частотноя характеристика—динамическая модель нейрона—постоянная времени.

Помимо прямого метода определения постоянной времени мембраны нейрона по электротопическому изменению потепциала в ответ на стушенчатое изменение подаваемого внутриклеточно тока [6, 9, 10] и ряде случаев используется имеющая несколько модификаций косвенная методика оценки постоянной пременя по затухающей части кривой ПСП [11].

Согласно классическим представлениям, после короткой активной фазы деполяризации ВПСП переходит в фазу нассивной реполяризации, во время которой происходит его электрогоническое затухание, определяемое неключительно пассивными свойствами субсинаптической исибраны [6]. По этой концепции, не учитывающей сложного характера изменения во времени субсинаптического тока, затухание ВПСП происходит по экспоненте с постоянной времени мембраны нервиой клетки. Однако в ряде исследований [10, 11] показан более сложный характер спадающей части ВПСП.

Прекрасным объектом для исследования влияния структурно-функшиональной организации симпатических входов на характер протекания ПСП являются нейроны КЯ, характерной особенностью которых является наличие аксосоматического входа со стороны контралатерального промежуточного ядра мозжечка и аксодендритного ихода со стороны сенсомоторной области инсилатеральной коры головного мозга [7]. В настоящей работе анализ динамики ПСП выполнен на основании результатов внутриклеточного отведения в 12-ти руброспинальных нейронах каудальной части КЯ конки в остром эксперименте.

Митериал и методика. Для отведения электрических потенциалов использовали усилитель постоянного тока с большим входным сопротивлением (более 1 Гом). Усиление потенциалы подавали в многоканальный анализатор NTA-1024, состыкованный через интерфейс NN-7001 с мини-ЭВМ ЕМС-666, для цифрового осциллографирования и усреднения. Усредненные потенциалы (50 наложений) заносили в память системы в дяскретиом виде (512 или 1024 точки на один ПСП). Кроме внутриклеточной активности впалогичным образом регистрировали также экстраклеточный потенциал поля, вогорый затем вычитали из внутриклеточной записи. Это давало возможность использовать для последующей численной обработки «чистын» ПСП. Применение вычислительной системы реального времени NTA-1021—ЕМС-666 позволяло проводить анализ параметров ПСП испосредственно в процессе эксперимента.

Программы пифровой обработки экспериментальных кривых ПСП, составленные из языко ассемблера мини-ЭВМ ЕМС-666 [1], производили вычисления постоянной времени мембраны нейрона двумя путами: обработкой во времениой области; частотим апалилом.

Сокращения: ПСП—посетеннантический потенциал; ВПСП—возбуждающий посенциал; КЯ—красное ядро; АЧХ—амплитудно-частотная характеристика; МЧХ—минмая частотная характеристика; ЛАЧХ—логарифмическая амплитуде ао-частотная характеристика.

Для расчета постоянной временя мембрачы по затухающей часси ВПСП традиционным методом непользоваям следующий алгоритм. Предположим, что на отрезке времени от t, до t<sub>n</sub> (рес. 1. A) ВПСП затухает по экспоненциальному закону

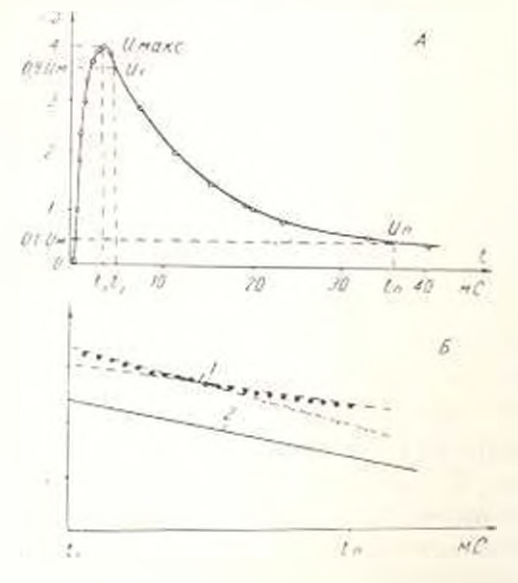


Рис I Пример обработки кривой ВПСП во прежлиной области Аусредненный ВПСП соматического происхождения Кружочками обозначены ненабыточные отсчеты. Спад потенциала анализируется и интервале от до 1, Б-построенные в полулогарифмически: координатах дискретиме дначения Int (1) и прямая У А+Вt (2), рассчитанная метолом регрессии

$$U(t) = U_0 e^{-\frac{t}{T}}$$

можно определить T. Пусть  $y(t) = \ln U(t)$ . Тогда

$$Y\left(t\right)=\text{In }U_{0}=\frac{t}{T}-A+Bt.$$

По дискретным отсчетам  $Y_{i+1} = Y(t_i + (\Delta t), \text{ где } \Delta t = (t_n + t_n) N$ , методом регреспоиного анализа [2] определяли коэффициенты A и B и, соответственно, постоянную времени  $\Gamma$ .

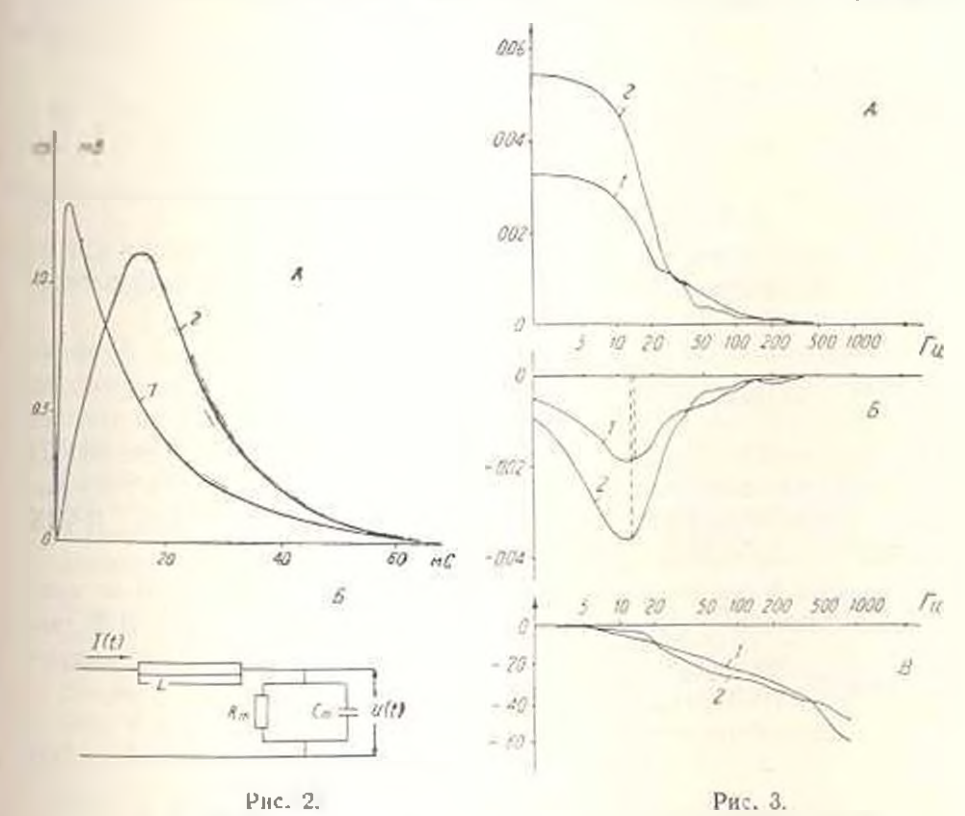
Расчет частотных характеристик ПСП проводили в два этапа, резличующих следующие численные алгоритмы: сокращение избыточности исходных данных; расчет импульсных преобразований Фурье прямыми методами

Сокращение избыточности выполняли помехоустойчивым регрессионным методом адаптивного сжатия данных [4]. В результате реализации этого этапа обриботки исходные кривые аспрожениировали кусочно-линейной линией, сопрягающейся в точках, соответствующих исизбыточным отечетам. По аппрожениирующей функции строится алгоритм расчета косинус- и сипус-преобразований Фурье [3], обеспечивающий приближенные яначения частотных характеристик ВПСП.

По полученным кривым частотных характеристик постоянную временя определяли пвумя вариантами. По графику логарифмической амилитудно-частотной характеристики определяли частоту излома характеристики определяли частоту излома характеристики определяли частотной характеристики находится частотя от при которой функция достигает своего минимума. По значениям ос и определяли величину постоянной времени Т [5].

Результаты и обсуждение. Внутриклеточные записи ВПСП соматического (1) и дендритного (2) происхождения из одного и того же нейрона красного ядра кошки представлены на рис. 2 А., из которого видно, что у первой кривой фаза нарастания (время от начала до максимума) значительно меньше, чем у пторой (2,4 и 15,2 меск соответствен-

по). Вычисление постоянной времени мембраны по этим кривым во пременной области методом регрессии дает разные значения для соматического и дендритного ВПСП (13 и 9,6 мсек соответствению), что объясняется их различным течением во времени. На рис. 1, 6 приведен



Ряс. 2. А—Возбуждающие постсинаптические потенциалы соматического (1) и дендритного (2) происхождения; Б—упрощенная молель нейрона по Роллу.

Рис. 3. Частотные характеристики сомятического (1) и депдритного (2) ВПСП, приведенных на рис. 2 А А—АЧХ, Б—МЧХ.

график функции Y=InU (1) и прямая Y=A+B1 (2), полученная методом регрессии. Как видно из рисунков, наклоны прямых, определяющие постоянную времени Т [9], существенно отличаются друг от друга.

Результаты частотного анализа рассматриваемых кривых ВПСИ представлены на рис. З в виде частотных характеристик—АЧХ, МЧХ и ЛАЧХ (рис. З А. Б. В). Для интерпретации полученных данных обратимся к динамической модели нейрона по Роллу в модификации, представленной на рис. 2 Б [3]. Мембрана тела клетки представлена R-C ценочкой и может рассматриваться как апериодическое звено перного порядка, передаточную частотную характеристику которого можно задать выражением

$$Z(j_n) = \frac{R_n}{1 + j_n \Gamma_n}$$
 (1)

где R<sub>м</sub>—сопротивление мембраны сомы. Т ч — постоянная времени мсмбраны сомы. Дендригные структуры, по которым синаптическое воздействие передается от субсинантической зоны к соме, представлены эквивалентным кабелем длиной L. Для аксо-сомитического входа L 0. Следовательно, комплексный спектр ВИСП може. быть задан как

$$U([\omega) = a([\omega), I([\omega)], \tag{2})$$

где 1(то) — комплексный спектр субсинантического токсо-Комплексный спектр ВПСП, соответствующего аксо-лендрота му входу (L≠0), имеет вил:

$$U_{A} = \frac{Z_{B} - Z_{B}}{[Z_{A}] \circ - Z_{B} \circ \text{th} \gamma L \cdot \text{sh} \sim L} \circ \overline{\text{th}} (J_{A}), \qquad (3)$$

где Z п у—характеристическое сопротивление и коэффициент распространения эквивалентного кабеля соответственно.

Логарифмическая амплитулно-частотная характері става функции (1) может быть є хорошей точностью представлена двуми отрезками, сопрягающимися на частоте  $\omega_c = 1$ Т (излом характеристини систавляет 20 дб на декаду). По рис. З В видно, что излом ЛАЧХ обоих ВПСП приблизительно совпадает, однако надежное определен те  $\omega_c$ , а следовательно, и постоянной времени Т по экспериментальной кривой ЛАЧХ пызывает определенные трудности.

Намного более точно этот нараметр может быть вычислен по мнимой составляющей амелитулно-частотной характеристики. Действительно, для апериолического звена первого порядка минмая составляющая АЧХ на частоте од имеет экстремальное значение:

$$V(\omega) \frac{K\omega T}{1 + \omega^2 T^2} = -\frac{K}{2}$$
 (4)

Найдя  $\omega_{\rm M}$ , при которой функция (4) проходит через свои минимум, можно определить постоянную времени звена T=1  $\omega_{\rm G}$ . На рис. З E наглядно показано, что графики минимых составляющих АЧХ для соматического (1) и дендритного (2) ВПСП достигают своего миним ма дочти одновременно, тогда как частоты налома ЛАЧХ обоях ВПСП друдно определить одновначно.

Таким образом, предлагаемая методика определения постоянной времени мембраны по минимуму мнимой составляющей АЧХ экспериментального ВПСП поэволяет получить однозначный результат, менсе подверженный влиянию субъективных факторов.

#### ЛИТЕРАТУРА

- 1. Арешян Т. Г., Барсегин В. Д., Чунайвицер Е. Б., Чобанян А. С. Виолог ж. Армении, 39, 9, 747—752, 1986.
- Афифа Д. Эн ен С. Стати писский анализ, Подход с использованием ЭВМ. М. 1982.
- 3. Мелконян Д. С. Пер золиме процессы в нейродных системах. Ереван, 1987
- 4. Мелконян Л. С., Арешян Т. Г. Пав. АН Арм. ССР, сер. техн. наук. 38, 5, 1985
- 5. Такер Г. К., Ушлас Д. М. Упрошениме методы внадиза систем автоматическогорегулирования. М., 1963.

- 6. Combs J. Curtis D. R., Eccles J. C. J. Physiol., 145, 3, 545-528, 1959.
- 7. Panardjian V. V., Gorodnov V. L. Neurosci, lett., 45, 269 -27", 1983.
- 8. Gorman A. L. F., Mirolli M. J. Physiol., 227, 1, 35-49, 1972.
- 9. Lux H. D., Pollen D. A. . Neurophysiol, 29, 2, 2)7-220, 1966.
- 10. Tsukahar N. Murukami F., Huliborn II. Exp. Brain Res., 29, 19-64, 1970.
- 11. Tsukaharu N., Toyamu Kosaku K. Esp. Brain Res., 4, 18-33, 1967.

Поступило 7.IV 1987 г.

Виолог. ж. Армении, т. 41, № 3, 1988

УЛК 612.822.3

## ТРАНСКАЛЛОЗАЛЬНЫЕ ИМПУЛЬСНЫЕ РЕАКЦИИ НЕИРОНОВ ТЕМЕННОЙ АССОЦИАТИВНОЙ КОРЫ КОШКИ

#### Э. Г. АСТВАЦАТРЯЦ

Институт физиологии им Л. А. Орбели АН АрмССР, Ереван

Показано, что наплозальные нейроны располагаются в словх I—VI, несколько преобладая в слоях IV—V. Средняя скорость аксонного проведении этих нейронов 5.7 м/с. Постеннаптические импульсные разкими регистрируются в слоях I—VI. Максимальная плотность нейронов с такими реакциями обнаружена в слое IV.

է արված, որ կայոզայ բջիջները տեղաբաշիմված են I—YI շերտերում.
որոշ զարակչառվիյամբ 4—5-րդ շերտերում։ Կայոզայ բջիջների ակսոնային հավորդականումյան ժիջին արագությունը կազմում է 5,7 մ/վրկ (1,9 մ/վրկ—16,3 Հետաինապակն իմարույին ռեակցիաները գրանցվել են 1 6-րդ շերտերում։ Այդ պիտի ռեակցիաներով օժտված բջիջների մարսիմալ խառաքյունը հայտնարերվել է 4-րդ շերտում։

It has been shown that callosal neurones are distributed in 1-VI layers with some prevalence in IV-V layers. Average speed of axon carrying out of callosal neurones a 5.7 m/s (from 1,9 up to 16.3 m/s). Postsynaptic impulsive reactions have been recorded in 1-VI layers. Maximum density of neurones with such reactions has been discovered in IV layer.

Кора теменная-каллозальный нейрон-импульския реакция.

Имеющиеся в литературе сведения о локализации тел каллозальных непропов в различных слоях коры [2, 5, 9], послойном распределении их аксониых терминалей [1, 7] разпоречивы. Малочисленны данные о функциональных свойствах нейронов каллозальной системы [3, 6, 13].

В настоящей работе приводятся результаты изучения послойного распределения антидромных и постоинаптических импульсных реакция нейронов передней и средней супрасильниевой извилины, вызванны раздражением гомотопических участков коры контралатерального полушария.

Материал и методика. Эксперименты проведены на вирослых беспородных кошчах, внестезированных внутрибрюшиниым введением хлораловы (30—40 мг/кг) или шембутала (30—35 мг/кг) и обездвиженных внутримышенным введением литилина (5—

Сокращения: НС-начальный сегмент

10 мг/кг). В части опытов животных анестезировали введением клораловы (30—40 мг/кг) и этанолв (2—3 мл/кг).

Переднюю часть средней и заднюю часть передней супрасильновой извиляным коры левого полушария раздражали биролярия (5 30 B; 0.1—0,3 мс) серебряными шариковыми электродами с межполюсным расстоянием 3 1 мм для визи- и ортодромного возбуждения нейронов гомотопических областей коры правого полушария.

Висклеточную регистрацию импульской активности исйоонов произволили стеклянвыми микроэлектродами— (диаметр кончика 1—2 мкм), каполненными 2 М дигратом калия.

Фоторегистрацию импульеной активности с экрана осимлоскова прономели в режиме строчной записи обычно при 5—10 последовательных предъяшлениях арамоугольных стимулов, гледовавших с частогой 0.25 с. Вызванные разряды относили к антидромиым, если они имели рефрактерный период меньше 2 мс [13, 14]. При анализе данные регистрации глубже 1,9 мм от поверхности коры не рассматривали.

Результаты и обсуждение. В экспериментах была заре истриронана вызванная активность 205 нейронов супрасильвиевой извилины. На рыс. 1 и 2 привелены различные типы ответных импульсных реакний испронов от единичных до длительных пачечных разрядов. Частота разряда достатала 600—700 имп с (рис. 1, 2, 4), что характерио для встаночных нейронов. На рис. 1, 5, 6 приводятся результаты зарного

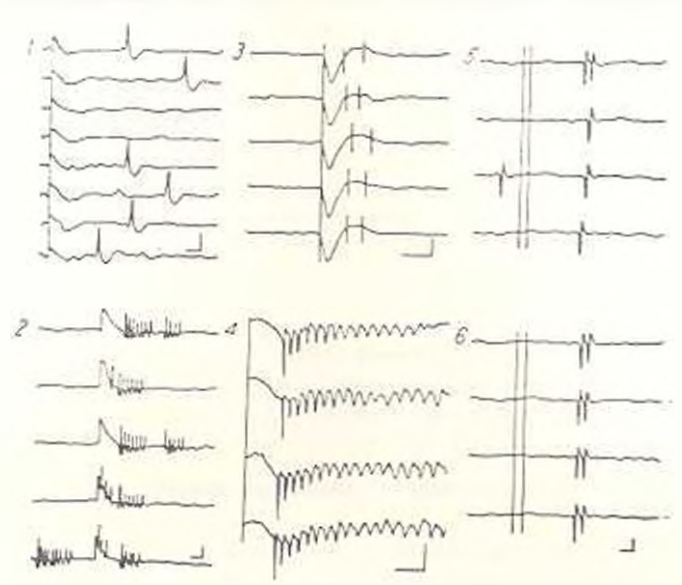
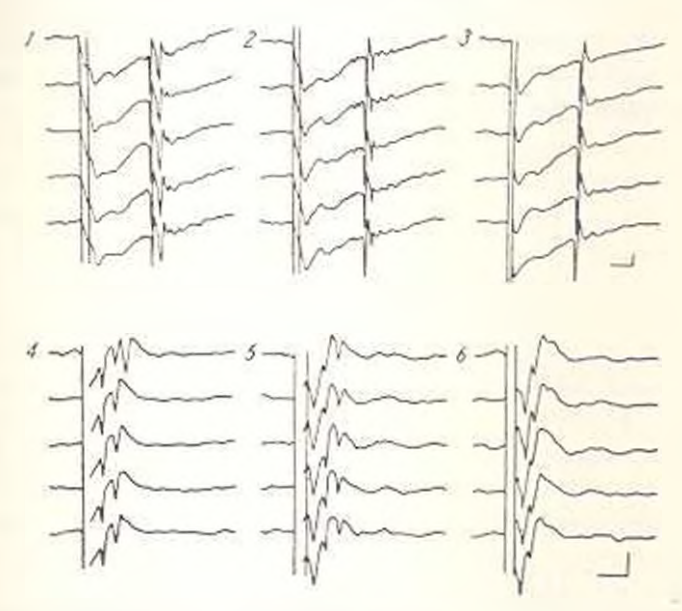


Рис. 1. Вызванные постсинантические импульсные реакции различных нейронов в супрасильниемой извилине. 1—и виде единичного перегулярного импульсв; 2—в виде печеночного разряда; 3—в виде сдвоенных импульсов; 4—в виде длительного начечного разряда; 5—в виде единичного регулярного импульса, интервал между паркыми стимулами 3 мс; 6—то же, но интервал 4 мс. Калибронка—5 мс, 1,0 мв.

тестирования неприна. При интервале 4 ме между стимулами (рис. 1, 6) присутствуют ответы на оба стимула; при интервале 3 мс (рис. 1, 5) ответ на второй стимул регистрируется только при первом предъявлении стимулов. Рефрактерный период этого вейрона меньше 4 мс и больше 3 мс. Транссинантическое происхождение ответа полтверждается отсутствием коллизии (рис. 1, 5, третья запись сверху) между фоновым по-

тенциалом действия и вызванным при интервале между инми меньше двойной величины латентного периода вызванного потенциала лействия [6]. С учетом относительно короткого рефрактерного периода можно предположить, что ответ данного нейрона является моносинантическим. Однако идентификания ортодромных моносинантических связей при электрическом раздражения коры затрудияется из-за возможной синантической активации антидромным импульсом через позвратную коллатераль других нейронов—как вставочных, так и каллозальных. Кроме того, возвратияя коллатераль может образовывать синансы (аутансы) и на дендритах своего нейрона [15]. Примером последовательного антидромного и постсинантического возбуждения одного и того же нейрона может служить вызванный разряд в виде сдвоенных импульсов (рис. 2, 4). Ранний ответ имел рефрактерный период меньше 2 мс, но



Ряс. 2. Антидромные импульсные реакции каллозальных нейронов супрасильвиеной извилины. 1—3. Реакции нейрона на парную стимуляцию с интервалом между стимулами 2,0 мс. 1,5 мс и 1,0 мс; 4—6; реакция другого нейрона на одиночную, парную стимуляцию с интервалом между стимулами 2,0 и 1,5 мс соответствению. Калибровка—5 мс. 1,0 мв

больше 1,5 мс (рис. 2, 5, 6) и поэтому являлся антидромным. Поэдий ответ возникал с задержкой примерно в 2 мс и имел рефрактерный период более 5 мс. Поскольку самые короткие значения латентных периодов антидромного и транссинантическог гответов и наиних экспериментах равиялись 1,6 и 2,4 мс соответственно, то величина синантической задержки примерно равиялась 0,8 мс (при условии, что скорости висонного проведения импульсов и орто- и антидромном направлении существенно не различаются). Учитывая эту величину, следует предположить, что поздний ответ обусловлен дисинантическим возбужденаем каллозального нейрона, возможно, через сною же возвратную коллатераль другого каллозального нейрона. Кроме того, возможно и ортодромное

транссиналтическое возбуждение после антидромного. В другом случае (рис. 1, 3) рефрактерный период ранцего ответа составлял более 5 мс, и поэтому оба ответа являются транссивантическими, обусловленными проведением по путям с разным числом сивантических переключении. Гипичный антидромный ответ показан на рвс. 2 (1, 2, 3). При коротких интервалах между нарными стимулами уменьшался ответ на второй стимул [13], а при интервале 1,5 мс он состоял только из НС компонента (рис. 2, 1, 2). Ангидромные отлелы различных нейронов супрасильниевой извилины возинкали с дэтентными периодами от 1,6-0.15 до  $13.7 \pm 0.2$  мс  $(M \pm \sigma)$ , транесинантические—от  $2.4 \pm 0.3$  до  $45 \pm$ 8,3 мс. При этом с датентным периодом более 30 мс было зарегистрировано всего лишь несколько нейронов. На гистограмме распределения датентных периодов (в том числе и ангидромных ответов) пик приходится на эначения 4 б мс (рис. 3). В наших экспериментах было зарегистрировано мало длиниолагентных антидромных ответов. На гистограмме они составляют вторую подгрупну ангидромных ответов с латентными периодами от  $8.5 \pm 0.5$  до 13.7 = 0.2 мс

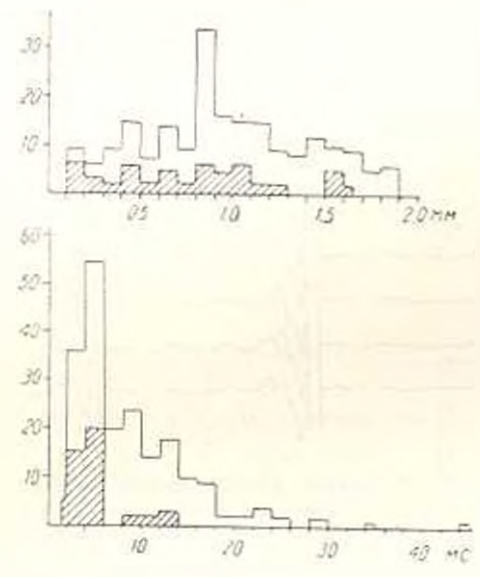


Рис 3. Гистограммы распределения нейроной по поперечинку супрасильвиемой изиплины (сверху) и латентных периодов (вину) их импульсных ответных реакций. По оси ординат—число нейронов, по оси абсцисстлубина залегания нейрона и мм от поверхности коры и латентные периоды и мс соответственно (п-205). Пітрихом выделены гистограммы распределення каллозальных нейронов и латентных периодов их антидромных импульсных ответов (п-50).

Согласно данным измерении [10], расстояние между супрасильвиевыми извилинами обоих полушарий составляет 26 мм. С учетом величии латентных периодов расчетные скорости аксонного проведения каллольдыных нейронов составляют приблизительно 1,9—16,3 мс с преобладанием скоростей проведения 4,3—6,5 м/с. В соответствии с наличием двух подгрупи латентных периодов антидромных ответов можно выделить две подгруппы каллозальных непронов со скоростями аксонного проведения от 4,4 до 16,3 м/с и от 1,9 до 3,1 м/с Средняя скорость аксонного проведения—5,7 м/с. Эти значения больше соответствующих (от десятых долей м/с до 10 м/с), полученных для нейронов сенсомоторной [11], но меньше значений (13,6=2,5 м/с), полученных для нейронов зрительной коры кошек [12]. Более высокие значения скоростей в последнем случае, по-видимому, объясияются исключительно внутриклегочным отведением, при котором преобладают отведения от сравнительно крупных нейронов, имсющих соответствению и более толстые аксоны.

Глубинное распределение пейронов и супрасильниевой извилине, реагировавших импульсными реакциями, показано на рис. 3. Нейроны были зарегистриропаны на глубине 0.1 -1,9 мм от поверхности коры. Пик гистограммы приходится на глубину 0,8-0,9 мм. По средним данным измерений [10], границы слосв супрасильвиевой извилины следующие: слой I-0-194 мкм, слой II-195-530 мкм, слой III-531-785 мкм, слой IV-786-935 мкм, слой V-936-1135 мкм, слой VI-1136-1760 мкм. С учетом этих данных вик систограммы приходится на слой IV. Поскольку такой ник отсутствует на гистограмме распределения нейронов с антидромными ответами, то можно считать, что он обусловлен значительным преобладанием в слос IV нейронов, реагирующих постепнантическими разрядами на орго- и антидромное поступлеше импульсов через мозолистое тело. Кроме того, следует учесть, что гранссинаптическая генерация импульса происходит легче антидромной. Гистограмма распределения нейронов с антидромными ответами характеризуется чередованием участков с большей и меньшей плотностью залегання нейронов. Относительно мало каллозальных нейронов на глубине больше 1,1 мм (слои IVI-V), а на глубине 0,8-1,1 мм (слои IV-V) они несколько преобладают. Следует отметить обнаружение в наших экспериментах каллозальных нейронов и по внутрением поделое слоя I. В морфологических исследованиях на кошках с применением лероксидазы хрена их наличие в слое І отрицалось [2, 5, 9]. Во фронтальной коре крые меченные пероксиданой каллозальные клетки наблюдались и в слос 1 [8]. Кроме того, электрофизиологической антидромной идентификацией в теменной ассоциативной коре кошки показано наличне эфферентных кортико-кортикальных нейронов в слое 1 [4].

### ЛИТЕРАТУРА

- 1. Кавамура К., Макаров Ф. И. Архив внаг., гистол. и эмбриол., 64, 1, 49—56, 1973. 1. Макаров Ф. Н., Казаков В. К. В вид Взаимоозношение полушарий молга. Мателы
- Всесоюзн. конф., 156, Тбилиси, 1982
- 3. Мосидзе В. М. Ж. высш. первн. деят., 35, 1, 25—31, 1985. 4. Напоян Е. В., Фанарджян В. В. Фессол. ж. СССР, 72, 7, 865—873, 1986
- 5. Толченова Г. А. Архив анат., гистол. и имбриол., 85, 10, 30- 34, 1983.
- 6. Ээрохи В. Л., Гречушникова Л. С. Ж. нысш. перви. дсят., 28, 6, 1271—1279, 1978.
- 7. Ebner F. F., Meyers R. E. J. Con p. r. Neurol., 124, 3, 353, 365, 1965.
- 8. Isseroff A., Schwartz M. L., Dekker J. J., Goldman-Rakie P S. Brain Res., 293, 2, 213-224, 1984.
- 9. Jakobson S. I., Troyanowski J. Brain Res., 74, 1, 149-155, 1971.

10. Latimer C. N., Kennedy T. T. J. Neurophysiol., 24, 1, 66-79, 1961.

11. Mitter R. J. Compar, Neurology, 164, 3, 361-373, 1975.

12. Toyuma K., Matsunami K., Ohno T. Brain Res. 14, 1 513 517, 1969.

Поступило 7.1V 1987 г.

Биолог. ж. Армении, т. 41, № 3, 1988

VAK 612.821.6

### к вопросу о формировании условного рефлекса

А. А. ГАРИБЯН, И. Ю. ХОДЖАЯНЦ, Т. В. ХАНАМИРЯН. Э. С. ГАМБАРЯН Институт зоология АН АрмССР, Ереван

Обсуждается вопрое о замыкании временной связи. Делается заключение, что при формировании условной временной связи замыкание основано не на образовании анатомической связи между центрами (бетусловным и условным), а на формировании паттерна возбуждения, охватывающего мозг.

եննարկվում է ժամանակավոր կապի միացմավորման վրա, ործ ընդգրկում է ույլերը կանում և հարում և ույլերը և արվում և ույլերը հանական և արդում և ույլերը և արդում և ույլերը և արդում և

The question of circuit of temporal connection has been discussed it has been established that during the formation of conditional connection the circuit is based not on the formation of anatomical connection between two centres (not conditional and conditional), but on the formation of irritation pattern, including the brain.

Кора больших полушарий -условный и безусловный рефлекс—замыкание озименкой связи.

До 1909 года в лаборатории И. П. Павлова бытовало представление, согласно которому образование условных рефлексов происходит путем замыкания временной связи между центром индифферентного раздражителя, находящимся в коре, и безусловным пищевым слюным центром, расположенным в продолговатом моэге [11]. Однако со временем, когда было доказано, что безусловные рефлексы имеют свое представительство в коре головного мозга, в лаборатории Навлова пришли к убеждению, что замыкание происходит в пределах коры условного мозга, между корковым представительством индифферентного раздражителя и центром безусловного рефлекса. Так формируется условный рефлекс.

В дальнейшем появились различные модификации этой точки эрения. Так, например, Асратян [2, 3] пришел к заключению, что условнорефлекторное замыкание происходит в коре мозга между центрами двух безусловных рефлексов. По этому поводу он писал: «Согласно нашему представлению, условнорефлекторная связь замыкается между нервными клетками корковых вствей дуги безусловного рефлекса и дуги так называемого ориентировочного рефлекса, т. е., по существу говоря, между коркоными вствями дуг двух безусловных рефлексов» [3, стр. 208].

Таким образом, в научной литературе окончательно утвердилось мнение, что образование повой нервной связи, замыкательный процесс,

целиком осуществляется корой головного мозга, т. е. в ней нахозятся не только пункты приложения бесчисленных нидифферентных раздражений, но и деятельные пункты, представители безусловных рефлексов.

Однако в различных лабораториях методом экстириации коры головного мозга [4, 14 и др.] были получены факты, свидетельствующие о том, что замыкание примитивных условных рефлексов происходит и без участия коры головного мозга, на уровне подкорковых образований В связи с этим Беленков отмечал: «В какой степени подкорковые структуры участвуют в условнорефлекторной функции пормальных животных, приведенные выше материалы еще не показывают» [4, стр. 271].

А. Гасто, Н. Иошин и др., основываясь на данных Мэгуна [10] о ретикулярной формации, а также на результатах своих исследовании пришли к заключению, что первичное замыкание временной связи про-исходит в пределах ретикулярной формации и отсюда передается в кору головного мозга [5]. Эта точка зрения подвергалась резкой критике со стороны учеников павловской школы. Особенно отрицательно к этому относился. П. К. Анохии, считавший, что нейрофизиологические сдвиги подкорки являются вторичными проявлениями замыкания в коре головного мозга [1].

Перечисленные точки зрения о замыкательной функции основываются на представлении об образованию нервно-анатомической связи между двумя возбужденными точками коры. Известно, что некоторые условные рефлексы на адекватные экологические стимулы образуются очень быстро, после одного или двух сочетаний условного и безусловного раздражителей, т. е настолько быстро, что за этот перпод времени никакая анатомическая связь не может образоваться, а использует уже имеющиеся анатомические связи. Кроме того, каждодневный опыт убеждает нас в том, что условный раздражитель в условнорефлекторном порядке вызывает не только реакцию безусловного рефлекса, что вытекает из концепции замыкания между двумя очагами возбуждения. но и формируется гакой тин ответной реакции, который соответствует требованиям условий окружающей среды и не входит в дугу безуслов ного или врожденного рефлекса [5]. Мы думаем, что условный раздражитель через кору головного мозга вызывает реакцию определенной функциональной направленности (пищевую, оборонительную, половую и т. д.) в зависимости от того, с каким безусловным раздражителем он связан. Что же касается формы этой реакции, то она обусландивается текушими, изменяющимися условиями окружающей среды.

Используя методику полиэффекторной регистрации условных рефлексов, Анохии [1]. Гамбарян [5] и др. обнаружили, что условный сигнал вызывает изменения не только слюнной секреторной реакции, по и дыхания, кровяного давления, элементов крови, мышечной деятельности. Следовательно, условный рефлекс основан не на простом липейном тамыхании рефлекторных дуг, а на образовании сложного комплекса взаимодействующих непропиму целей, объединяющих различные анализаторы или их элементы (принции полнанализаторной деятельности [5]). Можно предположить, что каждос раздражение (имеется в виду мотивационное возбуждение, сигналы от обстановочных раздражи-

телей, возбуждение от аппарата памяти и условного сигнала) вызывает возбуждение определенной констелляции нейронов, расположенных как в коре головного мозга, так и в нижележащих отделах. При последопательном деиствии индифферентного раздражителя с безусловным нозникает несколько возбужденных паттернов, которые взаимодействуют между собой так, что формируется реакция, полезная для организма [1] Взаимодействие между этими возбужденными констелляциями нейронов осуществляется благодаря нервным связям, которые вмеются межлу инми, но не образуются заново. Эти святи обнаруживаются пря морфологическом и электрофициологическом изучении головного мозга. В даборазор оку Анохина [1], Ройтбака [12] и пр. показано, что в ответ на одиночное нериферическое раздражение по многих пунктих коры появляются вызванные потенциалы. В овытях, проведенных нами, воказано, что в этих условиях на одиночное раздражение вызнайные потенциалы появляются во всех изученных нами глубинных образованиях мозга (стрионаллилярной системе, амигдале, люнсовом теле, черной и безымянной субстанций и др.) В силу этого сигнал, действуя на организм, вызывает в мозге определенный паттери, полбуждения, который может включать в себя не только избранный нами безусловный рефлекс, по и элементы других безусловных рефлексов. В результате создается паттери возбуждения, который реализуется в такой форме, которая приводит к необходимой полезной реакции организма.

Опыт показывает, что в создания такого нового типа нозбуждения участвуют не только кора головного мозга, но и глубинные образования.

В наших опытах [6—9, 13, 15] было показано, что при частичном разрушении бледного шара, хвостатого ядра, скордупы, люнсова тела, гиппокампа, амигдалы, черной и безымянной субстанций времению нарушаются условные рефлексы, выработанные на пищевом и оборонительном подкреплении. При этом стабильно нарушается оперативная память. Животные только в 65—80% случаев правильно реагирует на условный сигнал. Эти опыты дают основание считать, что в объединении отмеченных центров, формирующих условный рефлекс, принимают участие как корковые отделы мозга, так и глубинные образования. Удельное значение каждого из них определяется функциональной сложностью и моторной дифференцированностью приобретенных форм условных приспособительных реакций.

Нами установлено, что периферическое раздражение вызывает активацию всех изучаемых нами глубинных образовании мозга. Более тото, форма реакции может меняться в зависимости от обстановочных раздражителей. Так, если выработать оборонительный условный рефлекс с правой задней конечности, а затем манжетку с электродами привязать к леной задней конечности, то животное на сигнал полиимает леную заднюю лану, т. е произойдет изменение формы реакции на один и тот же условный раздражитель. Манжетка будет предопределять характер реакции конечности, тогла как другие функции (дыхание, кровяное давление, форменный состав крови и т. п.) останутся без наменений [3, 5 и др.]

Если наши рассуждения верны, а они базируются на фактах, описанных нами и другими авторами, то схему условного рефлекса можно представить в виде сложного паттерна возбуждения, охватывающего корковые отделы анализаторов и глубинные структуры мозга.

Расчленяя структуру одних безусловных рефлексов, приводя их в сочетание с другими безусловиыми рефлексами или их элементами, кора головного мозга в конечном итоге спитезирует повую, ранее не имевшуюся структуру рефлекса. Вслед за Ивановым-Смоленским мы называем эти рефлексы «условно-условными» [5]. Это означает, что такие рефлексы вызываются не только определенными условными сигналамы, но и сама ответныя реакция является приобретенной или условной Условные рефлексы, которые повторяют реакцию безусловного, мы именуем «условно-безусловными». Первые рефлексы являются божее существенными и эволюционном развитии животных и их приспособительной деятельности в окружающей среде.

#### ЛИТЕРАТУРА

- 1. Анохия И. К. Биология и нейрофизиология условного рефлекса. М., 1968.
- 2. Асрагян Э. А. Природа, 12, 74-87, 1937,
- 3. Асратян Э. А. Физнология центральной нервной системы. М., 1953.
- 4. Беленков Н. Ю. Принции целостности и деятельности моэга. М., 1980. 5. Гамбарян Л. С. Вопросы физиологии двигательного анализатора. М., 1962
- 6. Гарибян А. А. Родь глубинных структур молга в механизмах целенаправленного поведения. М., 1984
- 7. Гарибян А. А., Судаков К. В., Гамбарян Л. С. В сб.: Глубинные структуры мозга и попедение. 7-31. Ереван, 1985.
- 8. Гарибан А. А., Ходжаянц И. Ю., Гамбаран Л. С. Жури, нысш. нерво деят., 33, 4, 639-644, 1983,
- 9. Коваль И. И., Саркисов Г. Т., Гамбарян Л. С. Септо-гиппокампальная система и организация поведения. Ереван, 1986.
- 10 Мэгун Г. Бодретвующий моэг, М., 1961.
- 11. Павлов Н. П. Поли. собр. соч., 3, кинга первая. М.—Л., 1951.
- 12. Родгбак А. И. Биоэлектрические явления и коре больших полушарии Тбилиси,
- 13. Саркисан Ж. С., Гамбаран Л. С. Паллидум, Ереван, 1984.
- 14. Хананашоили М. М. Нейровально-язолированизи кора. Л., 1971.
- 15. Ханамирян Т. В., Гамбирян Л. С. Успехи современной биологин 36, 5, 269-277, 1986.

Поступило 18.V 1987 г.

Биолог. ж. Адмении, т. 41, № 3, 1988

УДК 577

# индукция тепловым шоком раднорезистентности У ЭМБРИОНА ПТИЦЫ К МАЛЫМ ДОЗАМ ОБЛУЧЕНИЯ

В. А. ВАРДАНЯН, М. А. КЮЧИКЯНЦ

Институт физиологии им, Л. О. Орбели АН АрмССР, Ерепан

Обнаружено, что тепловой цюк не только препятствует проявлению стцмулирующего действия на эмбриотецез дозы 0.93 Гр. но и существенно синжает высокую эмбриональную детальность, вызванную долой облучения 0,1 Гр.

Քաջանայտվել է, որ շերժային յոկը ոչ իայն արդելակում է 0,03 Գր դողայի ուննդած խնանիչ ազդեցունյունը էմբրիոնների աճի և զարգացման վրա, այլն զգայիոուն հվադեցնում է 0,1 Գր Տառադայինանարման նհանանրով առաջացող բարձր էմբրիոնայ ժանադումիյունը։

It was shown that the thermal -shock prevented the exhibition of stimulating action on embryogenesis of the dose 0.03 Gy and also decreased the high mortality, evoked by the dose of treadiation (1) Gy.

Эмбрион птиц тепловой шок радиорезистентность.

Индукция теплом радворезистентности у эмбриона изучена недостаточво. Сведения по этому вопросу были получены при исследовании икринок рыб, на треты сутки подвергавшихся гипертермии в течение 15-90 мин с последующим облучением гамма-дучами в дозах 2,5 20 Гр. Показано, что гипертермия индуцирует высокую резистентность зародишевых клеток к облучению и приводит к синжению летальности эмбрионов [4]. Установлено, что обработка теплом (41%30 мин) икринок рыб в митотически неактивной стадии первичных зародышевых клеток повышает их радиорезистентность в 1,6 раз [5]. При инкубации икринок рыб в течение 60 мин через трое суток после оплодотворения перед облучением при температуре 41° обнаружено, что увеличение времени викубации приводит к новышению радиорезистентности [6]. Воздейстине на 3-дневные зародыши рыб температурой 37-42° в гечение 30 мин, гипоксией в течение 2-4 ч, 1-10 мМ арсенатом натрия в 500 мМ хлоридом кадмия в течение 4 ч при температуре 28°, а затем гамма-облучением в дозе 10 Гр воказало, что с повышением температуры до облучения повышается выживаемость зародышевых клеток и их митотическая активность, а апоксия, кадмий и арсенат не оказывают существенного влияния на этот ноказатель [7].

Учитывая эти данные, мы изучали радиорезистептность эмбрионов птицы к малым дозам облучения в критический период их радиочувствительности с использованием теплового июка.

Материал и методика. Эксперименты проводили на 820 куриных эмбрионах. Предварительно был установлен критический период радиочувствительности зародышей. Для этой цели эмбрионы облучали на 3, 8 и 13-й день инкубации соответственно дозами 2.15, 2.0, 3,4 Гр и дозой 0,10 Гр по все сроки.

В наиболее критический период, согласно полученным данным на 3-й день никубиции, эмбрионы подверсали тепловому шоку в инкубаторе при температуре 40° в течение 30 мин при пормальной вэрации и тут же облучали дозой 0,03 и 0,10 Гр. В друтом парианте опыта тепловой шок применяли после облучения эмбрионоя этими дозами.

Облучение проводили при следующих условиях, установка РУМ-17, напряжение 200 кВ, сила тока 15 мА, фильтры 0,05 мм меди 1,0 мм алюминия, фокусное расстояние 60 см. мощьюсть доль 0,3 Гр/мии.

По окончания инкубации в контрольных и опытных группах оычисляли продект изживаемости и эмбриональной летальности.

Результаты и обсуждение. Из табл. 1 следует, что в контроле выживаемость эмбрионов от числа оплодотворенных янц составляет 90,0%, а эмбриональная летальность 10%. При облучения эмбрионов на 3-й день никубации дозой 0,10 Гр выживаемость значительно сикжалась и составляла 62,7%, соответственно повышалась и эмбриональ-

Тоблица і. Критический период радиочувствительности эмбриона пінцы

В враст Д дни	Доза	Число - Sморионов	Погибине	эмбрионы	Жизые цыплята	
	Гp		число	щ	числа	%
3	0 10	51	19	37.3	32	62.7
	2.15	50	25	50.0	25	50.0
8	0.10	60	12	20.0	48	80.0
	2.0	60	15	25.0	45	75.0
13	0.10	60	4	6.7	56	93.3
	3.40	Gu	10	16.7	50	83.3
Контроль	_	50	5	16.0	45	90,0

ная летальность. Облучение эмбрионов этого возраста дозой 2,15 Гр более существенно спижало выживаемость—на 50,0%.

При облучении эмбрионов на 8-й день инкубации дозой 0,10 Гр выживаемость эмбрионов понышалась по сравнению с 3-м днем развития до 80%, а при дозе 2,0 Гр—до 75%. Воздействие дозой 0,10 Гр на 13-й день инкубации приводит к более значительному повышению выживаемости, превышающей контроль на 3,3%. Доза 3,4 Гр также значительно повышала выживаемость эмбрионов по срависнию с 3-м и 8-м днем пикубации.

Таким образом, 3-й день эмбрионального развития является более критическим.

Данные табл. 2 показывают, что доза облучения 0,03 Гр на 3-й день никубации приводит к более высокой ныживаемости эмбрионов цыплят-96,1%. Она превышала контроль на 14,1% и на 7,9% выживаемость необлученных эмбрионов, подвергнутых тепловому шоку. Возва и окидовиди виош отологиот эксом кинэкукдо йосок йоте эквизивк метному снижению выживаемости эмбрионов, составляющей 89.7%, что на 7,7% превышало контроль, на 6,4% уступало выживаемости облученных эмбрионов, не подвергнутых тепловому воздействию, и на 11.5% превышало выживаемость необлученных эмбрионов, подвергнутых тепловому шоку. Применение теплового шока после облучения этой дозой способствовало болсе заметному синжении выжинаемости зыбрионов, которая превышала контроль на 1,9%, на 12,2% уступала выживаемости облученных эмбрионов, не подверсиутых тепловому воздействию, на 4,3% была ниже, чем у необлученных эмбрионов, обработанных теплом, и на 5,8% уступала выживаемости при тепловом воздействии перед облучением

При облучении дозой 0,10 Гр существенно синжалась выживаемость эмбрионов и составляла 68,5%, соответственно уступая на 13,5% контролю и на 19,7% выживаемости пеоблученных эмбрионов, получавших тепловой шок. При использовании теплового шока перед облучением этой дозой наблюдалось благотворное действие его, выражающееся в существенном повышении выживаемости эмбрионов, составляющей 89,3%, что соответственно на 7,3% превышало контроль, на 20,8% выживаемость облученных эмбрионов, не испытавших действия теплового

Таблина 2. Индукция тепловым шоком радиорезистептности у 3-дневных эмбрионов итипы

DATE THE TOTAL COMPANY OF THE		Погибшие эмераоны			Жиные Разпица цыг <b>ля</b> та с коптро ем		Разинца с облученным и без ТП	Разинна облучен- ных с ТП	Разви и межлу ПП —облучение облучение : ТП1. %
5	ų; di	число	ďζ	% %		9.			
0.3 Гр	51	2	3 9	49	95,1	+14.1		- 7 9	
Ttll0.33 l'p	58	6	10.3	52	89.7	- 7.7	- 6.4	+ 1.5	+5.8
0.03   p+TIII	55	9	16.1	47	83.9	$\pm 1.9$	-12.2	4.3	-5.8
0.10 Гр	54	17	31.5	37	68.5	-13.5	_	-19.7	_
ТШ0.10 Гр	56	G	10.7	50	89.3	+ 7.3	20.8	1 1.1	6.3
0.10 Гр - ТШ	53	9	17.0	44	83.0	1.0	+14.5	5.2	- 6.3
7111	51	6	11.8	45	88.2	- 6.2		_	
Конграль	50	9	18.0	41	82,0	_	_		

шока, и на 1,1% выживаемость необлученных эмбрионов, подвергнутых тепловой обработке. После облучения этой дозой тепловое воздействие менее существенно повышало эмбриональную выжиниемость. Она составляла 83,0%, соответственно на 1,0% превышая контроль, на 14.5% ныживаемость в варианте с облучением без теплового шока, однако на 5,2% уступая аналогичному показателю необлученных эмбрионов, подвергнутых тепловой обработке, и на 6,3% таковому при тепловой обработке перед облучением.

Полученные данные показывают, что тепловой шок оказывает благотворное влияние на эмбриогенез, повышая эмбриональную выживаемость и выводимость цыплят. Однако он значительно уступает по свосму стимулирующему действию дозе облучения 0,03 Гр (табл. 2).

Таким образом, индуцируемая теплом радиорезистентность у эмбряона птицы не только препятствует развитию соответствующей лучевой реакции при дозах облучения 0,03 и 0,10 Гр, по и заметно повышает эмбриональную выживаемость по сравнению с контролем. Эффект теплового шока при его использовании после облучения этими дозами лишь препятстнует развитию лучевого процесса.

Как известно, тепловое воздействие не вызывает аномалий у эмбрионов [1], а химические радиопротекторы, применяемые в различные периоды эмбриотексичностью и малой эффективностью [2, 3]

В наших опытах у цыплят, выведенных из эмбрионов, подвергнутых тепловому шоку, а также при сочетании с облучением уродства не были обнаружены.

Рассматривая данные табл. 2, легко заметить, что при ТП1+0,03 Гр, ТШ+0,10 Гр и при тепловом шоке у необлученных эмбрионов в выживаемости не обнаружено значительной разницы (89,7, 89,3, 88,2%), она превышала контроль на 5.8, 6,2 и 6,3% соответственно. В вариантах с 0,03 Гр+ТШ и 0,10 Гр-ТШ выживаемость эмбрионов совпадала с таковой контроля (табл. 2). Эти данные свидетельствуют о том, что использование теплового шока перед облучением не только индуцирует высокую радиорезистентность у эмбрионов к этим дозам облучения, но и значительно повышает их выживаемость по сравнению с контролем, в то время как эффект теплового шока после облучения ограничивается только индукцией радиорезистентности, препятствующей разнитию у эмбрионов соответствующей лучевой реакции.

Итак, индуцируемая теплом радиорезистентность у эмбрионов птицы в критический период их развития оказывает существенное защитное действие при малых дозах облучения.

#### ЛИТЕРАТУРА

- 1. Светлов П. Г., Корсакова Г. Ф. В сб. Влияние новизирующего излучения на течение беременности, состояние плода и новорожденного, 37, Л., 1960.
- 2. Станжевская Г. Н. Раднобнология, 11, 6, 913, 1971.
- 3. Палыга Г. Ф. В ки.: Всесоюзи, конф. по дейстнию малых доз нопизирующей радизции, Севастопель, тез. докл. Киев, 1984.
- 4 Shimada Y. Int. J. Radiat. Biol., 18, 2, 189, 1935,

- 5. Shimada Y. Int. J. Radiat. Biol., 45, 3, 423 1985.
- 6. Shimada Y., Shima A., Egamt N. Radiat, Res., 104, 1, 78, 1985.
- 7. Shimada Y., Shima A., Egami N. Radiat, Res., 26, 111, 1985.

Поступило 14.Х 1987

Биолог. ж. Армении, т. 11, № 3, 1988

УЛК 591.1.

### ЗНАЧЕНИЕ SH-ГРУПП В ПРОЯВЛЕНИИ АКТИВПОСТИ АРГИНАЗЫ ПЕЧЕНИ КУРИНОГО ЭМБРИОНА

т. г. арутюнян, м. а. хачатрян, а ж. абрамян

Ереванский государственный университет, кафедра биохимии и проблемная лаборатория сраинительной и эволюционной биохимии

Методом химической модификации специфическими реагентами показано начение SH-групп в проявлении октивности очищенной аргиналы печени 18 дневног куриного эмбриона. Очищенный препарат фермента содержал 9.93 мжждъ моченины на мг белка.

ցությունը։

Տուխապան ակ արդաների ազդեցությունը 1 մգ սպիտակուցի վրա անսակարար ակտիցույց է տրված ՏԻ-խաբերի նշանակությունը 18-օրական ատղմի արևպարատը պացույց է տրված հետևիլությունը 1 մգ սպիտակուցի վրա անսակարատը ակտիար-

The Importance of SH-groups for the expression of arginase activity of IN-days her embryon liver has been shown by the method of chemical modification with specific reagents. The partitled enzyme contains 9,93 mk mule area per 1 pro ein mg.

эморион кур-аргиназа-парахлормеркурибензоат-парабензохинов-1-ацетат.

Рансе нами было установлено, что изоферменты аргиназы урикотельческих организмов в зависимости от их метаболической направленюсти обладают характерными физико-химическими и кинетическими особенностями [1—3, 5]. Очевидно, эти изоферменты различаются содержанием химически активных групп, играющих роль в проявлении активности и поддержании нативной конформации ферментов. В настоящее время с целью изучения указанных групп широко применяются метомы химической модификации при помощи реагентов, избирательно взачимодействующих при определенных условиях с отдельными остатками в белках [9—11]. Указанными методами исследована роль SH-групи проявлении активности аргиназы различных организмов [6, 12—15].

В настоящей работе представлены результаты очистки аргиназы вечени 18-дневного куриного эмбриона и изучения роли SH-групи в проявлении активности фермента.

Митериал и методика. Исследовали печень эмбрионов кур породы леггори 18-го для развития. Артиназную активность и белок определяли ранее описанными методиками [4].

Сокращена ПХМБ-парахлормеркурибензоат

Реагенты на тноловые группы—ПХМБ, парабензохинон, J-ацетат—добавляли и концентрациях, указанных и соответствующих таблицах, перед внесением аргинива.

Результаты и обсуждение. Аргиназа печени 18-дневного куриного эмбриона, имеющая один инк активности, по физико-химическим и кинетическим свойствам близка к неуреотелическим формам [2]. Уреотелическая аргиназа печени 18-дневного куриного эмбриона была очищена изми по следующей схеме.

1-этап—гомогенизация. Печень выделяли при 20° и подвергали гомогенизации в среде 0,15 М КС1+5 мМ МпС1₂ в течение 3 мии в стемляниом гомогенизаторе типа Поттер-Эльведжема. Гомогенат центрифугировали при 9000 об/мин в течение 1 часа.

11 этап—получение ацетонового порошка. После отделения супернатанта осадок подвергали гомогенизации с охлажденным ацетоном (-20°). Полученную суспензию фильтровали при помощи бюхверовской воронки, после чего осадок вновь гомогенизировали с ацетоном при указанных выше условиях. Полученный ацетоновый порошок элюнровали в течение 24 ч в среде грис-НСГ буфера (рН 7,4) +5 мМ МпСІ<sub>2</sub>. Суспензию центрифугировали 15 мин при 12000.

III этан—хроматография на ДЕАЕ целлюлозе. Элюат наносили на колонку (1,3×24 см), уравновешенную трис-НСI буфером (рН 7,4), содержащим 2 мМ MnCl<sub>2</sub>. Затем колонку промывали растворами NaCl (от 60 мМ до 0,35 М), содержащими 5 мМ MnCl<sub>2</sub>.

IV этап—тепловая обработка. Активные фракции подвергали тепловой обработке. Растнор элюата согревали в течение 10 мин при 45 в среде с 5 мМ MnCl<sub>2</sub>

V этап—высаливание сульфатом аммония и гельфильтрация на сефадексе G-100. После тепловой обработки образец высаливали сульфатом аммония 23%-ного насыщения. Затем супернатант подвергали тельфильтрации на сефалексе G-100 (трис-HCl буфер, pH 7,4) (табл. 1).

Табанца 1. Очистка аргиназы нечени 18-дневных эмбрионов кур-

Этапы	Объем	Келич о	Aprunamas anthrioc b, kemone	Улсльная ак. явность, мкм. мг моч Селка	Степень	Baxog, %
Гомогенат	130 0	7910.6	457 60	0.057		100
Апетоновый пороснок	90.0	1250.2	264,40	0.062	1,08	57.7
Хроматография на ДЕЛЕ						
целлюлезе	33.0	654.0	236.6	0.362	fi. 33-	51.7
Tep: 005patorna	30.0	158,0	204.2	1.292	22.70	44.6
тель и втрация на сефа- дсксе у-10)	45.0	17.6	171.8	9.93	174.2	38.0

Наиболее специфическим реагентом на тиоловые группы является ПХМБ, который, согласно данным литературы, в концентрации 1 мМ полностью ингибирует аргиназу нечени цыпленка [15], речного рака, жирового тела таракана, дрожжей [12], люпина, тогла как не действует на аргиназу печени крыс [15], человека, шелковичной моли, печени быка [6]. Неодинаковое действие ПХМБ на аргиназную активность люпина и нечени крыс Бер и Мужинска объясияют отсутствием SH-групп в аргиназе лечени крыс.

Исследованные нами реагенты на тиоловые группы—ПХМБ, J-aucтат и парабензохинон—ингибируют очищенную аргиназу печени 18диевного куриного эмбриона, что указывает на значение SH-групп а проявлении активности фермента.

Таблица 2. Влияние реагентов на тиоловые группы очищенной аргиназы 18-дневного куриного эмбриона

Концентра-	11	ПХМБ		E M3	ПХМБ+глутатион	
1\$HN	мкм моч.	o <sub>b</sub>	MKM MON.	9.	мкм. моч.	96
Конгродь 1.25 10 <sup>-2</sup> 1.25 10 <sup>-4</sup> 2.5 10 <sup>-4</sup> 1.25 10 <sup>-3</sup> 2.5 10 <sup>-3</sup>	1.603 1.632 1.704 1.520 1.280 0.760	100 101 49 105 97 94 53 79 83 47 26	1.744 1.704 1.576 1.624 1.778	94.7 90.37 93.12 101.30	1.704 1.678 1.704 1.776 1.960	100 98,57 100 104,22 115,83
	Глута	BTHOH		20.0	ркаптоэтанол	
(OHTPONE 5.0 1.25-10-1 1.25-10-1 3.75-10-1 5.0-10-1	0,830 1,360 1,384 1,360 0,888 0,840	100 154.53 157.26 154.53 100 0 95.45			0.840 1.280 1.344 1.350 1.296 1.208	100 152,38 160,00 161,91 154,20 143,81
		І-ацетат Ј-ац	етат+МЭ Ј-:	ацетат 4 глута	THOR	
Контро в 1,25-10- 5,0-10- 1,0-10- 1,25-10-	1,701 1,528 0,920 0,672 0,640	100 88,66 53,99 39,43 37,56	1,71.4 1,680 1,744 1,560	100 98,58 102,34 107,54 115,63	1.712 1.608 1.794 1.781 1.810	100 83.92 99.51 104.20 106.80
	Беньс	эхинон бензо	хипон+МЭ (	5ензохниап I-г	лутатион	
Контроль 2.5 10-1 1.25 10- 3.75 10-5 1.25 10-4	1.641 1.521 1.443 1.280 1.176	92.67 85.28 78.04 71.70	1.704 1.704 1.720 1.728 1.744	100 100 100, 92 101, 39 102, 34	1,704 1,704 1,704 1,700 1,736	100 100 100 100 .92 101 .83

Данные табл. 2 свидетельствуют о том, что ингибирующее влияние ПХМБ начинается с концентрации 2.5-10 М и выше. При концентрации 2,5-10 М и выше. При концентрации реагента подавляется на 50% Интересно, что низкие концентрации реагента, согласно полученным нами данным, оказывают стимулирующее действие на активность фермента, что, повидимому, можно объяснить взаимодействием ПХМБ с более доступны-

ми группами, при котором конформационные изменения молекулы фермента облегчают его реакцию с субстратом. Использованные в эквимолярных концентрациях восстанавливающие агенты—глутатион (восстановленный) и меркаптоэтанол, оказывающие защитное действие на тволовые группы, одинаково предохраняют фермент от воздействии ПХМБ, а в высоких концентрациях даже стимулируют активность аргиназы. При отсутствии в среде ингибитора эти реагенты являются активаторами фермента печени куриного эмбриона.

Влияние Ј-ацетата (1,25·10<sup>-3</sup>—1,25·10<sup>-2</sup> М) и парабензохинона (2,5·10<sup>-6</sup>—1,25·10<sup>-4</sup> М) аналогично действию ПХМБ. В условиях нашего эксперимента Ј-ацетат ингибировал активность фермента на 60% при концентрации 1,25·10<sup>-4</sup> М (высокие концентрации реактива окрашивают среду и делают невозможным колориметрирование).

Глутатион и меркантоэтанол полностью защищают фермент от инактивирующего влияния J-ацетата и парабензохинона.

Хоти не исключается комбинирование этих реагентов, особенно Ј-ацетата с другими реакционноснособными группами гистидина, лизина, метионина, факт реактивирования глутатионом и меркантоэтанолом блокированного ингибитором фермента свидетельствует о наличии 511-групп в урикотелической аргиназе печени куриного эмбриона и значительной их роли в проявлении ее активности.

#### ЛИТЕРАТУРА

- Аругинян Т. Г., Карапетян С. А., Джикуджин Н. Дж. Биолог. ж. Армении, 34, 1, 1981.
- Арутюнян Т. Г. Карапетян С. А., Абрамян А. Ж., Давтян М. А., Виолог, ж. Армени, 39, 6, 1986.
- 3. Давтян М. А., Геворкян М. Л. Биолог. ж Армении. 39, 9, 1980
- 4. Давгян М. А., Аругюнян Т. Г. Хачатряя М. А. Вопросы биологии, 2. Ереван, 1981.
- Давтян М. А., Аругюнян Т. Г., Хачатрян М. А., Петросян А. Р. Биолов ж. Арменяи, 34, 9, 1981.
- 6. Джакуджян Н. Дж., Аругинян Т. Г., Хачагрян М. А., Давтян М. А. Биол сия, Межвур, сб. научи, гр., 1, Ереван, 1979.
- 7. Северин Е. С. Курочкин С. Н., Кочетков С. Н. Успехи биол. химин. 15, 1974.
- 8. Торчинский Ю. М. Успехи совр. биологии, 66, 1968.
- Гуманян Л. Р., Чубарни С. В., Торчян Р. О., Мовсесян А. С. Биолог ж. Армении, 36, 6, 1983.
- Ber E., Muszynska G., Cochova D. Bull. Acad. Polon. sci. cer. sci. biol., 26, 10, 1978.
- 11. Mora J., Tarran R. Ra, aluz, Biochim, Biophys. Acta. 118, 206, 1966.
- 12. Muhlrad H., Heggi J., Foth J. Acta Biochim. Biophys, 2, 19, 1967.
- 13. Myrrysolds G., Severina L., Lobereva L. Acta Biochem. Polon., 19, 2, 1972.
- 14. Muszynska G., Ber. E. J. Biochem, 9, 10 1978,
- 15. Wright L. C. Brady C. J., Hide R. W. Phytochemistry 20, 2641, 1981.

Поступило 18 1Х 1987 г.

### ОРГАНОСПЕЦИФИЧЕСКИЕ ОСОБЕННОСТИ РЕЗИДЕНТНЫХ МАКРОФАГОВ

#### м. з. БАХШИНЯН

Ереванский медицинский институт, кафедра гистологии

Выявлены органоспецифические морфофункциональные особенности мэкрофагов печени, селезенки и дермы, обусловленные их контактами с различными ткансвыми элементами.

հացահայտվել են լյարդի, փայծազի և դերմայի մակրոֆոզ բջիլննրի մորֆոֆունկ ցիոնալ առանձնահատկունյունները՝ պայմանավորված նրանց կոնտակտներով տար բեր հյուսվածբային երիմենտների հետո

Organspe ille morphofunctional peculiarities of macrophages of liver spleen and derma, conditioned by their contacts with various tissue elements have been revealed.

Макрофаги-органоспецифичность-тканевое окружение.

Вопросы тканевого окружения макрофагов и их контакты с теми или иными клеточными элементами в условиях іп vivo почти не изучены. На наш взгляд, исследование этого вопроса может пролить свет на особенности органоспецифичности макрофагов в морфофункциональном аспекте. В настоящем сообщении приводятся результаты изучения морфофункциональных особенностей резидентных макрофагов различных органов в сравнительном планс.

Материал и методика. Выли непользованы беспородные белке крыси (7) и мыши (7) обоего пола, маши-самны линин C57BL/CBA (7), крыси-самны wistar (5)

Для определения фагоцитарной активности макрофагов за 2 ч до забоя животным пнугрябрющино вводили 50%-ный коллондный уголь (0.3 0.4 мл. мышам, 3 5 мл-крысам). В сревах нечени, селезенки и дермы фагоцитарную активность макрофагоя определяли по двум параметрам—фагоцитарному показателю и среда му количеству клеток со сверхинтенсивным фагоцитозом. Пля определения фагоцитарного ноказателя в пренаратах от каждого животного в каждой из 100 клеток пычисляли количество гранул угля. Для определения второго ноказателя для каждого животного учитывали среднее число макрофагов, в которых иг удавалось сосчитать гранулы поглощенного утля ка-за их многочисленности.

Все морфологические данные были обработаны методом вариационной статистики по Стьюденту

Для электронной микроскопии кусочки указанных органот не толще 1 чм фиксировали в 2%-ном растворе глютаральдегила на какодиланном буфере с последующей фиксацией в 1%-ном растворе ня том же буфере, дегидратацию производили н ацегонах возрастающей концентрации. В процессе обезвоживания материал контрастировали 0,5%-ным растпором ураниланетата в 70%-ном ацетопе. Ультратонкие срезы готовили из ультратоме LKV, контрастировали цитратом свинца по Рейкольдеу и просматривали в электронном микроскопе УЕМ при ускормющем плиряжении 80 В

Результаты и обсуждение. Макрофаги печени и селезенки характеризуются рядом общих признаков—умеренно выраженной складча-

Сокращения ГЭР-гранулярный эндоплазматический ретикулум,

Сравнительная характеристика резидентных макрефагов печени, селезенки и дермы у различных животных

	ŢI	ечень	Сел	езенка	Дерыа		
Вчлы жоводиых	і атої нтарн	а гастнапость	фагонитаривя экти шость		ф/агодитарияя активность		
	Ф поклаттель (М±тт)	содержание мак- и з оз яотьфор мскотиропф	Ф показа ель {Мфи}	рофан в со с и фатмитозом	Фижатен (М. <u>Т</u> а)	содержание мак- ру тов со си фагонитолом	
гесто одные белые крысы обоего прав	7.13±0.27	4.39% (4.2±1.81)	7.8±0.17	49% (4.6±0.88)	3.8±0.04 P<0.001	1.55% (1.57±0.09) P<0.001	
Беспој одные белы : мышп обоего пола	16,83±0,21 P<0,001	12.28% (14±3.07) P<0.001	10.22±0.18 P<0.001	2 67% (2,75±0.83) P<(0,001	2.91+0.39 P<0.001	1.93% (1.97+0.19) P<0.001	
Misture самцы липии C57BL CBA	11.39±0.67 P<0.001	27.43% (37.8±11) P<0.001	6,276±0,23 P=0,091	10% (11.2±1.38) P<0,001	2.97+0.09 P<0.001	25% (2.57±0.1) 1°<0.001	
Кры ы самгы Wistar	15,84±0,35 P<0,001	27.9% (38.75±1.18) P< 0.(0]	10.28±0.18 P<0.001	16.8% (20.2±4.8)	3.51±0.13 P<0.001	1.5% (1.53±0.14) P<0.00E	

тостью мембраны, наличием значительного количества лизосом, неравичных, зачастую и вторичных, различных размеров. Имеются и отличительные признаки. Так, в макрофагах селезенки очень часто встречнотся утилизирующие эригровиты на различных стадиях (рис., а), в макрофагах нечени—многочисленные рибосомы (рис., б)

Фагоцитарная активность более высока в макрофагах печени, с этим коррелируют и литературные данные [3]. Следует, однако, отметить, что наряду с высоким фагоцитарным показателем макрофагов печени у тдирх животных, у других значительное содержание макрофагос со сверхинительным фагоцитозом отмечается в селезенке (табл.).

Макрофаги печени чаще всего вступают в контакты с гепатоцитами особенно с жиросодержащими участками их цитоплатмы, лиюцитамы и о, вероятно, свидетельствует об их участии в липидном обмене органа, тем более что известна их способность фагоцитировать, метабодлизировать и депонировать липиды [1, 4].

Можно предположить, что печеночные макрофати с паренхиматозными клетками органа образуют единую систему, регулирующую его липидный обмен.

Кроме часто наблюдающихся контактов макрофагов селезенки с лимфондными клетками, очень часты их контакты с эритропитами, эти контакты свидетельствуют об участии макрофагов данного органа в обмене железа и, следовательно, в процессах гемоновия, что подтверждается данными о способности макрофагов выполнять регуляториую роль и процессе крометворения, опосредуемую через выделение рядыфакторов, и в перную очередь эритроповтина [2].

Макрофаги дермы отличаются от описанных выше более инзкой фагодитарной активностью, слабон выраженностью основных признаков. Их отличает выгляутое удлиненное тело, слабая складчатость клегочной воверхности, херовю развитые ГЭР и свободные рибосомы (рис., в). Очень часты контакты с фибробластами и коллагеном, эластическими волокнами (рис., в). Полученные данные свидетельствуют о том, что фагодитарная активность не является преобладающей функцией в макрофагах дермы. Вероятно, их основная роль сподится к секрещий биологически активных продуктов белковой природы, регульрующих функции тканеных элементов соединительной ткани.

Таким образом, полученные данные свидетельствуют о значительной морфологической и функциональной рязнородности макрофагов различных органов, обусловленной их взаимодействием с различными тканевыми элементами.

#### ЛИТЕРАТУРА

- 1. Карр Я. Макрофати обзор ультраструктуры. М., 1978.
- 2. Козлов В. А., Громыхина И. Ю. В кил Итоги науки и техники, 13, 195 216, 1984.
- 3. Фредданк И. С. Система мономукасарных фагоцитов М., 1984.
- 4. Rhodes J., Oliver S. I. Immunology, 49, 3, 467-472 1989.

Поступило 10.III 1987 г...

биолог. ж. Армении. п. 41, № 3, 1988

УДК 616.12-008.331.1-085.2

# ИЗМЕНЕНИЕ АКТИВНОСТИ АНГИОТЕНЗИН-ПРЕВРАЩАЮЩЕГО ФЕРМЕНТА В ТКАНИ ЛЕГКИХ У КРЫС ПРИ ДЛИТЕЛЬНОМ ВОЗДЕЙСТВИИ АПРЕССИНА

В. Г. ГОРОДКОВ, Э. А. ПАШЕНКО, К. Д. ЕРЗИНКЯН
ВИНИ биотехнологии, Москва

Легкие-анспотензин-превращоющий фирмент-апрессин.

Ангиотепзин-превращающий фермент запимает особое место в регуляции сосудистого тонуса, благодаря тому, что осуществляет конвертирование неактивного пептила ангиотензина 1 в оказывающий мошное прессорное действие ангиотепзин 11 и одновременно пнактивирует сильный иззодилататор брадикинии.

Известно, что уровень активности АПФ играет существенную роль в регуляции ангиотензин-реняновой системы, участвующей в поддержании артериального давления [1]. Ингибиторы АПФ каптоприл и гепротид являются эффективными гинотензивными средствами и успешно применяются и медицинской практике [8]. Подобно другим экзопептилазам АПФ представляет собой металлофермент, содержащий в активном центре атом цинка, его активность зависит от наличия в организме эндо- и экзогенных лигандов, способных отнимать или блокировать металл в активном центре [9, 12]. В связи с этим представляет интерес изучение влияния длительного применения гипотензивного препарата аврессина, способного связывать металлы, на активность АПФ и обмен цинка у крыс с быстрым и медленным фенотипом ацетилирования. Поскольку концентрация многих лигандов, и том числе и апрессина, зависит от активности конститутивного фермента N-ацетилтрансферазы [5], в работе учитывали фенотип апетилирования животных.

Материал и петодика. Эксперименти проводили на 45 беспородных крысах-самнах массой 140—160 г. Перную опытную группу составляли 15 крыс с медленным фенотином анетилирования (уровень анетилирования ниже 45%), а вторую—15 крыс с бистрым фенотином ацетилирования (уровень анетилирования выше 45%), определенним методом Пребстина и Гаврилова в молификации Тимофесвой по соотнешению в 6-насовой пробе мочи абсолютиих концентраций свободного и ацетилированиято тестприпарата сульфадимения [6]. Еще 15 животных составляли контрольную группу, иполучаниую апрессии. Животные спытных и контрольной групп в течение весто тремени исследования находились на стандартном брикстировонном корме. Животным опытной группы внутрижелудочно вводили апрессии, 10 мг/кг массы в течение перачи и второго месяцев и 20 мг/кг массы и течение третьего месяца. Контрольной группа диотных аводили волу. Для определения динамики изменения изучаемых нараметройго действием апрессина по 5 крыс ил каждой группы забивале декапитацией через 1 мес а остальных через 3 месяца поле начала эксперимента. Актионость АПФ в гомого те легкого определяли молифицированным нями методом Паслиминой и др. [3]. В нованиюм на определении скорости гидролиза синтегического субстрата Кбз-Фен-Ев-Лей [10]. Для получения гомогемата ткань легкого после удаления крупных брошимельчали и гомогемизировали и гомогемизаторе Поттера в течение 2 мин в ледыбане из расчета 1 г ткани на 10 мл 0,9% NaCl. Флуоресценцию измеряли на прибо Хитачи модели 650-60. Концентрацию цинка в плазме крови определяли на специметре с индуктивно связанной пладмой фирмы «Лабтест» (ФРГ). Полготовку обранов проводили разработанным нами ранее способом [4].

Результаты и обсуждение. Результаты определения активност АПФ в ткани легкого и содержания цинка в плазме кроин крыс придлизельном поздействии апрессина представлены в таблице.

Активность АНФ в легочной ткани крые в расчете на ме сухой массы ткани и содержание ципка в плазме крови

	1.3	есял	3 Me an		
Групна крыс	активность АПФ, имоль мин мг Мфт	Cza. MKr MA M I m	актион эсть АПТ. имоль чен ме А <del>гі</del> ш	Czn MRC/MA M + m	
Контро. ь	66.3±8.8	0.99+0.035	69+4.1	1,0±0.02	
Выстрые ацетиляторы	58,5±6.9	0.99±0.037	55.3 1-3 4	0.99+0.01	
	p<95%	p≪95%	p<95%	p<95%	
медленные вцегиляторы	59.3±9.9	0.91±0.04	35.8 <del>1</del> 5.4	0.86 <del>-1</del> 0.0	
	p<95%	p<95%	p>99%	p>99.9%	
Достоверность различий между быстрыми и медясиными ацетиляторами	(не достов.)	(на достов.)	(достов )	(2007034)	
	р<95%	р 095%	p > 99%	(20,9924)	

Как видно на таблицы, после 1 месяца введения апрессина межді крысами опытных и контрольной групп еще нет достоверных различив в активности АПФ ткани легкого и концентрации цинка в плазме крови. Не обнаружено достоверных различий также в уровне активности АПФ (Р<95%) и концентрации цинка в плазме (Р<95%) между группами быстрых и медленных ацетиляторов. Однако через 3 месяца после начала введения апрессина активность АПФ у крыс с быстрым фенотипом ацетилирования все так же не отличается достоверно от контрольного показателя, тогда как у крыс с медленным фенотином ацетилирования происходит заметное снижение активности АПФ (Р>99%) и концентрации цинка в плазме крови (Р>99.9%), как по сравненно с контролем, так и с аналогичным показателем группы быстры ацетилиторов.

Как известно, в метаболизме апрессина участвует N-ацетилтрансфераза, которая осуществляет перенос ацетильных групп с ацетилковызима A на аминотруппы различных субстратов, причем ацетилированный апрессии теряет свои хелатирующие свойства. По-видимому, у кры — медленных ацетилиторов происходит накопление в организм

ванию прочных комплексов с цинком и другими металлами [11].

Поскольку около 50% находящегося в плазме крови цинка довольво слабо связано с альбумином и легко подвержено обмену [7], связывание его эпрессином или каким-лябо другим лигандом может приводять к нарушению транепорта цинка белками крови, что, в свою очередь, вызывает нелостаток цинка в активном центре АПФ и снижение его активности. В пользу предположения о важной роли цинка в регуляили активности АПФ свидетельствуют полученные нами ранее данные о том, что циик-дефицитная диета приводит к уменьшению артериального давления и активности АПФ в легочной ткани крыс [2], а также литературные данные о снижении активности АПФ в сыворотке и коицентрации цинка в плазме крови крые и морских свинок, получавших рацион с низким солержанием цинка [13, 14]. В последней работе было также продемонстрировано более сильное увеличение активности АПФ при добавлении цинка в образцы илазмы крыс, содержащихся на лиете с недостаточным количеством этого микроэлемента, чем у крыс, получавших полновенную дисту. Не исключая других механизмов действия апрессина, можно полагать, что снижение активности АПФ при длигельном применения апрессииз может внести свой вклад в суммарный гипотензивный эффект препарата, особенно при низких уровнях ацетилирования в организме.

#### ЛИТЕРАТУРА

- Гомазков О. А. Трапезникова С. С. Успехи современная биология, 86, 2, 259—268, 1978.
- 2. Городков Б. Г. Ерзинкян К. Л. В ки. Физиология, патофизиология и фармакология мозгового кринооброшения Тсз. дока., Ерепан, 1984.
- Навлихина Л. В., Елисеева Ю Е., Позднев В. Ф., Орехович В. Н. В сб.: Современные методы в биохимии, М., 147-151, 1977.
- Пащенко Л. А., Ерзинкян К. Л., Гладких С. И. Способ определения химпческих элементов в плаэме сыворотки крони. Авт. свид. № 1193586, 1985.
- Подымов В. К. Красная волчанка. 101, Ереван, 1982.
- 6. Полухина Л. М. В кн.: Методы экспериментальной химнотерации, 454, М., 1971.
- 7. Радбиль О. С. Вопросы питания, 6, 10—15, 1981.
- 8, Шварц Г. Я. Фармакология и токсикология, 2, 105-115, 1984.
- 9. Das M., Loffer K. L. J. Biol. Chem., 250, 6762, 1975,
- 10. Depierre D., Roth M. Enzyme, 19, 65-75, 1975.
- 11 Fallab F., Erlenmeyer G. Helv, Chim. Acia, 10, 363-368, 1957.
- 12. Prasad A. S. Am. J. Hoematology, 6, 77-87, 1979.
- 13. Recves P. G., O'Zett B. L. J. Nutr., 116, 1, 128-134, 1986.
- White C. L. in Trace Element Metabolism in Man and Animals. Proceedings of the V Intereal Symp. on "Trace Element Metabolism in Man and Animals" held in 1984, 1985.

Поступило 5,1 1988 г.

## БИОЛОГИЧЕСКОЕ ДЕЙСТВИЕ АКУСТИЧЕСКИХ ШУМОВ ИДЕНТИЧНЫХ УРОВНЕЙ С РАЗЛИЧНЫМИ СПЕКТРАЛЬНЫМИ И ВРЕМЕННЫМИ ХАРАКТЕРИСТИКАМИ

### A. T. APAKEJAH, K. A. HAHANJASAH

Республиканский акустический научный центр МЗ АрмССР, Ерев.н.

Широкополосный шум—импильсный шум восходящий и нисходящий спектры сбъем кислорода.

Шум—не только физически измеримая величина, но и в широком смысле исихологическое понятие, поскольку шум задашного уровня при последовательном изменении спектрального состава дифференцируется слуховым анализатором на разные по громкости шумы. Очевидность зависимости специфической реакции организма не только от уровня, по и от спектральной структуры, а также временного распределения акустической энергии обоснована многими авторами. Во всех случаях натологическое воздействие в большей мере связано с высокими частотами, низкочастотные же шумы вызывают незначительные изменения или не влияют вообще [8]. Высокочастотные звуки при субъективной оценке воспринимаются как более шумные, чем среднечастотные и низкочастотные [8, 11, 13]. Шумы одинаковых уровней более угиетающе действуют при высоких частотах [2]. Имеются сведения о несовнадении ответных реакций организма при воздействии шумов одинаковых (в дБА) уровней с различными спектральными характеристиками [3].

Раздражающее действие акустического шума может быть усилено, ссли ему придать прерывистый характер, поскольку постоянный шум менее вреден, чем прерывистый [8]. Аудиометрическое обследонание 1850 рабочих шумовых производств с одновременным анализом шума позволило выявить интересное явление—в сталепрокатном цехе, где уровень УЗД равен 105 дБ, а высокие частоты достигали 10000 Гц, выявлена меньшая потеря слуха, чем у рабочих прессового цеха с УЗД 90 дБ, преобладанием низких частот, но с импульсным шумом [14]. В производственных условиях импульсный шум вызывает более выраженные и онасные сдвиги в организме человека, чем среднечастотный и даже высокочастотный [10]. В связи с этим предлагается установление более строгих критернев для импульсного шума, провоцирующего более быстрый переход от временного к постоянному сдвигу порога слуха.

Рядом авторов в качестве индикатора реактивности организма на шумовой раздражитель были использованы постоянный и временный едвиги порога слуха, флюктуация α-ригма ЭЭГ, время простой двигательной реакции, улитково-зрачковый рефлекс. Пум, как известно, инадекватный раздражитель, и реакции организма на него часто являют-

Сокращения, УЗД -уровень эвукового давления.

ся неспецифическими. Между тем, именно неспецифические реакции остаются малоизученными, а действующие в настоящее время санитарные нормы предельно допустимых уровней шума разработаны с учетом воздействия акустической энергии на слуховой анализатор. Особенно недостаточно изучена зависимость неспецифических реакции организма от качественных и временных параметров шума.

В связи с этим особый интерес представляет тестирование интегральных показателей организма на спектральный и временной характер акустического шума.

В настоящей статье изложены результаты исследования закономерностей и особенностей обратимого изменения интегрального воказателя реактивности организма объема потребляемого кислорода при действии энергетически эквиваленных акустических шумов (85 дБА) с различными спектральными и временными характеристиками. Исследование этого уровия следует объяснить тем, что он считается одновременно и кощутимым» для организма, и «щалящим» его акустический апализатор. На физиологическую допустимость шума уровием 85 дБА указывают адаптированные поведенческие реакции животных, идентичность результатов при вторичном применении экспозиции белого шума уровнем 85 дБА, непродолжительность самих экспозиций, данные ряда авторов [1, 6, 7, 15], ГОСТ 12.1.003—83 [5]. а также международная норма [15].

Материам и методика. Опиты проводили на 4 эдоровых кошках-самцах массой 3,0—3,2 кг с использованием модифисированиой установки закрытого типа системы Шатерникова. В основе методики исследования лежит принцип Крога [9]. Кошек кормили один раз в сутки в одно и то же времи. Каждое животное натощок и течение суток подвергали одноразовому озвучиванию без фиксации и применения наркоза, что позвольно проводить исследование в нормальных условиях при температуре 20° и атмосферном давлении 685- 688 мм рт. ст. Шумовая нагрузка обеспечивалась генератором шума Г2—47 [4].

В условиях хронического эксперименти были проведены 4 серии опытов по 8 в каждой с 15-минутивми экспозициями шума одинаковых (п дБА) уровней: широко-полосного постоянного шума; белого шума, имеющего и полосе частот 63—16000 Ги подъем 5 дБ/окт (восходящий спектр) или наклон 5 дБ/окт (иисходящий спектр), аритмического импульсного шума длительностью импульса 100 мс с восходящим средневысокочастотным спектром. В качестве контроля служила серия экспозиций с белым шумом.

Индикатором эксперимента служил пременный сдвиг объема потребляемого кислорода, регистрируемого через 15 мин с момента раздражения шумами идентичных
уровней (85 лб 1). Во избежание и равномерного распределения кислорода, постунающего в камеру, была использована ноздуходувка малой мощности, обеспечивающая равномерное перемениение воздуха в камере. Совмещенный с поздуходувкой на
тронный поглотитель предназначался иля поглощения выделяемого животным углекислого газа. Воздуходувка с натронным поглотителем помещалась вие герметичной
камеры и со тавала и значительный вкустический фон, воспринимаемый и камере из
уровне не более 50 дбА, что исключало возможность воздействия побочного фактора
на динамику эксперимента. Кислород в камеру из мерной бюреты поступал нассивно, вследствие периодически наступающего в камере разрежения в результате фиксации углекислого газа натронной известью и всасывающей силы легких животного [4].

Результаты и обсуждение. Сравнительный апализ результатов, приведенных к нормальным условиям (760 мм рт. ст. и 0°С), выявил оттатистически значимые отклонения (Р<0,001 по критерию Стъюденга)

Показатели потребления кислорода (мл) у кошек при озвучивании идентичными уровнями е различными спектральными и временными характеристиками

Условия опыта	CII	Кошка № 1 (3.1 кг)	Кошка № 2 (3.3 кг)	Кошка № 3 (3.0 кг)	Кошка № 4 (3.0 кг)
Белый шум (конграль)	M±m n	16.41+0.002	19.38±0.221	18,77 <u>+</u> 0,217	17.64 <del>1.</del> C.118
Белый шум с в теходящим спект- ром	N+m P,	17,46+0,217 <0,001 8	20.55±0.210 <0.001 8	20.33+0.215 <0.001 8	18,69 <u>-+</u> -0,223 <0,001 8
Белый шум с писходящим свект- ром	M + m P <sub>1</sub> P <sub>2</sub> n	15.59±0.009 <0.001 <0.001 8	18.05±0.010 <0.001 <0.001 8	17.64+0.109 <0.001 <0.001 8	16.82+0.217 <0.001 <0.001 8
Средневысокочастотный импуль- сный шум	M — m P <sub>1</sub> P <sub>3</sub>	19.29±0.117 <0.001 <0.001 8	21.96+0.118 <0.001 <0.001 8	21.65+0.227 <0.001 <0.001 8	20,11+0.116 0.001 <0.001 8

СП статистические показатели,  $P_1$ —по сравнению с контролем,  $P_2$ —нисходящий спектр по сравнению с посходящим спектром,  $P_5$ —средневысокочастотный импульсный шум по сравнению с восходящим спектром.

между контрольными и исследуемыми показателями объема потребляемого кислорода (табл.). Налицо достоверно повышенное потребление кислорода при действии высокочастотного шума по сравнению с инзкочастотным. Существенным оказалось потребление кислорода организмом в серии с аритмическим импульсом шума по сравнению с таковым п трех остальных сериях экспериментов.

Реакция на импульсный шум существенно зависит от того, является ли он внезапиь м или уливливается его ритм, что связано с постоянной аккомодацией порога шумового восприятия и эффектом ожидания. По мнению Суворова [1], кроме спектрального состава и интенсивности существенное значение имеют и такие параметры импульсного шума, вак частота следования импульсов в единицу времени и их ритм. Аритмические импульсы вызывают более выраженные слвиги, чем шумы, имеющие определенный ритм.

В наших опытах резкое повышение потребления кислорода под влиянием импульсного шума можно объяснить усилением его негативного деиствия фактором аритмичности.

Таким образом, результаты экспериментов с использованием неспецифического индикатора реактивности организма согласуются с выводами [2, 3, 8, 11—14] о несовнадении ответных реакций организма при поздействия одинаковых количеств акустической энергии с различными спектральными и временными характеристиками.

Итак, на основании представленных результатов, учитывая идентичность уровней шумовой нагрузки, можно сделать следующие выводы.

Широкополосный постоянный шум с инсходящим спектром оказывает на организм менее, а с восходящим спектром—более выраженное воздействие, чем аналогичная экспозиция белого шума.

Высокочастотный шум по сравнению с инэкочастотным вызывает в организме большее потребление кислорода, что говорит о повышении нагрузки на функциональные системы.

Аритмический импульсный шум с посходящим средневысокочастотным спектром по раздражающему действию превосходит и контроль, и высокочастотный шум.

#### ЛИТЕРАТУРА

- Алексеев С. В., Суворов Г. А. В ки.: Методические нопросы изучения действия шума на организм. Тез. докл. 18, М., 1963.
- 2. Анореева-Галинина В. И., Алексеев С. В., Кадыскин А. В., Суворов Г. А. В ки.: Шум и шумовая болезнь. Л., 1972.
- 3. Аракелян А. Г. Гиг. труда и профилболеваний, 8, 31—34, 1983.
- 4. Аракелян А. Г., Панчулазян К. А. Биолог. ж. Армении, 40, 11, 933—937, 1987.
- 5. Государственные стандарты Союза ССР, Гос, комитет по стандартам М., 1984.
- Денисов Э. И. Гис труда и профзаболеваний, 11, 24—28, 1979.
- 7. Ляпидевская Г. В. Гиг. труда и профлаболеваний, 8, 54-56, 1978.
- Ничков С., Кривицкая Г. Н. В ки.: Акустический стресс и церебровисцеральные нарушения. 23—37, М., 1969.
- Сыркина П. II. В ки. Газовый анализ в медицинской практике. 138, М., 1956.
- 10. Шепелин О. П. Тр. ЛСГМИ, 58, Л., 1959.
- 11. Canoc F., Bludler B. Acad. Sci. Paris. 239, 1313, 1954.

- 12. Coles R. R. A. Carinter G. R., Hodge D. C., Rice C. G. L. Ac. Soc. Am., 43, 2, 336, 1968.
- 13, Davis II. Acta oto-larving, Suppl., 7, 1950.
- 14 Dieroff H. G. Die Larmschwerhörigkeit in der industrie Johann-Ambrosium Barth-Verlag Leipzig, 1964.
- 15. Motter A. Departement de phisiologia de l'environnment Institut Karolinska, Stockholm 1979.

Поступило 3.ХП 1987 г.

Биолог. ж. Армении, т. 41, № 3, 1988 УЛК 591.169;616—003.93.616 -007.15

## МОРФОФУНКЦИОНАЛЬНАЯ ХАРАКТЕРИСТИКА поджелудочной железы домашних кур при регенерации печени

#### К. А. ДЖИВАНЯН

Ереванский государственный университет, кафедра зоология

Киры домашние-инджелидочная железа-частичная гепатэктомия-гистохимия фермензов.

Многочисленные литературные данные указывают на роль гормонов поджелудочной железы в регуляции восстановительных процессов лечеии [1-6, 8-10]. Известны также многосторонние функциональные связи между этими органами, проявляющиеся в процессах пормальной жизнедентельности и в экстремальных условиях. В литературе мы нашли лишь единичные работы, посвященные изучению морфофункциональных проявлений реакции поджелудочной железы на резекцию печени [7]. В настоящей работе представлены результаты исследования изменения искоторых морфофункциональных параметров интактной поджелудочной железы домашних кур в разные сроки после частичной генатэктомии.

Материал и методика. Опыты ставили на 5-6-месячных петушках, у которых удаляли дистальную часть правой доли печени, составляющую 1/5 массы органа. Материал для гистологической обработки бралч через 3, 5, 10, 20, 30, 60 дней после операции Кусочки поджелудочной железы фиксировали в растворах Буэна и Кариуа, в кальний формоле. Парафиновые срезы окращивали гематоксилин-эозином, инкрофуксином по ван-Гизону, метил-грюн-пиронином, альдегил-фуксином, импр. гигровали серебром, раствором толундикового синего на ацетатном буфере выявляли тучные клетки. На срезах определяли миготический индекс, количество гибнущих клеток и вычисляли площадь сечения цигоплазмы и ядер ацинозных клетох (измерения произподиля винтовым окулярмикрометром), определяли также соотношение объемов экзокришой, эндокринной іканей и стромы органа, водсчитывали количество ацинусов на единице плошади и количество островков разных классов на стандартной площади среза. На свежезамороженных криостатных срезах методом Гомори определили активность кислой и щелочной фосфатаз, методом Пахласа и соавт--активность дегидрогеназ сукцината, лактата и од-глицерофосфата, методом Гомори с применением од-нафтилаце: aта -- активность неспецифических эстераз. На замороженных срезах суданом III окращивали липилы

Результиты и обсуждение. В ранние сроки (через 3-5 суток) после частичной гепатэктомии в экзокринном эпителни поджелудочной

Таблица 1. Изменения массы поджелудочной железы в разные сроки после частичной гепатэктомии

Группа птиц	Magaza cocoura	Сроки после оперании, дни							
	Масса органз	3	5	10	20	30	60		
Под пытизя	Абсолютная	2.68±0.36	2.96±0.51	3 33±0,43	4.13±0.72	3.76±0.52	4.02±0.49		
	Относительная, % и массе тела	0.24	0.24	0,24	0.30	0.26	0.24		
Коптрольная	Абсолютная	2,59±0,33	2.93+0.58	3.05±0,64	3.1±0,6	3.08±0.71	3.38±0.52		
	Относительная, % к массе тела	0 25	0.24	0.24	0.24	0.23	0.21		

железы выявлялись некоторые реактивные изменения; уменьшалось количество цитоплазматической РНК в ацинозных клетках, сиижилась активность щелочной фосфатазы, сукцинатдегидрогеназы, черей 3 суток после операции во всей железе сиижалась также активность неспецифических эстераз, но в период максимального стеатоза в печени (через-5—7 суток после частичной генатэктомии) она значительно повышалась. Особенно возрастала эстеразная активность в стенках кровеносных сосудов и в эпителиальной выстилке выводных протоков. Через- 5 лней после операции происходило незначительное увеличение количества гибнущих клеток в экзокринном эпителии поджелу дочной желе-

Таблица 2. Изменение числа ацинусов на 1 мм² площади среза поджелудочной железы в разные сроки после частичной гепатэктомии

Ср ки на эколе- ний, сут	Количе- ство с и п	чие о ацинусов	р		
Контроль	н	987.7—86.4			
3	ti	886.5-44.22	0.025P>0.01		
10	6	909 —74.57	0.1 > P > 0.05		
20	0:	874 5 - 134.07	0.1 > P > 0.05		
30	ń	837.8 + 93.25	0,015P>0.001		
60	6	985.83 - 64.02	₽>0.5		

зы  $(0.85^{\circ})_{00}$  против  $0.5^{\circ})_{00}$  в контроле), но в такой же степсии увеличивалось и количество митотически делящихся клеток (митотический индекс составлял  $0.55^{\circ})_{00}$  против  $0.22^{\circ})_{00}$  в контроле). Абсолютная и относительная масса железы в эти сроки опыта изменениям не подвергалась (табл. 1). Одиако подечет количества ацинусов на единице площали среза выявляет некоторое увеличение их размеров (табл. 2). Это обусловлено уже отмеченной активацией пролиферативных процессов клеток и начавшейся гипертрофией их. В соединительнотканных про-

Таблица 3. Изменения объемных соотношений различных гваней интактной

Сроки наблюде-	Количество		Отпосительный
нил, дни	ยามน	акзокринная ткань	ţı.
3 5 10 20 30 60 Контроль	6 6 6 6 6 9 8 8 8	98.3 ±1.24 97.7 ±0.17 98.1 ±0.52 98.2 ±0.42 97.7 ±0.87 97.8 ±0.68 97.45±1.056	0.5>P>0.2 P>0.5 0.2>P>0.1 0.1>P>0.05 P>0.5 0.5>P-0.2

слойках железы, в особенности вокрус выводных протоков увеличивалось количество тканевых базофилов. Среди них встречались клетки разной величины и формы, но большинство из них были дегранулированными. В ретикулярной строме органа изменения не выявлялись. Вобъемных созтношениях различных тканей поджелудочной железы подопытных кур значительных смещений не наблюдалось (табл. 3). Начиная с 10-х суток наблюдений в паренхиме поджелудочной железы количество гибиуших клеток вдвое превышало норму (10,00 через 10 дней, 1,20/00 через 20 дней после операции), встречались ацинозные клетки с крупными каплями липидов, по в цитоплазме большинства клеток экзокринного эпителия по сравнению с нормой увеличивалось количество РНК, и грмализовывалась активность большинства ферментов, была лишь несколько повышена по сравнению с пормой активность неспецифических эстераз. Карио- и цитометрические исследования в эти сроки выявляли болсе значительное увеличение площади сечения цитоплазмы и ядер ацинозных клеток, были увеличены также размеры ацинусов. Стереологический анализ железы выявил некоторое увеличение относительного объема пареихимы (Р<0,2). Объем эндокринной ткани находился в пределах пормы.

Через 20—30 дней после частичной гепатэктомии количество гибнуших клеток в поджелудочной железе не превышал контрольный уровень. Очень редко встречались митозы. Максимального уровия достигала гипертрофия авинозных клеток (P<0.01). Этим было обусловлено, по-яидимому, значительное упеличение массы поджелудочной железы, наблюдаемое через 20—30 дней после резекции печени.

К концу первого месяца регенерации печени объемные соотношения различных тканей в поджелудочной железе подолытных кур находились в пределах нормы.

В последний срок наших наблюдений—через 60 дней после резекции гечени масса поджелудочной железы несколько превышала норму, отмечалось также некоторое увеличение количества крупных островков. По всем остальным изученным параметрам поджелудочная железа подопытных итиц от контроля не отличалась.

Таким образом, частичная генатэктомия и последующая регенерация печени вызывает адаптивные изменения в поджелудочной железе.

поджелудочной железы в различные сроки поеле частичной гепатэктомии

зилокри нная тканс	Р	Строма	р
0.3+0.22 0.5+0.1 0.3+0.14 0.3+0.14 0.4+0.26	0.5>P>0.2 P>0.5 0.5 P>0.2 0.5>P>0.2 0.5>P>0.2 P>0.5	1,3+0,93 1,9+0,22 1,5+0,3 1,5+0,37 1,8+0,87	0.2>P>0.1 P>0.5 P>0.5 0.5>P>0.2 P>0.5
0.3±0.16 0.49±0,65	0.5>P>0.2	1.5+0.73 1.97+1.03	0.5>P>0.2

выражающиеся в некоторых дистрофических изменениях паренхимы и стромы органа в ранкие сроки наблюдений и в компенсаторной гипертрофии экзокринного эпителия в конце первого месяца регенерации. Начиная с 20-х суток опыта масса железы превышает норму. Существенных смещений в объемных соотношениях разных тканевых компоненнов поджелудочной железы при регенерации печени не наблюдается.

#### ЛИТЕРАТУРА

- 1. Вундер П. А., Вундер А. П. Бюлл экспер. биол. и мед. 8, 1972.
- 2. Bucher Nancy L. R., Swaffield Miriam N. Pro., Nat. A ad, Sci. USA, 72, 3, 1975
- 3. Bakur Alfred L. Acta med. scand., 218, 703, 1985.
- Garfield Sanford A., Mohamed Shadia A., Cardell Gobert R. Amer. J. Anal., 170.
   1984.
- 5. Kirsch R. F., Frith I. O. C. Vinik, Terblane.he I. S. Alf. Med. J., 58, 21, 1980.
- Lianes F., Aragonetti P., Farina J., Molina J., DeDiego J. A., Garcia Barreno P., Ludena D. Pathol Res. and Pract. 165, 1-2 1979.
- 1. Leftert B. L. J. Cell. Biol., 62, No 3, 1974.
- Molina Trigueras L. M., DeDiego Carmona J. A., Del Cantzo Lopez J. F., Rames L. Fernandez-Represa J. A. Cir. esp., 35, No. 2, 1981.
- Petce John B., Takeshige Kotolito, MaxMartin H., Voorhess Arthur B. Surgery, 72, 1–1972.
- Shah K. 1 Kisanani K. T., Kathuria P. D., Asnani M. Pilo B. J. Anim. Morphol. and Physiol., 25, 1-2, 1978.
- Takeshige K., Suzuki II., Fukaya V., Kuroda H., Yamam ta S., W rld J. Surg. 5, 3, 1981.

Поступило 4.111 1987 г.

Енолог, ж. Армения, т. 41, № 3, 1988.

УДК 597.442

## ОСОБЕННОСТИ РОСТА БЕЛУГИ В РАЗЛИЧНЫХ ЭКОЛОГИЧЕСКИХ УСЛОВИЯХ

Э. М. ЕГИАЗАРЯН, Р. А. МАНЛЯН

Ереванский государственный университет, кафелра зоологии

Рыбы осегровые (белуга)-пруды Араратской долины-особенности роста.

Опытное выращивание осстроных, в частности белуги, и условиях Араратской долины Армении, осуществляемое с целью разработать биотехнику товарного осстроводства в новых, не традиционных в этом отношении районах [3], нозволяет выявить особенности роста и развития вида на пределами его ареала. С научной точки зрения это особенно нажно, поскольку сравнивается рост и развитие вида в совершение не сходных гидрологических и экологических условиях. С одной стороны, солоноватые воды Каспийского моря, расположенного на 28 м ниже уровия Мирового океана, с глубинами в сотии метров и площадью в сотии тысяч квадратных километров, а с другон -пресноводный пруд, расположенный почти на гысячу метров выше уровия Каспия, глубиной менее лиух метров и площадью несколько десятков гектаров.

В новых экологических условиях белуга выступала как географически изолированная популяция, у которой процессы роста и развития могут протекать исоднородно [2]. В связи с этим представляло интерес выявление особенностей роста белуги и условиях карповых прудов Араратской равницы в поликультуре с карповыми рыбами при обилии сстественного корма в виде малоценной сопутствующей их пофауны.

Материал и методика. Материал был собран на Масисском рыбокомбинате в марте и августе 1987 г. по достижении товарной белуги возраста 2 года 10 месяцев и 3 года 3 месяца, т. е. в период завершения трехлетнего цикла товарного мырлицивания и начила четырехлетнего цикла. Учитывали линейные, вссовые и некоторые морфологические показатели [5, 6]. Материал представлен в таблицах. Обработка биостатическая. Сравнивали показатели, по которым удалось найти данные в лигературе для Каспийского моря [7], с материалом, собраниым Р. А. Манляном в 1963—1968 гг. у Западного побережья Среднего Каспия. Этот период характеризуется ограниченной численностью белуги в море, обусловленной переловом и другими антропогенными факторами, Следовательно, условия ее нагула в море были благоприятными, поскольку в результате сокращения ее численности высвободилась дополнительная кормовая база. Это обстоятельство полноляет утверждать, что сравниваемые популяции белуги нагуливались в одинаково благоприятных условиях питания.

Результаты и обсуждение. Известно, что единство вида и среды проявляется через линенный и весовой рост. Вид может реализовать свои потенциальные возможности лишь в благоприятных экологических условиях. Каспийское море является маточным волоемом для осетровых рыб. Именно здесь сосредоточены наиболее крупные мировые занасы исетровых, Поэтому экологические условия Каспия можно считать идеальными для осетровых рыб, и том числе и для белуги. Стало быть, теми линейного и весового роста белуги в данном волоеме можно принять за эталоя для данного вида. И поскольку белуга, выращенная в условиях прудов Араратской долины, генетически идентична каспинской (волжской) популяции, то сопоставление показателей их роста вполне правомочно.

Линейные и весовые показатели генетически идентичных понуляций белуги, выращенной в прудах Масисского рыбокомбината и в Каспийском море, приведены в табл. 1. Видно, что линейные и весовые показатели белуги, выращенной в прудах Араратской долины, не уступают таковым каспийской популяции, а в некоторых случаях даже превосходят их. Вес быстро увеличивается на третьем году выращивания, но у отдельных особей он значителен и на втором году жизии [4].

Известно, что осетровым свойственна внутринопуляционная разнокачественность. Эта особенность сильно выражена у белуги. В естественных условиях один особи белуги впервые достигают половой зрелости (самки) в возрасте 17 лет, а другие на 10 лет позже. Причины такой растянутости срока достижения половой зрелости окончательно не выяснены. Такие же расхождения наблюдаются в темие линейного роста. В одинаковых условиях выращивания всегда имеются быстрорастущие и медленнорастущие ос би, даже при их абсолютной генетической идентичности. Эта особенность чаше и более отчетливо проявляется в условиях прудов Араратской равнины, что позволяет широко вспользовать метод раздельного выращивания быстрорастущих форм, обеспечивающий резкое повышение продуктивности пруда. Темпы линейного и весового роста не всегда синхронны, в связи с чем следовало проследить особенности увеличения весовых показателей в зависимости от линейного роста (табл. 2).

Полученные данные показывают, что в первые три года выращивания в прудах весовой рост белуги не отличается от такового каспий-

	y bol	ратская до	вна (	Каспийское море			
CKA	30070(1141-		os mic nec,	Бабушкип, 1964	Сильпестрола, 1974		
	) —255	1=см	Kľ		L= сы	вес, кг	
2	48 77 60.1	41 71 51.0	0.4-2.3	65.0	62—56 70 3	0.6-1.5	
Число рый	22	-5	22	3	3	3	
3 3+	61-113 86.6	55 - 100 75.1		80.0			
Число рыї	34	34	31	1		-	

Здесь и далее в числителе—пределы колебаний, в знаменател — средням величина.

ской белуги. Следовательно, последняя в прудах Араратской долицы сохраняет свои видовые особенности увеличения веса. При этом интенсивное нарастание веса рыбы происходит по достижении длины примерно 90 см.

Визуальный осмотр состояния половых желез у этих рыб также показывает, что они ничем не отличаются от своих сверстников, насуливающихся в Каспийском море.

Таким образом, белуга при товарном выращивании в прудах Араратской долины полностью сохраняет свои основные морфологические признаки и видовые особенности линейного и весового роста, а также созревания половых продуктов.

Наличие в прудах особей белуги с разными весовыми и линейными показателями на третьем году выращивания указывает на разпокачественность выращивания рыб, что имеет место и в Каспийском море.

Сохранение основных видовых особенностей у белуги в новых и существенно отличающихся условиях свидетельствует о высокой экологической пластичности этого вида. Именно благодаря этой пластичности путем сезонных горизонтальных и вертикальных миграций обитающая в Каспийском море белуга находит благоприятные термические, газовые и кормовые условия. Что же касается прудов Араратской долины, то основные экологические условия в них (гемпература, кислород, обилие естественного корма) в течение всего года полностью соог-

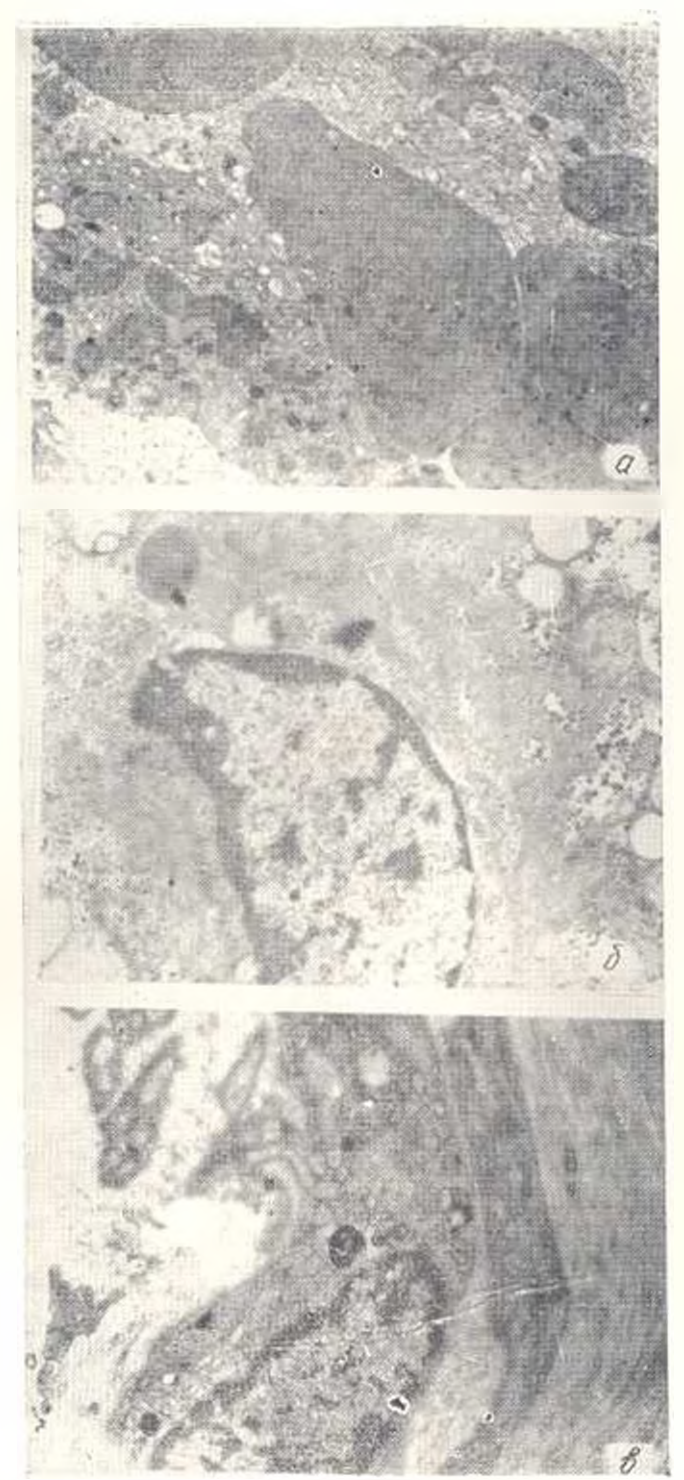


Рис. a1 Резиденский мажробат селей ки с утилизирующимися эригропитами, ук образодскімый макрофас течени с единичной антосомой в цитанла ме и мист числ визыми рибогомами, ук 13500; в) резыдентный макрофас термы у г и невиой формы с гладкой поверхностью в цитопладме- хорошо развитый ГЭР. В изпосредственной блигости от макрофаса жаходится микрофибриллярный коми цент стединительной ткани. Ув. 800,

Таблина г. Весовой рост белуги в различных условиях

Динарі	обы мм		547 570	610-690	<b>75</b> :) =780	800 - 865	9::0 975	1010 1. 90	1120-11
		LM	553	_	<b>7</b> 25	800			-
Каспийское море	_	Пределы	553 -6t. <b>0</b>	_	:000 _20 /	2000	100		(801 <b>X</b> 0
	5	Средги	556		2100			_ :	-
	=	Чис. и довб	2	-	2	ì	-		1 1
		1.43		651	764	883	945	1062 .	-1130
Пруды Мисисского рыбокох бината		Предела		1300 1850	2000-2710	28, 0 3400	3850 - 5610	6000—7500	8400
		Срединй	-	1550	2320	3160	4700	6609	
	386	Число рыб	-	5	4	8	3	7	1

петствуют видовым гребованиям белуги. Все это свидетельствует о том, что в Араратской долине имеются все условия для развития бройлеркого и полносистемного товарного осетроводства.

#### ЛИТЕРАТУРА

- Вастепна В. В. Тр. Вессоюли конф. по вопросам рыбного хозяйства. 94—99, М., 1953.
- 2 К новалов С. М., Шевляков А. Г. Сб. Популяционная биология и систематика посотених 18, 30-50, Владивосток, 1980.
- Мандян Р. А. Топарнае вырашивание вестроных рыб в АрмССР (Методологические рекоментации). Ереван, 1986.
- Уиллин Р. 1. Лезева Л. И.: Аконен А. М., Давтян Л. Л.: Шахнозорян И. С. Тез. Всесою са совещ по формированию записов осетровых, 209—211. Астрахань 1986.
- 5 Майг Э. Энтели Я., Юзинеер Р. Методы и пришинны полотической систематики. М., 1956.
- о Інгавити И Ф. Руководство по изучению рыб. М., 1956.
- 1. Сизывестрова Н. Я. Вопросы пхтнологии, I-, 14841, 195-109, М., 1974

Поступило 17 XI 1987 г.

### **АРТАШЕС ИВАНОВИЧ КАРАМЯН**

(К 80-летию со дня рождения)



Арташес Иванович Карамян-один из крупнейших советских нейрофизиологовродился 15 марта 1908 года в селе Карабаба Нагорного Карабаха. После окончания Ереванского государственного мелицинского института он поступает в вспирантуру Государственного института мозга вы. В. М. Бехтерева (Ленинград), где под руководствем проф. Э. А. Асратяна выполияет всследования и в 1940 г. успешно защищает кандидатскую диссертацию по проблеме сравнительной физиологии пластичности нервной системы. С первых дней Великой Отечественной войны А. М. Караням уходит на фронт и весь военный период проводит в рядах действующей прики. С 1945 по 1950 гг. А. П. Карамян является научным сотрудником Физиологического института им. И. П. Павлона All СССР, где работает под руководством Л. А. Орбели. В 1950 г. переходит на работу в Институт экспериментальной медиципы АМН СССР, в котором с 1952 по 1959 гг. заведует лабораторней сравнительной патологии высшей нервной деятельноств. С 1959 г по настоящее время А. И. Карамян работает в Институте зволюционной физиологии и биохимии им. И. М. Сеченова АН СССР заведующим лабораторией сравнительной физиологии центральной нервной системы, заместителем директора по научной работе, научным консультантом. С 1962 г. А. П. Карамян является научным консультантом Пиститута физиологии им. Л. А. Орбели АН АрмССР.

Творчество А. И. Карамина отличается широтой мышления, глубнией идей, оригипальностью поставлениях задач. Его исследования внесли существенный вклад в 
дело развития советской нейрофизиологии 
и инисали новые страинны в историю зволюционной физиологии мозга. Формирование А. И. Карамяна как физиолога происходило в период увлечения идеями о пластичности нервной системы, в атмосфере 
творческого и строго научного полхода. 
Вся его дальнейшая научная деятельность 
посвящается изучению закономерностей 
зволюции центральной нервной системы,

В 1950-1960 годах основные паучные нитересы А. И. Карамяна концентрировались вокруг таких вопросон сравнительной как эволюция пластичности испрологии. нервной системы, формирование исврозов в филогенезе позвоночных, филогенея функциональных межаннамов симпатической нервной системы и мозжечка. В результате этих исследований были пересмотревы старые вагляды на функции мозжечка, показана его ведущая роль в моторной, условнорефлекторной, трофической и компенсаторной деятельности у водных полновочных. Прослежены эволюционные формации мозжечка в связи с выходом позвоночных на сушу Доказано, что высшего развития моэжечок достигает у млекопитающих как звено единой, вповы формирующейся интеграцивной системы: пеоцеребеллум неокортекс В филогенетическом ряду позвоночных прослежено формирование илияния симпатической первной системы на функции пентральной периной светемы. На основании этих неследований было сформулировано положение о том, что влияние симпатической першой системы более выражено на инэших данах филоген на, Результаты этих исследований обобщены в монографии «Эволюция функинй мозжечка и больших полушарий головного молга», опубликованной в 1956 г и удостоенной премия им И Н. Пациона.

Последующие исследования 3. П. Карамяна (1960-1970 гг.) охватывают вопросы функциональной эволюции переднего. моэга и его основных источнькой афферентного снабжения: обонятельной системы, таламических и сипоталамических ядериых образований у шкрокого ряда позвоноч вых, от бесчеренных до манконитающих. Используя мультидесципланарный подход для решения этих попросоц (діектрофизиодогические, нейроморфологические, гистохимические и услоинорефлекториме методыт А. И. Карамян сформулировал ряд яовых прициплов в эволюции центральной нервной системы и постулировал георию критических этапов радвития центральной неряной системы в филогенезе порвоночных. Так, им были исследованы этапы в функциональной эволюции центральной исраной системы от диффузима неспециализированных форм нервной деятельности к дискретным специализированным. При детальном изучения эволюции отдельных систем витеграции-наламо-кортикальной и мозжечково-кортикальной и молжечково-таламо-кортикальной установлено, что в процессе эволюшии имеют место определениие керархические взаимоотношения межлу филогенетически старыми и вновы формирующимяся молодыми интегративными системами Филогене, ически превине структуры могга. надстранвиясь над еще более древними. сохраняют адаптавновное, динамогенное значение Филогенетически болсе молодые, высшие отделы мозга, надстранваясь над новыми подкорковыми образованиями, приобретают информационное измение.

А. Н. Карамяном половнута концепция о функциональной рекавитуляции мозга, в которой показано, что общие принципы энцефализации, кортиколизации, смена уровней интеграции в восходящем направлении приградьной периной системы, после п инивидимидоф изопасатиюх от зельні систем мозга по отдельным этарам филого неза и сталням оптогенеза совпадают дажі в деталях. Таким образом, было установ 🔳 лено, что как по электрофизиологически феноменам, так и по поведенческим актах имеется сходство, и некоторых случал ндентичность функциональной и структурион органилании между ранинми згазов: филогенетического и оптосенетического развилия моэга. Эти принадивы были водробії освещены в монографии «Функциональна! эволюция моэга по опоночных», иншедие в свет в 1970 году.

В дальнейшем изучая пути формировани и процессе филогенетического развите нысшего уровня интеграции -коры гологного мозги и трех основных формаций (вы лео-, архи- и пеокортсков), исследуя шачение трех афферентных источников, опрделяющих прогрессивную эволюцию кори головного мозга (таламуса, гипоткламуса и обонятельных структур), над которым налегранизются соответственно нео-, архив налеокортекс, А. И. Карамии показакритические этапы интегративной деятелы ности мозга в филогенезе позновочных. Сагласно точке зрения автора, «критический» считается такой этон развития можга, ком да под давлением внешинх и пнутрения факторов происходят коренные прогресситные изменения в его структурной и функциональной организации, обеспечивающие более высокий уровень координиционной в интеграцивной деятельности организма в изприспособительных процессах. На основаини полученных материалов А. И. Карамя ном были выделены следующие этапы раз-

Первый критический этап—ланцетник, у которого признаки цефелизини и специализации цептральной и анной системы 01-сутствуют. На этом этапе эволюции опрабатываются временные связи инэшесо тыпа, которые по своим атрибутам могут быть охарактеризованы кок реакции типа сенсибилизации примитивно организованных афферентных систем.

Второй кригический этап и развитии по звоночных круглоротые. Все подразделе иня мозга у них имеют примитивную оргаиизацию. Вызванные потенциалы и нейроинаи активность на сенсорные стимулы регистрируются во всех моэговых структурах Временные связи у них вырабатываются по типу суммационных рефлексов. Основно! встемой интеграции явлиется бульбо спивавняя система.

Третий этап и филогенезе—рыбы. Он карактеризуется воявлением мощного надигиснтарного врхи- и палеоперебрального инварати, который концентрирует в себе ифференты от всех рецепторных систем и отапет эфферентные полокна ко всем основным подразделениим мозга. Эти факты положнили А. П. Карамяну выдвинуть предволожение о том, что у рыб велущим впдаратом интеграции является моэжечок иссте с среднемонговыми образованиями.

Четвертый критический этап в развитии цептральной первной системы намечается ещо у амфибий и отчетливо выражен 😨 рептилий. В связи с переходом и налемному образу жизни у этих животных происходят прогрессивные и регрессивные измеиення в центральной первной системе Отмечается смена МОЗЖЕЧКОВО-ТЕКТАЛЬНОГО уровия интеграции на дизипефало тельицефильный. Выраженной особенностью этого этапа развитии является то, что у амфибий закладывается, а у реплилий достигает определенного совершенства пован стриото-кортикальная надстройка над диэнцефальными структурами мозга. Общим итогом этих преобразований ивляется то, что у рептилни, в отянчие от других животных, возинкает возможность образоваини прочных форм условных рефлексов типа ассоциативных и рефлексов на комплексные раздражители.

Пятый этап-млекопитающие Он члрактеризуется формированием издестментарного аппарата неоцеребелло-неоталамнеохортикального уровня питеграции со специализированными проекционными системами и высокодифференцированной формой управления. Наиболее важизя особенность этого этапа заключается в том, тто в ряду изсекомоядных, хищных, грызунов, приматов закладывается и прогрессирует новам система ассоциаливных -жерных образований в таламусе и надстранваминхся кад инми ассоциативных полей неокортекса. Эта система, присущая лишь высшим млекопитающим, шачинально расширяет сигнальную деятельность обеспечиная материальную базу для осуществления сложицах поведенческого актои

Теория критических этапон развития ян тегративной деятельности моги была обоснована и изложена и жинге «Энолюция конечиого мога позвоночных», вышедшей в свет в 1976 году. Опенивая весь материал о критических этапах развития могга, А. И. Карамян приходит к следующему заключению. Во-первых, процесс формирования дехиненновсоп осонотогной в етсои изоновных происходит по принципу перемещения функций центральной кервной системы в восходищем ряду позвоночных от каудальных отделов молга к ростральным. Во-вторых, имеется строгая записимость между структурной организацией можа и его функциональными свойствами, г. е. по мере развития повой коры и дифференциации таламических и гипоталамических ядерных образований у высших млекопитающих отмечается формирование прямых, моносинацинеского типа, спилей задиего гипоталамуся с интегративными центрами ковой коры, ее ассоциативными полями и конпертенция таламических и гипоталомических иходов на неокортикальном уровне. Эта конперсенции направлени на упеличение лиалитической и снителической деятельности мотга, на увеличение пластичности поведения,

Исследования А. И. Карамяна 80-х годовпомимо большого теоретического значения ижеют, и практическое применение. Так, на базе фундаментальных работ по изучению бенностей патологических нарушений высшей нервной деятельности в широком ряду позвоночных-рептилии, насекомоядные, приматы широкое распространение получили данные нейрохимического анализа установленных закономерностей с примеисинем биологически активных веществнейропептидов. Было обнаружено, что системное введение конъштата **В-зидорфина** мивотным, наводящимся в состояния невроза, приводит к длительному купированию невротических состояний, нормализацив условнорефлекторной дентельности мозга, идентифицированной по объективным критериям. На фоне иммунизации выявляется начительное усиление процессов внутрекнего торможения. При этом влияние пейропептилов более выражено и длительио у высокоорганилованных представителей люлюционной лестинаы.

Большое место и творчестве А. П. Карамяна занимают философско-теоретические просы биологии. Специальным философским попросам эполюции послящей цулый ряд его научимя трудов. Научиме исслелования А. И. Карамина отражены в 5 монографиях и болсе нем 200 работах.

Работы А. И Карамяна удостоены премяй Врезиднума АН СССР им. И 11 Павлона в Л. А Орбели Научные ыслуги А. И. Карамяна в области нейрофизиологии получили большое признание: в 1963 г. его избрали членом-корреспондентом АН Арм. ССР, в 1970 г.—членом-корресподентом АН СССР. В 1972 г. он был избран почетным иностранным профессором Белградского

университета. А. И. Карамян награжнорденами и медалями.

Арташес Ивановия встречает свое во мидесятилетие полнып творческих замыса Пожеляем дорогому юбиляру крепкого тровья и многих дет плодотворной рабо

В. В. ФАНАРДЖ

# **ЕРАНУ**И МАТВЕЕВНА МАТЕВОСЯН (К 90-ЛЕТИЮ СО ДНЯ РОЖДЕНИЯ)



Исполнилось 90 лет со дия рождения и 70 лет научной и производственной деятельности выдающегося ученого-гельминголога, доктора биологических наук, профессора Ерануи Матвеевны Матевосяц

Е. М. Матевосян родилась 14 августа 1897 г. в Ереване, В 1917 году она окончила гимназию с правом преподавания в начальных школах. Трудовая жизнь Е. М. Матевосян началась в 1919 г. в должности машинистки Ветеринарного управления Еренанского губериского правления. Работа в Ветеринариом управлении оказалась решающей для дальнейшего выбора прифессии. И когда начадыник Ветеринариого управления Вартан Изанович Торосии сообщил, что выделени места для Армении я ветеринарных институтах Ленинграда. Казани и Саратова, Е. М. Матевосян с радостью приняла предложение поехать на учебу и Казанский ветеринарный институт

В 1930 г., окончив ветеринарный институт. Е. М. Матевосян стала первым армянским дипломиронанным ветеринарным врачом В период учебы в Казани она активно участвовала в общественной жизни ин-

ститута и организации коллективицах хозяйств в Татарии. После окончания института Е. М. Матевосян вериулась в Армению.

Новый начальник Ветеринарного управ-Тигран Абрапстович Калантарин чредложил ей работу в аппарате управленяя. Однако Еранун Магнеевна от этой работы отказалась, изъявив желание заниматься наукой в Научно-исследовательском институте экспериментальной петеринарии, директором которого был профессор Болис Григорьевну Массино. В этом институте Е. М. Матевосян проработала до января 1931 г. В связи с тяжелой болезнью Е. М. Матевосян и 1932 г переехала в г. Москву из лечение и после выздоровления в 1933 г. поступила на работу ветеринарным врачомстатнетиком Московского земельного отдела (МОЗО).

В ноябре 1934 г. Е. М. Матеносии была принять на работу профессором К. И. Скрябиным во Всесоюзный институт гельминтологии (ВИГИС) на должность научного сотрудника. Здесь полностью раскрылся се залант исследователя, яписавшего много ярких страниц в гельмингологическую науку. Она завималась изучением гельминтофауны животных разных регнонов нашей страны, разрабатывала новые системы мнотаксокомических групп гельмингов (особенно сложных групп ленточных гельминтов). Ею проведены морфобнологические, экологические, эпизоотологические исследования, выявлен характер зоогсографического распространения многих групп гельминтов, рассмотрены вопросы их филогенеза

Наряду с фундаментальными теоретическими исследованиями, Е. М. Матевосян провела целую серию работ по прикладной гельмингологии, посвященных главным образом разработке мероприятий по борьбе с опяснейшими гельмингозами.

Обладая исключительными способностями и чрезвычайным трудолюбием, Е. М. Матекосян прошла все этапы становления ученого—от научного сотрудника до доктора биологических наук, профессора, заведующего лабораторней фауны гельминтов ВИГИС.

Как руководитель одной ил важных лабораторий, долгие годы Е. М. Матевосян была занята научно-организационной деятельностью. Талантливый педагог и воспитатель, Е. М. Матевосян уделяла много винмания подготовке научных кадров гельминтологов. Под ее непосредственным руководством и с помощью ее консультаций было выполнено и защищено 8 докторских в более 20 кандилатских виссертаций

Научные труды Е. М. Матовосян посиящены самым различным аспектам гельминтологии, но среди инх особое место занимают фундаментальные монографии по основам нестодологии: по гименолипидидам, диличелидам и парутеринидам. Впервые науке ею описаны 2 надсемейства, 2 семейства, одно подсемейство, 17 ролов, 23 новых вида цестод, а также по ряду других таксонов—всего 78 названий. Ее именск названы многие таксоны гельминтов. Фундаментальные монографии Е. М. Матевосян по цестодам давно уже стали настольными кингами гельмингологов всего мира Без этих работ изучение сложнейших к многообразных групп цестод было бы чрезвычайно затруднено. Е. М. Матевосян внесла огромный вклад в мировую гельминтологическую изуку.

Е. М. Матевосян, человек кристально чистый и правдивый, исключительно гребовательна к себе, к своим ученикам, в то же премя она весьма доброжелательна к людям и неликодушна. Благодаря этим качествам авторитет профессора Е. М. Матевосян среди гельмингологов очень нысок. Являясь одним из ближайших учеников и соратников академика К. И. Скрябина, всю жизнь проработав бок о бок с имм. Ерануи Матвеевна Матевосян внесля огромный вклад в создание новой отрасля биологической науки—гельминтологии.

Несмотря на преклонный возраст. Е. М. Матевосян продолжает научную деятельность во имя дальнейшего развития гельминтологической науки. Искрение, от всей души желаем юбиляру здоровья и благополучия.

С. О. МОВСЕСЯН

## памяти д. н. БАБАЯН (ТЕТЕРЕВНИКОВОИ)



Отечественияя блологическая наука потеряла выдающегося миколога и фитопатолога, внесшего большой вклад в флористику, систематику и изучение эволюции грибов, в развитие фундаментальной и прикладной фитопатологии.

Профессор, доктор с/х наук, член-корреспондент АН АрмССР, заслуженный деятель науки Армянской ССР, Дарья Николаевна Бабаян заложила основы развития михологических и фитопан логических илний в Армении.

Любая сфера деятельности Дярын Инколаевны носыла на себе отнечаток се незаурядной личности. Интеллигентиветь и исключительная доброжелательность, улинительнай работоспособисить и завидная органалованность были спойственны ей в высшей степени. Эти беспенияе душенные и человаческие качества являются важнейшамя слагаемыми, определиваними научную и гражданскую биографию ученого.

Дарья Николаевна Бабаян родилась и 1901 г в семьа ярхитектора в Петербурге Здесь формировалось мировожирение будущего ученого. Здесь (1922—1929 гг) под длиничем школы основологоживков от учественной микологии и фитоватологии А. А. Ячевского и Н. А. Паумова определинись се научиме интересы

В 1929 г. Дарья Николаевна переезжает в Ереван и сразу входит в новый для нее мир и круг нитересов. Изучает армянский язык и вскоре владеет им в совершенстве, Здесь, в Ереване, она создает большую образцовую семью и деликатно, глубоко уважая богатые национальные традиции, привисент в ее жизик то особое, что характерно для уроженцев Петербурга.

В Ереване для Дарын Николвевны начинвется и повый этап ее творческой биографии. Будучи широко образованной, владея несколькими иностранными языками, в течение пяти десятилетий (1929—1984 гг.) Дарья Николаевна успешно совмещала научную, преподавательскую и организационную работы. Весь смысл ее жизни заключался в активной пителлектуальной деятельности.

В 1940 г. Дарья Инколаевна зашитила кандидотскую, а в 1945 г.—докторскую диссертации.

Работа в Ереванском государственном университете (1946—1984 гг.) дала возможность Дарье Николаение осуществить наиболее фундаментальные исследования и создать на базе Университета армянскую школу микологов и фитопатологов, получиншую широкое признание.

В 1960 г. Д. Н. Бабаян плонрается членом корреспондентом АП АрмССР, а п 1961 г. ей приеванвается звание заслуженпого деятеля науки Армянской ССР.

Микологические исследования Л 11 Баблян проводились преимущественно и днух направлениях-микофлористическом и эвоакинопио-систематическом. Олнако круг вопросов, изучаемых Дарьей Николаевной, зиачительно шире. Это -специализация и инутривидовые популяции грибов, биология и экология микромицетов, фитоцепология, палеомикология и многое другое. Многне нь этих исследований важим не только в теоретическом аспекте. Резудьтаты их широко используются и и в вистоящее время при решения прикладных задач и ряде областей пародного холяйства Армянской ССР, при решении вопросов защилы растений и селекции повых COPTOB культур, устойчиных к грабаым болелиям. Гланным условием фитодалологических рабоз для Дарыя Николаенны всегда вырхлась их практическах направленность.

 Научное наследие Дарын Николаевны велико: это более двухсот опубликованных работ, в числе которых многотомное издание «Микофлора Армении», являю щееся венным вкладом в изучение Эукариот Армении (из вышелени бли томов под общей редакцией Д. 11 Вабаян один полностью написан ею, вгорой-и соавторстве), общирная монография «Грибы рода Септория в СССР», в которой подводится птог 30-летнего изучения эволюционно-систематического положения сферопсидальных Деугеромицетов и ренизии рода Септория (Дарья Николаевна эту работу называла «делом жизни»), монографин по ржавчиным срибам, чем Дарья Николаевия вошла и ряд крупных уредикологов страны, двухтомная монография «Болезии овоще-бахчевых культур и меры борьбы с ними». Всего ею опубликовано 10 монографий.

Под ее руконодством выполнены двадцать кандидатских и две докторские диссертвини. Член КПСС с 1948 г., Даръя Николаевна Бабаян награждена двумя орденами, медалями и Поче ными грамотами. Армянской ССР,

Не многим удается пройти жилиенный: путь так, как прошла его Дарья Николаевна. Он может служить примером яркой: цитересной судьбы.

С начала становления се ках ученого и: до последних дней жизни Дарья Николасвиа не испытала мучений, связанных с потерей творческой актинности. В последние месяцы жизни она успела опубликоватьмонографию объемом в 25 п. л. Буквально в последний час своей жизни она написала два отзыва на авторефераты. Ее работа и жизнь прервались одновременно— 12-го января 1988 г.

Образ Дарын Николаевны Бабаян (Тетеревинковой) навсегда сохранят ее миогочисленные ученики, коллеги, друзья и все, кто общался с нен

Е. С АРУТЮНЯН.

